

UNIVERSIDAD NACIONAL AUTÓNOMA DE MÉXICO FACULTAD DE INGENIERÍA

ESTUDIO COMPARATIVO DE TRES SOLUCIONES ESTRUCTURALES PARA UNA TORRE DE TELECOMUNICACIONES DE 40 m. DE ALTURA TIPO AUTOSOPORTADA

TESIS

QUE PARA OBTENER EL TITULO DE

INGENIERO CIVIL

PRESENTA:

JUAN HERNÁNDEZ CHÁVEZ

DIRECTOR DE TESIS

ING. JORGE GONZÁLEZ RAMÍREZ



CIUDAD UNIVERSITARIA JUNIO, 2005



UNIVERSIDAD NACIONAL AUTÓNOMA DE MÉXICO FACULTAD DE INGENIERÍA

ESTUDIO COMPARATIVO DE TRES SOLUCIONES ESTRUCTURALES PARA UNA TORRE DE TELECOMUNICACIONES DE 40 m. DE ALTURA TIPO AUTOSOPORTADA

TESIS

QUE PARA OBTENER EL TITULO DE

INGENIERO CIVIL

PRESENTA:

JUAN HERNÁNDEZ CHÁVEZ

DIRECTOR DE TESIS

ING. JORGE GONZÁLEZ RAMÍREZ



CIUDAD UNIVERSITARIA JUNIO, 2005



FACULTAD DE INGENIERÍA DIRECCIÓN FING/DCTG/SEAC/UTIT/71/04

Señor JUAN HERNÁNDEZ CHÁVEZ Presente

En atención a su solicitud me es grato hacer de su conocimiento el tema que propuso el profesor ING. JORGE GONZÁLEZ RAMÍREZ, que aprobó esta Dirección, para que lo desarrolle usted como tesis de su examen profesional de INGENIERO CIVIL.

"ESTUDIO COMPARATIVO DE TRES SOLUCIONES ESTRUCTURALES PARA UNA TORRE DE TELECOMUNICACIONES DE 40m DE ALTURA TIPO AUTOSOPORTADA"

INTRODUCCIÓN

- I. ASPECTOS GENERALES
- II. DISEÑO GEOMÉTRICO
- III. SOLICITACIONES
- IV. ANÁLISIS ESTRUCTURAL
- V. DISEÑO ESTRUCTURAL
- VI. ANÁLISIS DE RESULTADOS
- VII. CONCLUSIONES BIBLIOGRAFÍA

Ruego a usted cumplir con la disposición de la Dirección General de la Administración Escolar en el sentido de que se imprima en lugar visible de cada ejemplar de la tesis el Título de ésta.

Asimismo le recuerdo que la Ley de Profesiones estipula que deberá prestar servicio social durante un tiempo mínimo de seis meses como requisito para sustentar Examen Profesional.

Atentament/e

"POR MI RAZA HABLARÁ EL ESPÍRITU"
Cd. Universitaria a 28 de junio de 2004.

EL DIRECTOR

M.C. GERARDO FERRANDO BRAVO

GFB/AJP/crc.

AGRADECIMIENTOS

A mi	Universidad Nacional	Autónoma de M	éxico, por darme	la oportunidad	de pertenecer a
ella,	por los conocimientos	adquiridos y por	· enseñarme a ent	ender la realida	d de mi país.

A mis queridos amigos y compañeros de la Facultad de Ingeniería, Luis Manuel, Juan Carlos, Joel y Gabriel.

Dedico este trabajo a mi padre Gabino y a mis hermanos Ma. Elena, Raquel, Manuel y Sarita, por su vitalidad y entusiasmo y quienes me han ayudado muchísimo en mi desarrollo como persona y a quienes llevo siempre en mi corazón.

Al Ingeniero Jorge González Ramírez:

A usted le doy las gracias por apoyarme desde un principio en la elaboración de este trabajo, y por darme un mejor panorama de lo que debía hacer; por lo que le Agradezco su paciencia y ayuda. "En cuestiones de ciencia, la autoridad de mil no vale lo que el humilde razonamiento de un solo individuo" (Calileo)

"Quien nunca ha cometido un error nunca ha probado algo nuevo." (Albert Einstein) ESTUDIO COMPARATIVO DE TRES SOLUCIONES ESTRUCTURALES
PARA UNA TORRE DE TELECOMUNICACIONES
DE 40 m. DE ALTURA TIPO AUTOSOPORTADA

INDICE

INTRODUCCIÓN		1
I ASPECTOS GENERALES.		
I.1 CLASIFICACIONES DE LAS TORRES		3
I.2 ELEMENTOS INTEGRANTES DE UNA TORI	RE AUTOSOPORTADA	4
I.2.2- ESCALERAS DE ASCENSO Y DESCENSO		4
I.2.3- SISTEMA DE SEGURIDAD O LÍNEA DE VI	<u>DA</u>	5
I.2.4- CAMA GUÍA DE ONDAS VERTICAL Y HOR	IZONTAL	5
1.2.6- SISTEMA DE PROTECCIÓN CONTRA DESC	CARGAS ATMOSFÉRICAS	5
1.2.7- SISTEMA DE ILUMINACIÓN O BALIZAMII	ENTO NOCTURNO	5
I.2.8- PINTURA O BALIZAMIENTO DIURNO		6
L.2.9- SOPORTE DE ANTENAS PARA SU INSTALA	ACIÓN SOBRE LA TORRE	6
I.2.10- SISTEMA DE TIERRA		6
1.3- FACTORES QUE INTERVIENEN EN DISEÑO	DE UNA TORRE AUTOSOPORTADA	8
1.3.1- ALTURA DE LA TORRE Y UBICACIÓN GEO	OGRÁFICA	8
1.3.2- CARGAS QUE SOPORTARA LA ESTRUCTO	<u>URA</u>	8
1.3.3- NORMATIVIDAD QUE APLICA PARA SU C	ALCULO Y DISEÑO	9
II DISEÑO GEOMÉTRICO		
II.1- DESCRIPCIÓN DE LA ESTRUCTURA		0
II.2- ESTRUCTURACIÓN		. 1
II.3- UBICACIÓN DE LA ESTRUCTURA		. 1
III SOLICITACIONES		
III.1- CARGA MUERTA	1	4
III.1.1- PESO PROPIO DE LA ESTRUCTURA	1	4
II.1.2- PESO DE PLATAFORMAS	1	4
II.1.3- PESO DE LA ESCALERA Y GUÍA DE ONDA	<u>\s1</u>	4
III.1.4- PESO DE LAS ANTENAS	1	4
III.2- CARGA VIVA	1	5
III.3- CARGA POR VIENTO	1	6
III.3.1- CLASIFICACIONES DE LA ESTRUCTURA	<u>\</u> 1	9
III.3.2- SEGÚN SU IMPORTANCIA	1	9
III3.3- SEGÚN SU RESPUESTA ANTE LA ACCIÓ	N DEL VIENTO 1	9
III 3 4- SECÚN SU TAMAÑO	2	'n

INDICE

III.3.5- CATEGORIA DEL TERRENO	20
III.3.6- DETERMINACIÓN DEL FACTOR DE RUGOSIDAD Y ALTURA	21
III.3.7- DETERMINACIÓN DEL FACTOR DE TAMAÑO	22
III.3.8- FACTOR DE EXPOSICIÓN	22
III.3.9- DETERMINACIÓN DE LA VELOCIDAD REGIONAL	23
III.3.10- DETERMINACIÓN DEL FACTOR DE TOPOGRAFÍA	23
III.3.11- VELOCIDAD DE DISEÑO	24
III.3.12- FACTOR DE CORRECCIÓN POR TEMPERATURA Y ALTURA	24
III.3.13- PRESIÓN DINÁMICA BASE EN LA DIRECCIÓN DEL VIENTO	25
III.3.14- FACTOR DE RÁFAGA VARIABLE CON LA ALTURA Z	26
III.3.15- FACTOR DE EXITACIÓN DE FONDO.	27
III.3.16- FACTOR DE REDUCCIÓN POR TAMAÑO	27
III.3.17- FACTOR DE RELACIÓN DE ENERGÍA DE RÁFAGA	29
III.3.18- COEFICIENTE DE AMORTIGUAMIENTO CRÍTICO	30
III.3.19- FACTOR RELACIONADO CON LA RUGOSIDAD DEL TERRENO	30
III.3.20- FACTOR CORRECTIVO POR ALTURA Cα'	30
III.3.21- VARIACIÓN DE LA CARGA DEBIDA A LA TURBULENCIA DEL VIENTO	31
III.3.22- FACTOR PICO O DE DEFECTO MÁXIMO DE LA CARGA POR VIENTO	31
III.3.23- FACTOR DE RESPUESTA DINÁMICA DEBIDA A RÁFAGAS F _g	32
III.3.24- DETERMINACIÓN DEL COEFICIENTE DE ARRASTRE ADIMENSIONAL C.a	34
III.3.25- CALCULO DE ÁREAS EXPUESTAS	39
III.3.26- PRESIÓN TOTAL EN LA DIRECCIÓN DEL VIENTO	44
III.3.27- FUERZA TOTAL SOBRE LA ESTRUCTURA	46
III.3.28-ANTENAS PARABÓLICAS	47
III.3.29- DESCOMPOSICIÓN DE FUERZAS DE VIENTO SOBRE LAS ANTENAS, EN LAS DIRECCIONES DE	
<u>ANÁLISIS</u>	
III.3.30- ANTENAS CELULARES	
III.4- CARGA POR SISMO	
III.4.1- CLASIFICACIÓN DE LA ESTRUCTURA SEGÚN SU DESTINO	
III.4.2- CLASIFICACIÓN DE LA ESTRUCTURA SEGÚN SU ESTRUCTURACIÓN	
III.4.3- CLASIFICACIÓN DEL TIPO DE TERRENO SEGÚN SU ESTRATIGRAFIA	
III.4.4- MÉTODO DE ANÁLISIS	
III.4.5- REGIONALIZACIÓN SISMICA PARA LA ESTRUCTURA	
III.4.6- DETERMINACIÓN DE CARGAS	
<u>III.4.7- PESOS DE LA ESTRUCTURA POR TRAMOS</u>	58

INDICE

IV ANALISIS ESTRUCTURAL	
IV.1- PROGRAMA DE ANÁLISIS	61
IV.2- EDICIÓN DE DATOS DE ENTRADA Y DE SALIDA	66
IV.3- CONDICIONES DE CARGAS	66
IV.3.1- CONDICIÓN DE CARGA No. 1 PESO PROPIO + CARGA MUERTA EN LA DIRECCIÓN X	66
IV.3.2- CONDICIÓN DE CARGA No. 2 PESO PROPIO	68
IV.3.3- CONDICIÓN DE CARGA No. 3 CARGA MUERTA	68
IV.3.4- CONDICIÓN DE CARGA No. 4 CARGA VIVA	71
IV.3.5- CONDICIÓN DE CARGA No. 5 Y 6 CARGA POR VIENTO SOBRE UNA CARA Y SOBRE UNA E	<u>ESQUINA</u> 72
IV.3.6- CONDICIÓN DE CARGA No. 7 CARGA POR SISMO	75
IV.3.7- COMBINACIONES DE CARGAS	77
V DISEÑO ESTRUCTURAL V1- CRITERIO DE REVISIÓN V2- ARCHIVO DE RESULTADOS VI ANÁLISIS DE RESULTADOS	
<u>VI2- REVISIÓN DE DESPLAZAMIENTOS</u>	104
VI2- REVISIÓN DE ESTADO DE ESFUERZOS	107
<u>V.3- COSTOS</u>	111
VII CONCLUSIONES	112
ANEXO 1 LISTADO DE ARCHIVOS DE DATOS	115
BIBLIOGRAFÍA	131

INTRODUCCIÓN

En la actualidad los medios de comunicación presentan un gran avance tecnológico, destacando entre ellos la telefonía móvil con un crecimiento explosivo. Al grado tal que las líneas celulares superan ya a la telefonía fija.

Este gran avance tecnológico requiere de infraestructura para soportarlo. Anteriormente las emisoras de radio y las compañías telefónicas entre otros eran prácticamente los únicos dispositivos que requerían sus propias torres y antenas.

Hoy las compañías de telefonía celular y sistemas de comunicación personal (PCS) han ido extendiendo su cobertura por todo el país, a través de la instalación de torres de celosía. Cada vez más en nuestro medio se van instalando estas estructuras, las hay desde arriostradas, autosoportadas y monopolos. En el caso de la torres arriostradas, estas necesitan de las retenidas para mantenerse en pie, mientras que los monopolos y las autosoportadas se pueden soportar por si mismos, es decir, que no requieren de elementos externos para sostenerse, la sección transversal de los monopolos casi siempre es tubular, mientras que las arriostradas y autosoportadas son de sección triangular y cuadrada (ver figura A), sus elementos estructurales se disponen en forma de celosía y los perfiles laminados comúnmente utilizados pueden ser ángulos, tubos o perfiles tubulares rectangulares llamados PTR, el empleo más diverso de secciones se presenta en las piernas de la torre, de aquí surgió la idea de realizar el presente trabajo. Se selecciono una torre autosoportada porque el área que ocupa es relativamente pequeña comparada con la que ocupan las torres arriostradas y por lo tanto se pueden instalar en cualquier parte principalmente en las zonas densamente pobladas. (Ver figura B).

El presente trabajo pretende realizar una comparación, considerando una torre tipo Autosoportada de sección cuadrada con una altura de 40 m

La comparación consiste primero en analizar las piernas de esta torre con perfiles estructurales de sección angular, segundo con perfiles estructurales en las piernas de sección cajón (PTR) y tercero con perfiles estructurales en las piernas de sección tubular (cilíndrica). Únicamente se consideraran y diseñaran las piernas y la celosía, El diseño de las conexiones y cimentación quedan fuera del alcance de este trabajo.

Para ello se considera de importancia realizar un bosquejo para presentar las diferentes estructuras que se utilizan en telecomunicaciones.

Presentar la reglamentación que comúnmente se utiliza en el diseño de estas estructuras, detallar sobre las acciones que gobiernan el diseño y realizar por medio de un programa de computadora el análisis y diseño de los tres casos descritos, de los resultados del análisis y diseño se realizara una discusión, todo con la finalidad de lograr los siguientes objetivos

- 1.- Determinar cual de las tres soluciones estructurales tendrá una mejor respuesta ante las solicitaciones de las acciones externas que se considera incidirán en la estructura.
- 2.- Realizar una comparación a partir de los resultados obtenidos en este trabajo, con torres autosoportadas similares ya construidas en nuestro entorno.

INTRODUCCIÓN

- 3.- Aportar algo más de información en el diseño de torres autosoportadas, para una mejor comprensión preparación y desarrollo del estudiante de ingeniería.
- 4.- Proporcionar los conocimientos necesarios para desarrollar racionalmente el Diseño estructural aplicado al Cálculo de torres autosoportadas.

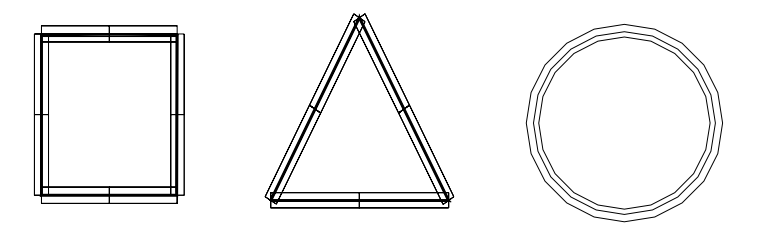


Figura No. A Secciones transversales mas usadas del mástil.

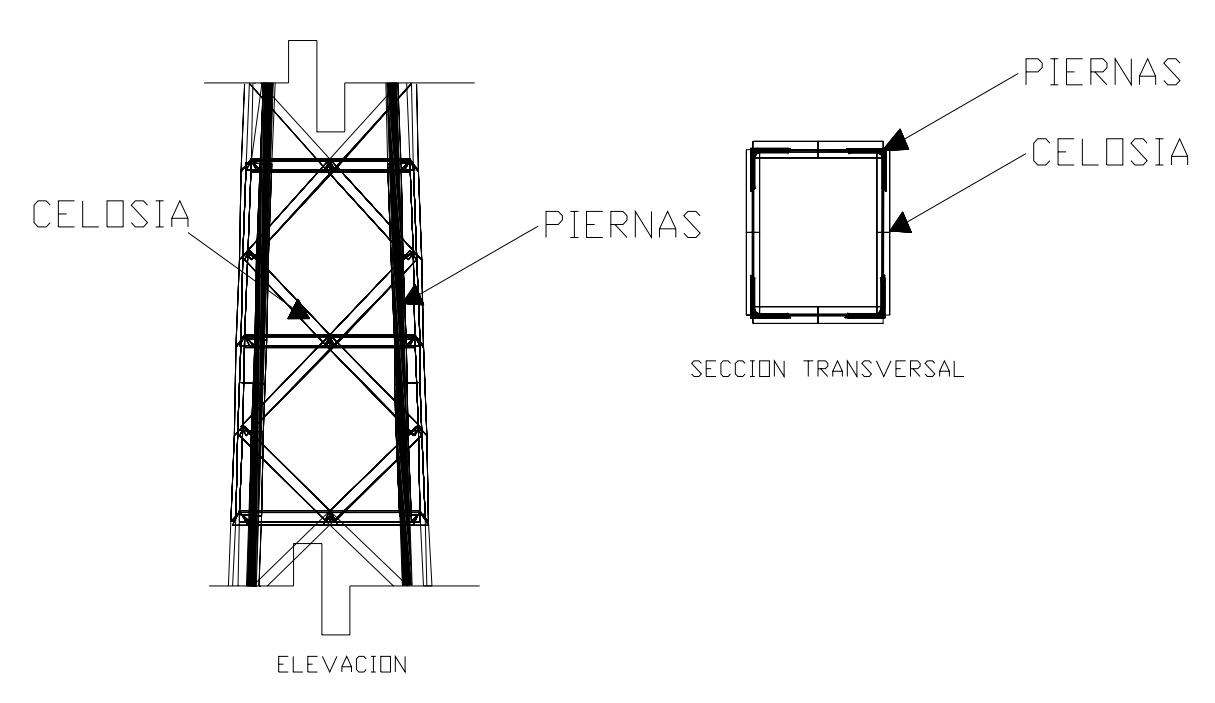


Figura No. B Torre considerada para este trabajo

I.1.- Clasificación de torres

Por su diseño las torres se clasifican en

- 1.- Arriostradas
- 2.- Monopolos
- 3.- Autosoportadas

Las primeras concentran la carga en un solo punto, ya que son de base estrecha y tienen un costo menor que las autosoportadas, sin embargo requieren de una extensa área para sujetarla mediante tensores. Los monopolos son instalados en lugares en donde se requiere conservar la Estética, pues son las que ocupan menos espacio, y se pintan de algún color o se adornan para que se permita que la estructura se camuflajee y se simule la vegetación. Las torres autosoportadas que son las que nos interesan en este trabajo, distribuyen su carga en tres o cuatro piernas con diversas configuraciones pueden ser ensambladas en sitio sin necesidad de utilizar maquinaria pesada y La gran ventaja que tienen estas torres con respecto las arriostradas es que: el área que ocupan es relativamente pequeña comparada con la que ocupan las torres arriostradas. En la siguiente figura se muestran este tipo de torres.

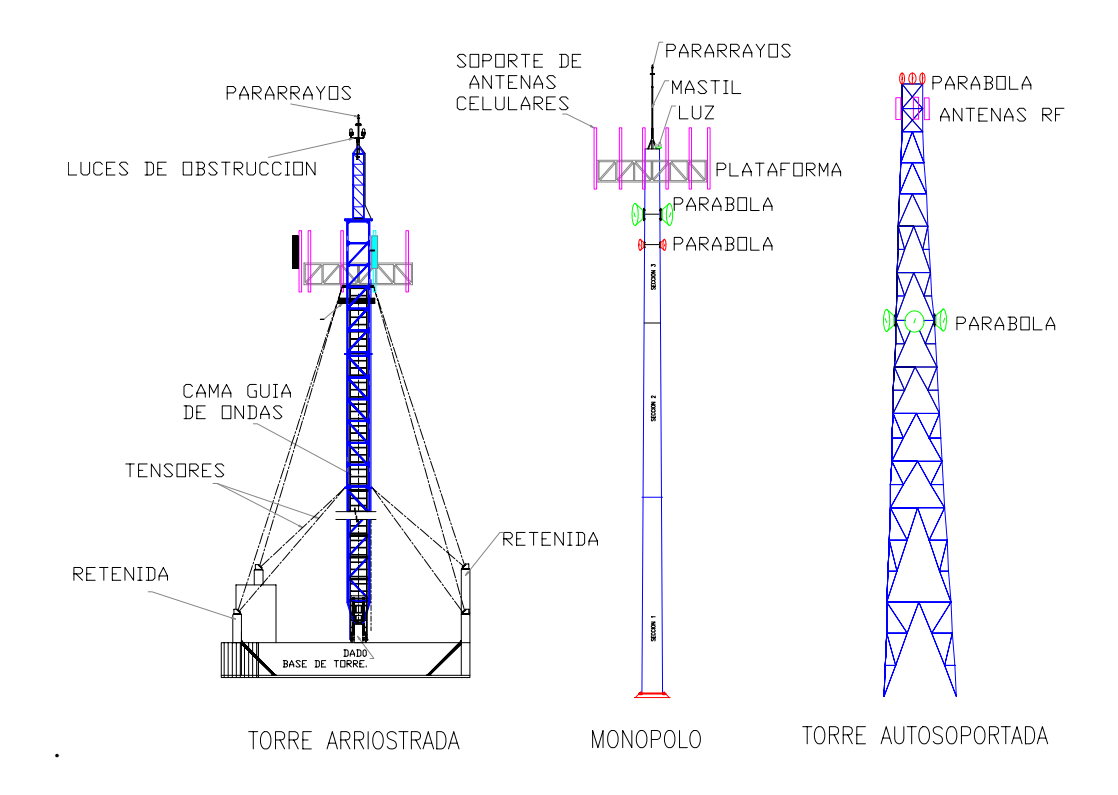


Figura No. I Tipos de torres

I.2.- Elementos integrantes de una torre autosoportada

Este tipo de Torre se instala fundamentalmente cuando las limitaciones de terreno son importantes y/o cuando la cantidad y dimensiones de las antenas así lo obligan. Estas Torres pueden ser de base triangular o base cuadrada y básicamente se componen de:

- 1. Estructura principal
- 2. Escaleras de ascenso y descenso
- 3. Kit de seguridad o línea de vida
- 4. Cama de guía de ondas vertical y horizontal
- 5. Plataforma de trabajo
- 6. Sistema de protección contra descargas atmosféricas
- 7. Sistema de iluminación o balizamiento nocturno
- 8. Pintura o balizamiento diurno.
- 9. Soporte de antenas para su instalación sobre la torre
- 10. Sistema de tierra

A continuación se describe en que consisten los elementos arriba mencionados

I.2.1.- Estructura principal

La conforman las piernas, cerramientos horizontales, cerramientos diagonales, cerramientos secundarios, placas de unión de cerramientos diagonales y secundarios y diafragmas.

I.2.2.- Escaleras de ascenso y descenso

El sistema de acceso es el medio que permite la inspección y el control de las antenas y de la propia torre. El sistema de acceso será mediante una escalera que se extiende por el interior de la torre dispuesta por la misma vertical en toda su longitud. La escalera está formada por ángulos verticales de LI 51x6, unidos por peldaños formados por redondos macizos de $\emptyset = 3/4$ " (19 mm), soldados a los ángulos verticales, y separados 250 mm entre sí. El ancho o separación entre los bordes de los montantes verticales será de 400 mm. Como medida de seguridad, para evitar la caída de personas durante las operaciones de ascenso y descenso, se instalará un sistema anticaídas, el cual permite a los operarios trabajar asegurados. este sistema consiste en un arnés utilizado por el operario que sujeto mediante una eslinga bien sea de posicionamiento o fija se engancha a un punto de anclaje o línea de vida.

I.2.3.- Sistema de seguridad o línea de vida

Es un cable tipo retenida, con herraje superior e inferior, placas de seguridad, tensor de ojillo, separador de cable de seguridad, abrazaderas, placa de unión de escalera.

I.2.4.- Cama de guía de ondas vertical y horizontal

Son cables de radiofrecuencia (RF), relativamente rígidos y con ciertas limitaciones a las curvaturas (no inferiores a 0,5 m), que unen las antenas con los equipos de radio situados en el interior de las casetas destinadas a sitios celulares o al propio equipo, si éste es de intemperie. Su trayectoria se extiende por el interior de la torre (guiaondas verticales) y por el espacio comprendido entre torre y caseta (guiaondas horizontal). La trayectoria vertical se diseña para fijar los cables en un perfil LI 51x5, de 1.24 metros de longitud, dispuesto horizontalmente y paralelo a la escalera de ascenso. Estos perfiles se instalan en toda la vertical separados cada 1.5 metros.

I.2.5.- Plataformas de trabajo

Constituyen la zona de la torre destinada a la instalación, supervisión y mantenimiento de las antenas y de la propia torre, o al descanso de los trabajadores durante la realización de las tareas anteriores o durante su ascenso por dicha torre ver (figura I.1)

Su construcción se efectúa mediante rejilla tipo antiderrapante para evitar el deslizamiento del calzado.

Al mismo tiempo que permite el paso del agua evitando estancamientos y acumulaciones sobre la misma. Las plataformas de descanso poseen una abertura en la zona de escalera Para el paso del operario, no se les dota de compuerta para facilitar el acceso entre los diferentes tramos. La superficie se diseña con suficiente dimensión para permitir la estancia de una persona cómodamente, además a 1,2 metros de altura de cada plataforma, cuenta con barandal de protección alrededor de la torre.

I.2.6.- Sistema de protección contra descargas atmosféricas

Es un pararrayos dipolo ep-d con mástil de duraluminio de 3m, cable de 2/0 de cobre forrado thw, abrazaderas metálicas sin fin, electrodo profesional pares para la fosa de descarga con relleno especial ep-tr, agregado electrolítico y soldadura cadwell.

I.2.7.- Sistema de iluminación o balizamiento nocturno

Es un faro BEACON en la punta de la torre y cuatro lámparas de obstrucción (2 a la mitad y dos a ¾ de la torre) certificados ante la Secretaría de Comunicaciones y Transportes (SCT) a través de la Dirección General de Aviación Civil (DGAC) con mica roja, foto celda de control, cableado correspondiente para su correcta instalación y controlador alarmado.

I.2.8.- Pintura o balizamiento diurno

El sistema de balizamiento diurno se instala siguiendo normativas de la Dirección General de Aviación Civil y de Telefónica Móviles México. Constituye la señalización mediante balizas, para la localización durante la noche de las estructuras soporte de antenas. El recorrido del cable se efectuará a lo largo de la torre por la parte posterior del soporte guiaondas vertical de la torre. La sujeción de los cable se efectuará mediante abrazaderas, apropiadas que no los dañen y por otro lado que se puedan fijar a los soportes guiaondas mediante sistema de presión, nunca por realización de barrenos.

I.2.9.- Soporte de antenas para su instalación sobre la torre

Los soportes de antenas son los elementos necesarios para la instalación de los sistemas radiantes sobre la torre de la forma más adecuada para que, en cada caso particular se consigan los objetivos de cobertura. Para sujetar las antenas en los soportes, se utilizarán tubos de amarre de diámetro variable según se trate de antenas o microondas que irán fijados mediante abrazaderas roscadas en su totalidad. Para sujetar las antenas de Radio Frecuencia (RF) en los soportes se utilizan tubos de amarre "OC" de ϕ =2" cédula 40 (ϕ =60.3x3.91 mm) de 1.8 metros de longitud, y para sujetar las microondas tubos de amarre "OC" de ϕ =4" cédula 40 (ϕ =114x6.02 mm) de 1.2 metros. Los soportes diseñados para esta estructura son los siguientes:

- Ménsula retráctil para antena tipo panel.
- Ménsula fija para antena tipo panel.
- Ménsula fija para microonda de $\phi = 2$ '.
- Ménsula fija para microonda de $\phi = 4'$.

I.2.10.- Sistema de tierra

Es un arreglo de electrodos, conductores, materiales intensificadores, rellenos especiales, agregados electrolíticos, y difusores que basados en normas internacionales para su diseño y por medio de memorias de calculo, considerando el análisis y criterios correspondientes, se lograr obtener un sistema que sea capaz de reducir la resistencia a tierra cubriendo un área en especifico, asegurando que el valor de la resistencia a tierra será el mismo en cualquier punto de la malla, permitiendo de esta manera que la disipación de las descargas sea la máxima, evitando cualquier diferencia de potencial, y que el riesgo de daño al personal, equipo y/o sistema, disminuya

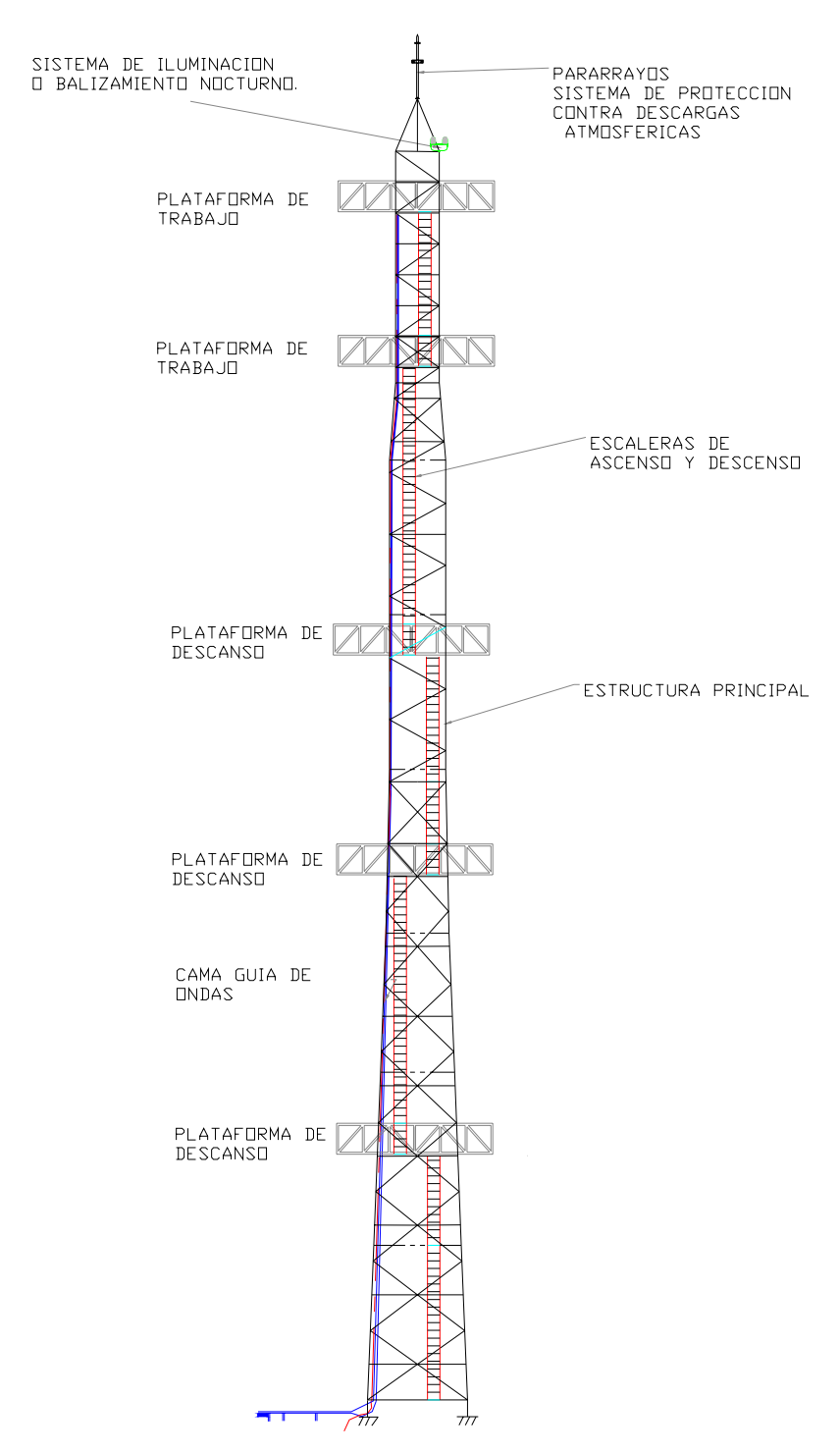


Figura No. I.1 Elementos integrantes de una torre Autosoportada

I.3.- Factores que intervienen en el diseño de una torre autosoportada

En un proyecto de esta naturaleza deben tomarse en cuenta los siguientes factores.

- 1. Altura de la torre y ubicación geográfica.
- 2. Velocidad de vientos
- 3. Cargas que soportara la estructura
- 4. Altura de las cargas sobre la torre
- 5. Accesorios y ubicación sobre la torre
- 6. Normatividad que aplica para su calculo y diseño

I.3.1.- Altura de la torre, ubicación geográfica y velocidad de vientos.

Los teléfonos celulares son radios sofisticados que trabajan con frecuencias que cubren o abarcan áreas o células de cierto diámetro. Son los departamentos de ingeniería de Radiofrecuencia y Transmisión quienes generan las especificaciones requeridas para estas estructuras, en las cuales indican la altura de centro de radiación de antenas, tipos y número de antenas, inclinación, orientación y espacios necesarios, para que funcionen correctamente.

La mayoría de estas estructuras son ligeras, por lo que en su diseño influye mucho los esfuerzos que genera el viento, debido a que durante su acción se presentan los mayores esfuerzos y deformaciones en la torre, tal como lo veremos mas adelante, Por lo tanto deberá conocerse la velocidad del viento que estará sujeta a factor variable de acuerdo con el sitio específico, así como la carga que será necesaria distribuir en toda la estructura y que esta en función de la superficie que estará expuesta a las fuerzas del viento.

I.3.2.- Cargas que soportara la estructura.

La estructura esta sujeta a acciones permanentes como por ejemplo a su peso propio, el peso de las antenas parabólicas, el peso del equipo y accesorios, así como escaleras e instalaciones, también esta sujeta a acciones variables como la carga viva y en su caso carga por hielo la cual se presenta en torres localizadas en regiones con bajas temperaturas, se puede decir que es poco frecuente y que solo se presenta en el norte de nuestro país, por lo que en este trabajo no será considerada y por ultimo también a acciones accidentales como el viento y sismo, en muchas regiones los sismos representan la causa del mayor numero de fallas y daños de las estructuras y es necesario tomar precauciones muy especiales a este respecto, aunque como se vera mas adelante las torres de telecomunicaciones son generalmente muy ligeras y el sismo no las afecta tanto.

I.3.3.- Normatividad que aplica para su cálculo y diseño

Para el caso del diseño estructural, la mayor parte de los países de América Latina, utilizan las especificaciones de diseño de uso en Estados Unidos, particularmente del American Institute of Steel Construction AISC (Specification for Structural Steel Buildings-Allowable Stress Design and Plastic Design), esta practica que desde hace muchos años se sigue en México se debe a numerosas razones, una es que los perfiles que se producen en México se laminan con dimensiones del sistema ingles y son parte de los que se producen en Estados Unidos, también por la influencia tecnológica por la cercanía con México ya que buena parte de los programas de análisis y diseño estructural que se utilizan aquí proceden de Estados Unidos y se basan en métodos de diseño adoptados por el AISC.

En el caso de las cargas de viento sobre la estructura, estas se obtienen por medio de fórmulas estipuladas en los reglamentos correspondientes para cada país, por ejemplo, en **Estados Unidos** se calcula por medio del reglamento *ASCE* (*Guide To The Use Of The Wind Load Provisions*), en **Argentina** por medio del reglamento *CIRSOC*, en **México** por medio del **Manual De Diseño De Obras Civiles Diseño Por Viento** de la *Comisión Federal De Electricidad*. En dichas fórmulas se calculan las áreas de exposición de los elementos estructurales, las cuales se multiplican generalmente por otros coeficientes, como veremos mas adelante.

II.- DISEÑO GEOMÉTRICO

Para el análisis estructural es necesario tomar el tipo de torre elegido por el cliente, e introducirlo en un modelo matemático, junto con sus cargas, condiciones de viento, nieve, sismo, etc., e ir buscando aquella estructura que, cumpliendo con todos los requisitos técnicos, tenga un mínimo de peso o un menor costo en el material a usar (ambas cosas suelen ir en paralelo). Sin perjuicio de su capacidad para resistir las fuerzas impuestas y aceptar cierto rango de desplazamientos y deformaciones.

La aportación realizada en esta fase es el desarrollo de utilidades que, a partir del mínimo número de datos necesario, pueden realizar el diseño y cálculo de las estructuras y tener la suficiente versatilidad para poder modificar y recalcular los resultados de una forma rápida y precisa. El modelo geométrico es el esquema que representa las principales características geométricas de la estructura.

11.1.- Descripción de la estructura.

La torre será una estructura autosoportada de forma prismática, sección, cuadrada y de esbeltez considerable, que estará constituida por perfiles de acero, unidos entre sí, formando redes triangulares entre las barras verticales y diagonales.

La altura de la torre es el valor nominal en metros desde la base hasta el último nivel de colocación de antenas, no contándose como altura del mismo los herrajes para colocación de pararrayos o tubos soportes que superen la altura de 40m, La torre estará dividida en 8 tramos de acuerdo a la tabla siguiente.(ver figura II y II.1)

Tabla No. II División de los tramos de la torre

Tramo de	Altura
Torre.	m.
1	5
2	5.6
3	4.5
4	5.3
5	5
6	5
7	2.5
8	7.5

La sección transversal en la base es de 3.3 m. Esta medida se va reduciendo hasta llegar a una altura de 18m y una sección transversal de 1.8m,

Esta medida permanece constante hasta una altura de 31m, en donde su sección transversal disminuye a 1.4 m y finalmente esta sección transversal permanece constante hasta los 40 metros de altura.

IL- DISEÑO GEOMÉTRICO

La torre se proyectará para servir de soporte a una serie de equipos de telecomunicaciones, principalmente antenas de los tipos Radio Frecuencia (R.F) y Microondas (M.W).

La estructura se diseñará para soportar una capacidad de cargas de antenas, con la siguiente distribución ver (Figura II.1)

- ➤ 3 antenas de microondas (parábolas) de 0,6 m de diámetro en cota nominal (40 metros): dos orientadas a 0° y una a 90°
- ➤ 9 antenas de Radio Frecuencia (RF) (crosspolares) de 1,6 x 0,3 m, situado a 1 metro de la cota nominal (39 metros).
- ➤ 3 antenas de microondas (parábolas) de 0,9 m de diámetro situadas a 10 metros por debajo de la cota nominal (30 metros) dos orientadas a 0° y una a 90°

La torre irá dotada de los siguientes elementos y accesorios:

- > escalera de acceso y sistema anticaídas;
- soportes guía de ondas y red de tierras.
- Plataformas de trabajo y descanso (ver figura II.1)

La estructura es una torre de acero tipo autosoportada, con una altura total de 40 metros.

II.2 Estructuración

El tipo de arreglo de los elementos estructurales y la distribución de las masas tienen una influencia decisiva en el comportamiento de la estructura, la sencillez, uniformidad y simetría de la estructura son aspectos básicos que contribuyen a reducir de manera importante los riesgos de un mal comportamiento en la respuesta de la estructura ante las solicitaciones externas.

En la estructura se utilizo un arreglo de barras tipo armadura arregladas de tal manera que forman triángulos cuya alta rigidez hace que las acciones exteriores se resistan exclusivamente por fuerzas axiales, el acero se aprovecha eficientemente en este tipo de estructuración debido a como ya se menciono todos sus elementos están sujetos a fuerzas axiales de tensión o compresión, esto aunado a su ligereza, hace muy conveniente el empleo de este sistema estructural. (ver figura No. II)

II.3.- Ubicación de la estructura

La construcción se encontrara localizada en la zona costera del pacifico Mexicano, en una zona expuesta, al nivel del mar con una altitud de 5 metros, y con unas condiciones de terreno cubierto por numerosas obstrucciones estrechamente espaciadas. Y topografía suave, es decir no tiene cambios topográficos importantes.

II.- DISEÑO GEOMÉTRICO

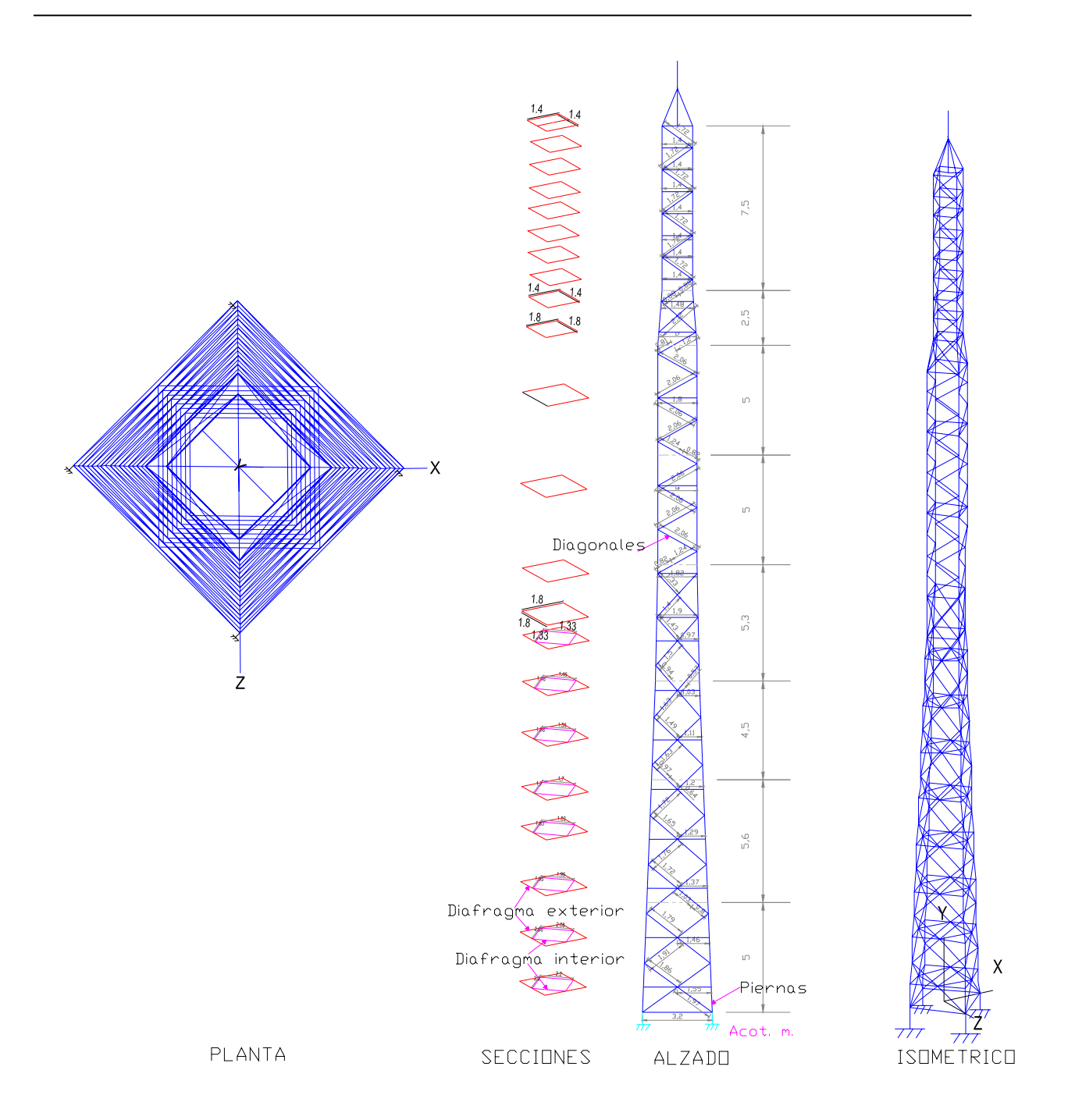


Figura No. II Estructuración de la torre

II.- DISEÑO GEOMÉTRICO

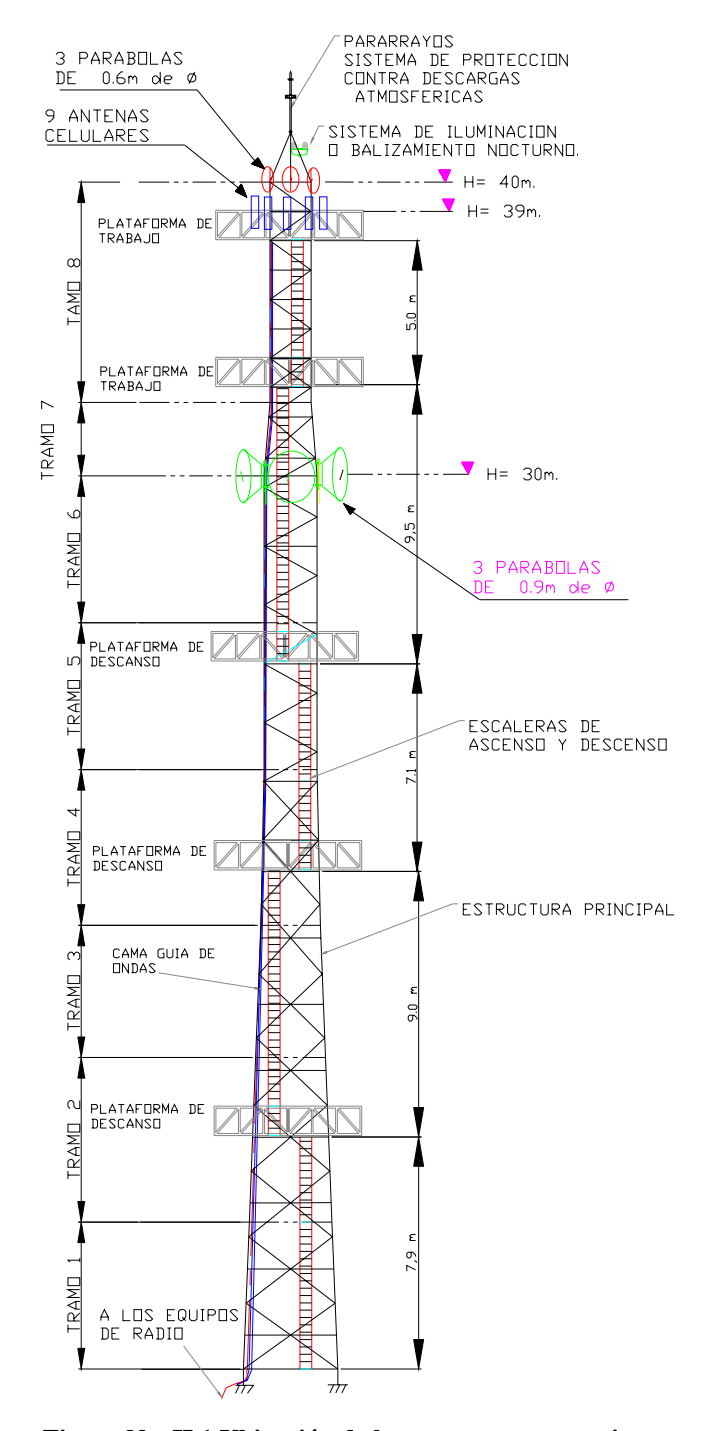


Figura No. II.1 Ubicación de las antenas y accesorios.

En esta etapa del proyecto, se identifican las acciones que se consideran que van a incidir o que tienen posibilidad de actuar sobre el sistema estructural durante su vida útil. Entre estas acciones se encuentra, por ejemplo, las acciones permanentes como la carga muerta, acciones variables como la carga viva. Acciones accidentales como el viento y el sismo. Cuando se sabe de antemano que en el diseño se tienen que considerar las acciones accidentales es posible seleccionar en base a la experiencia la estructuración más adecuada para absorber dichas acciones. A continuación se describe en que consiste cada una de estas.

III.1.- Carga Muerta.-

Es la carga que esta definida por el peso propio de la estructura, así como el peso de las Antenas celulares, parábolas, cama guía de onda, escalera, plataformas de trabajo y descanso La carga muerta correspondiente a el peso de las antenas, se tomará directamente de la información proporcionada por el fabricante de acuerdo a sus especificaciones. En este caso se utiliza el boletín No. 38 de Andew Corporation para las antenas de microondas (parabolicas) y el catalogo Escala para las antenas celulares (Radio Frecuencia RF)

III.1.1.- Peso propio de la estructura

Se determina suponiendo previamente todos lo perfiles que forman a la estructura. Esta condición de carga es calculada automáticamente por el programa de diseño estructural que se utilizara en este trabajo, tomando como referencia los perfiles seleccionados para el modelo de la estructura, este peso se calcula en base a la densidad del acero y al volumen de cada elemento estructural.

III.1.2.- Peso de plataformas

El peso de plataformas y carga viva será dividido en el número de nodos donde se colocaran las plataformas. La plataforma tiene un peso de 52 Kg/m². en la torre se instalaran 5 plataformas.

De la figura III.1 se tiene un área de plataforma de 6.64 m^2 , por lo tanto el peso de cada plataforma será de $52 \times 6.64 = 345 \text{ Kg}$.

III.1.3.- Peso de la escalera y guía de ondas

Para la aplicación de las Cargas de Escalera + Guía de Ondas en el programa de análisis, la carga total será dividida en el número de miembros de la estructura en una cara y será aplicada en cada nodo. Estos tienen un peso de 1200kg.

III.1.4.- Peso de las antenas

Los Pesos de las antenas se obtuvieron como ya se dijo de las especificaciones proporcionadas por el fabricante, ver tabla III

- 3 antenas de Æ 60cm (50 kg c/u) = 150 kg a 40 m de altura
- 3 antenas de Æ 90cm (70 kg c/u) = 210 kg a 30 m. de altura
- 9 antenas de RF (40 kg c/u) = 360 kg a 39 m de altura.

Tabla No. III ca	aracterísticas	de antenas
------------------	----------------	------------

	Tubil 100 III culture issued ac uniterial					
tipo de	dimensiones	altura m	cantidad	peso unitario		
antena	cm			kg		
microondas	ø 60	40	3	50		
microondas	ø 90	30	3	70		
RF	1.6x0.20	39	9	40		

III.2.- Carga Viva.

Se consideran cargas vivas a las fuerzas que se producen por el uso y ocupación variables en magnitud y posición debidas al funcionamiento propio de la estructura, estas cargas se especifican como uniformemente repartidas por unidad de área, Atendiendo a las Normas Técnicas Complementarias Sobre Criterios y Acciones de Diseño Estructural De las Edificaciones del Reglamento de Construcciones del Distrito Federal, la carga viva será de 300 kg/m²

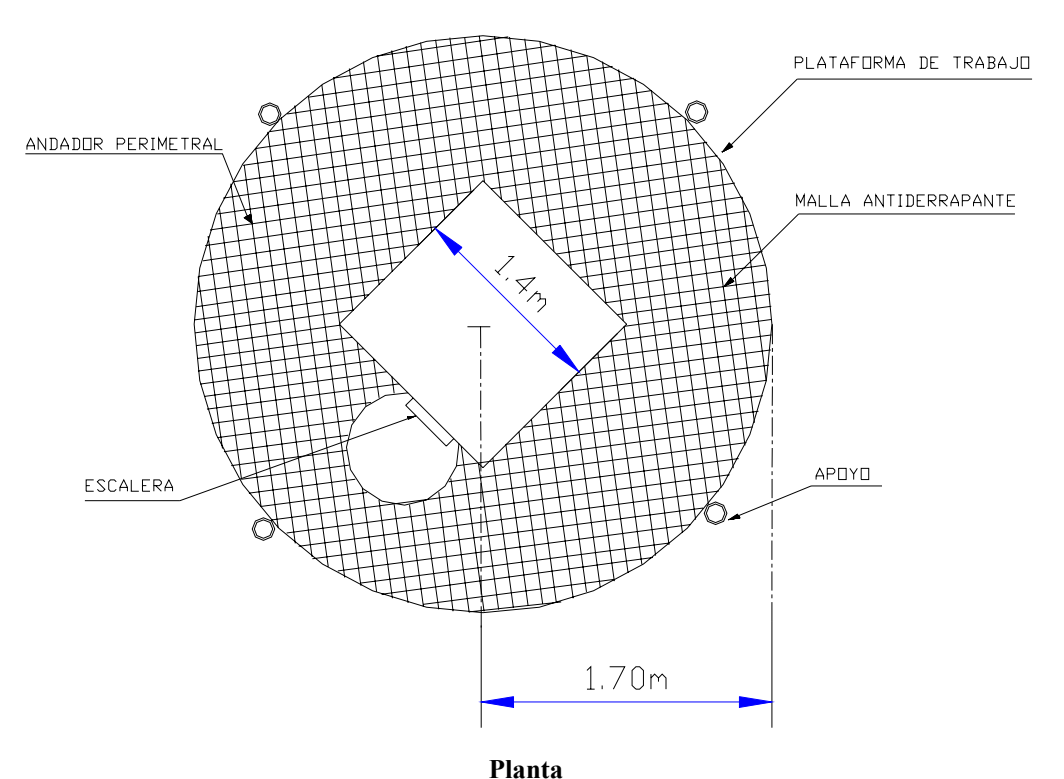


Figura No. III.1 Plataforma de trabajo.

III.3.- Carga por viento.

El procedimiento y criterio a seguir para la realización del diseño por viento será el estipulado en el Manual de Diseño por viento emitido por la Comisión Federal de Electricidad edición 1993. Las cargas de viento se calcularán por medio de un análisis dinámico. En dichas fórmulas de este Manual se calculan las áreas de exposición de los elementos estructurales, las cuales se multiplican generalmente por otros coeficientes.

La fuerza total sobre la estructura debida al flujo del viento se calcula con la siguiente expresión

$$F = P_Z A_Z$$
 ----ec (III.3) en donde:

 A_Z es el área de exposición a la acción del viento en m^2 .

P_Z es la presión total en la dirección del viento en kg/m²

La Presión total en la dirección del viento se calculará con la siguiente expresión.

$$P_Z = q_z$$
 F_g C_a -----ec (III.3.1) en donde:

 $F_{\rm g}~$ es el factor de respuesta dinámica debida a ráfagas adimensional.

 $q_z\,\,$ es la presión dinámica de base en la dirección del viento en kg/m^2

C_a es el coeficiente de arrastre, adimensional

El factor de respuesta dinámica debida a ráfagas F_g. Se calcula con la expresión siguiente.

$$F_g = \frac{1}{g^2} [1 + g_p(\sigma/\mu)]$$
 -----ec(III.3.2) en donde:

g = Es un factor de ráfaga, variable con la altura Z. adimensional. $g_p = Factor$ pico o de defecto máximo de la carga por viento. Sin unidades La expresión σ/μ , es la variación de la carga debida a la turbulencia del viento,

La relación σ/μ , se calcula con la siguiente ecuación.

$$\frac{\sigma}{\mu} = \sqrt{\frac{\kappa_r}{C\alpha'} \left[B + \frac{SE}{\zeta} \right]} - --- ec \text{ (III.3.3)}$$

En donde:

 k_r = Es un factor relacionado con la rugosidad del terreno

 ζ = Es el coeficiente de amortiguamiento critico

B= Es el factor de excitación de fondo.

S= Es el factor de reducción por tamaño.

E= Es el factor de relación de la energía de ráfaga.

Todas las variables que intervienen en esta ecuación son adimensionales.

El factor C_{α} , se define con las expresiones siguientes.

$$C_{\alpha'} = 3.46 \ F_T^2 \left[\frac{10}{\delta} \right]^{2\alpha'}$$
 si H \le 10 \cdots 10 \cdots

$$C_{\alpha'} = 3.46 \ F_T^2 \left[\frac{H}{\delta} \right]^{2\alpha'} \text{ si } 10 < H < \delta -----ec (III.3.5)$$

$$C_{\alpha'} = 3.46 \ F_T^2$$
 si H $\geq \delta$ -----ec (III.3.6)

En donde:

 F_T = Es el factor de topografía

 δ = Altura gradiente

H = Es la altura total de la torre

α' se determina de acuerdo a la categoría del terreno.

Por lo que concierne a los parámetros B, S, E, y g_{P_1} estos se calculan con ayuda de graficas.

El factor de ráfaga variable con la altura Z, se calcula con las siguientes expresiones:

$$g = \kappa \left[\frac{10}{\delta}\right]^{\eta}$$
 si $Z \le 10$ -----ec (III.3.7)

$$g = \kappa \left[\frac{Z}{\delta} \right]^{\eta}$$
 si 10 < Z < δ -----ec (III.3.8)

$$g = \kappa$$
 si $Z > \delta$ -----ec (III.3.9)

La presión dinámica se determinará con la siguiente ecuación:

$$q_z = 0.0048 \ G \ V_D^2$$
 -----ec.(III.3.10) Donde

V_D es la velocidad de diseño en km/hr,

El coeficiente 0.0048 corresponde a un medio de la densidad el aire.

G es el factor de corrección por temperatura y por altura con respecto al nivel del mar, adimensional determinado por la expresión:

$$G = \frac{0.392 \ \Omega}{273 + \tau} = ----- \text{ec (III.3.11)}$$

 Ω = Es la presión barométrica en mm de Hg. Del sitio de desplante de la torre. τ = Es la temperatura ambiental en °C. Del sitio de construcción de la torre.

La velocidad de diseño, en km/h, se obtiene de acuerdo a la siguiente ecuación.

$$V_D = F_T F_\alpha V_R$$
 -----ec (III.3.12)

En donde:

F_T es el factor de topografía

 F_{α} es el factor de exposición

V_R es la velocidad regional

El factor de exposición se calcula con la siguiente expresión:

$$F_{\alpha} = F_{C} F_{rz}$$
 ----- ec (III.3.13)
En donde:

Fc es el factor de tamaño

F_{rz} es el factor de rugosidad y altura

El factor de rugosidad y altura se calcula de acuerdo a las siguientes expresiones.

$$F_{rz} = 1.56 \left(\frac{10}{\delta}\right)^{\alpha}$$
 SI Z \le 10 ----- ec (III.3.14)

$$F_{rz} = 1.56 \left(\frac{Z}{\delta}\right)^{\alpha} \text{ SI } 10 < Z < \delta \text{ -----ec (III.3.15)}$$

$$F_{rz} = 1.56$$
 SI Z $\geq \delta$ -----ec (III.3.16)

En donde:

 δ es la altura gradiente.

 α es el exponente que determina la forma de la variación de la velocidad del viento con la altura (adimensional).

Z corresponde a la altura de la estructura.

A continuación se procederá a calcular cada uno de estos términos y así poder obtener la magnitud de las fuerzas ante viento.

III.3.1.- Clasificaciones de la estructura

Afin de establecer disposiciones para el diseño de estructuras contra la acción del viento, se debe simplificar en gran medida el complejo problema de estimar tanto la intensidad de ocurrencia de los vientos como sus efectos.

Para que una construcción cumpla adecuadamente con las funciones para las que haya sido destinada deben establecerse las siguientes clasificaciones.

III.3.2.- Según su importancia

Se refiere al grado de importancia necesario para asegurar que una estructura cumpla adecuadamente con las funciones para la que ha sido destinada.

De acuerdo al Manual de Obras Civiles Diseño por Viento de la Comisión Federal de Electricidad, atendiendo al grado de seguridad aconsejable para una estructura, la torre autosoportada en cuestión se clasifica como del grupo A, que son las estructuras para las que se recomienda un grado de seguridad elevado, ya que en caso de fallar causarían la perdida de un numero importante de vidas o perjuicios económicos o culturales excepcionalmente altos.

III.3.3.- Según su respuesta ante la acción del viento.

Del citado Manual pero ahora atendiendo a su respuesta ante la acción del viento la torre autosoportada se clasifica del tipo 2, estas son estructuras que por su alta relación de aspecto o las dimensiones reducidas de su sección transversal, son especialmente sensibles a las ráfagas de corta duración entre 1 y 5 segundos y cuyos periodos naturales largos favorecen la ocurrencia de oscilaciones en la dirección del viento, y en las que la relación de aspecto $\lambda = H/B$ definida como el cociente entre la altura y la menor dimensión en planta es mayor que 5, en esta expresión H = 40 m. $\lambda = 3.2$ m, 40/3.2 = 12.5 > 5.

Para diseñar estructuras del tipo 2 como es este caso, se consideraran los efectos dinámicos causados por la turbulencia del viento. Estos se tomaran en cuenta mediante la aplicación del factor de respuesta dinámica debida a ráfagas.

III.3.4.- Según su tamaño

En el análisis estático como dinámico intervienen factores que dependen de las condiciones topográficas y de exposición locales del sitio en donde se desplantara la construcción así como del tamaño de está, a fin de evaluar correctamente dichos factores, el Manual de la CFE presenta clasificaciones de carácter práctico de acuerdo a la tabla. III.3

La estructura es de clase B. Debido a que su mayor dimensión, ya sea horizontal o vertical es mayor de 20 m, pero menor a 50 m. (Ver tabla III.3)

III.3.5.- Categoría del terreno.

De acuerdo con los datos, el terreno se clasifica como categoría 3 ya que se trata de un terreno cubierto por numerosas obstrucciones. (Ver tabla III.3.1)

Tabla No. III.3 Clases de estructuras según su tamaño

Clase	Descripción		
A	Todo elemento de recubrimiento de fachadas, de ventanearías y de techumbres y sus respectivos sujetadores. Todo elemento estructural aislado, expuesto directamente a la acción del viento. Asimismo todas las construcciones cuya mayor dimensión ya sea horizontal o vertical, sea menor que 20 metros		
В	Todas las construcciones cuya mayor dimensión, ya sea horizontal o vertical, varíe entre 20 y 50 metros		
С	Todas las construcciones cuya mayor dimensión, ya sea horizontal o vertical, sea mayor que 50 metros		

Tabla No. III.3.1 categoría del terreno según su rugosidad

Categoría Descripción		Ejemplos	Limitaciones
1		pantanos, campos Aéreos,	La longitud mínima de este tipo de terreno en la dirección del viento debe ser de 200 m o 10 veces la altura de la construcción por diseñar la que sea mayor
2	Terreno plano u ondulado con pocas obstrucciones	Campos de cultivo o granjas con pocas obstrucciones tales como setos o bardas alrededor, árboles y construcciones dispersas.	Las construcciones tienen alturas de 1.5 a 10 m, en una longitud mínima de 1500 m.
3	Terreno cubierto por numerosas obstrucciones estrechamente espaciadas	Áreas urbanas, suburbanas y de bosques, o cualquier terreno con numerosas obstrucciones estrechamente espaciadas el tamaño de las construcciones corresponde al de las casas y viviendas	Las obstrucciones presentan alturas de 3 a 5 m la longitud mínima de este tipo de terreno en la dirección del viento debe ser de 500 m. 0 10 veces la altura de la construcción, la que sea mayor
4	Terreno con numerosas obstrucciones largas, altas y estrechamente espaciadas	Centros de grandes ciudades y complejos industriales bien desarrollados.	Por lo menos el 50 % de los edificios tiene una altura mayor de 20 m. Las obstrucciones miden de 10 a 30 m de altura, la longitud mínima de este tipo de terreno en la dirección del viento debe ser mayor entre 400 m y 10 veces la altura de la construcción.

III.3.6.- Determinación del factor de rugosidad y altura

El factor de rugosidad y altura ó factor que establece la variación de la velocidad del viento con la altura Z en metros, en función de la rugosidad del terreno de los alrededores, (adimensional). Dicha variación esta en función de la categoría del terreno y del tamaño de la construcción, se obtiene de acuerdo con las expresiones III.3.14 y III.3.15 En donde:

 δ es la altura en metros, medida a partir del nivel del terreno de desplante, por encima de la cual la variación de la velocidad del viento no es importante, se puede suponer constante, y se le conoce como altura gradiente.

 α es el exponente que determina la forma de la variación de la velocidad del viento con la altura (adimensional).

Estos coeficientes están en función del tamaño de la construcción tabla III.3 y de la rugosidad del terreno tabla III.3.1

El Manual proporciona la tabla III.3.2 de los valores que se aconsejan para estos coeficientes.

Tabla No. III.3.2 Valores de αγδ

Categoria del		α		δ
terreno	(Clase de estructur	a	m
	Α	В	С	
1	0.099	0.101	0.105	245
2	0.128	0.131	0.138	315
3	0.156	0.160	0.171	390
4	0.170	0.177	0.193	455

En donde para la categoría de terreno 3 y clase de estructura B se obtiene α = 0.160, y δ = 390, al sustituir estos valores en las ecuaciones III.3.14 y III.3.15 se obtiene:

$$F_{rz} = 1.56 (10/390)^{0.160} = 0.868$$
 si $Z \le 10$ ----- ec (III.3.17)

$$F_{rz} = 1.56 (Z/390)^{0.160} = 0.601(Z)^{0.160}$$
 si $10 < Z < 390$ --- ec (III.3.18)

Como puede observarse la ecuación III.3.16 no se considera porque queda fuera del rango del problema.

III.3.7.- Determinación del factor de tamaño

Este factor toma en cuenta el tiempo en que la ráfaga del viento actúa de manera efectiva sobre la estructura considerando su clasificación según su tamaño.

Se determina de acuerdo a la tabla III.3.3 contenida en el Manual de la CFE, como la estructura es de clase B le corresponde un factor de tamaño Fc = 0.95, sin embargo Debido a las características de las estructuras (torres y monopolos), en el análisis dinámico el Manual recomienda un valor igual a uno (inciso 4.9.2)

Tabla No. 1II.3.3 Factor de tamaño Fc

Clase de	Fc
estructura	
A	1
В	0.95
С	0.9

III.3.8.- Factor de exposición

Este factor refleja la variación de la velocidad del viento con respecto a la altura Z, considerando el tamaño de la estructura y las características de exposición.

Al sustituir los valores encontrados ecuaciones III.3.17 y III.3.18 junto con el valor del factor de tamaño en la expresión para el factor de exposición ecuación III.3.13 obtenemos.

$$F_{\alpha} = (1) (0.868) = 0.868 \text{ si } Z \le 10 ----- \text{ec (III.3.19)}$$

$$F_{\alpha} = (1) (0.601) (Z)^{0.160} = 0.601 Z^{0.160} \text{ si } 10 < Z < 390 ---- \text{ec (III.3.20)}$$

III.3.9.- Determinación de la velocidad regional

La velocidad regional que le corresponde al sitio en donde se construirá la estructura, en km/h. Es la máxima velocidad media probable de presentarse en un cierto periodo de recurrencia en una zona o región determinada del país.

En el citado Manual se incluyen los mapas de isotacas con diferentes periodos de retorno, dicha velocidad se refiere a condiciones homogéneas que corresponden a una altura de 10 metros sobre la superficie del suelo en terreno plano categoría 2 según tabla III.3.1, es decir no considera las características de rugosidad locales del terreno ni la topografía especifica del sitio, la velocidad se asocia con ráfagas de 3 segundos y toma en cuenta la posibilidad de que se presenten vientos debidos a huracanes en las zonas costeras, en las figuras I.2, I.3 Y I.4, del Manual se muestran los mapas de isotacas correspondientes a periodos de recurrencia de 200, 50 y 10 años respectivamente. La importancia de las estructuras dictamina los periodos de recurrencia que deberán considerarse para el diseño por viento, los grupos A, B Y C se asocian con los periodos de retorno arriba mencionados. Correspondiendo a las estructuras del grupo A un periodo de recurrencia de 200 años. El sitio donde se construira la torre se localizara en el mapa con el periodo de recurrencia que corresponde al grupo al que pertenece la estructura. Sin embargo en el tomo III de las ayudas de diseño se presenta una tabla con las principales ciudades del pais y sus correspondientes velocidades regionales, para diferentes periodos de retorno.

Tomando en consideración la localización geográfica del sitio de desplante de la estructura y de acuerdo a la tabla III.1 (a) (contenida en el Manual) se obtiene una velocidad regional. $V_R = 146 \text{ km/hr}$

III.3.10.- Determinación del factor de topografía

Este es un factor que toma en cuenta el efecto topográfico local del sitio en donde se desplantará la estructura y si la construcción se localiza en lugares de altura importante con respecto al nivel general del terreno de los alrededores, es probable que se generen aceleraciones del flujo de viento, por lo que la velocidad regional se incrementará. La tabla III.3.4 muestra los valores que se recomiendan con base en la experiencia para este factor. De acuerdo a las características topográficas del sitio.

De acuerdo al lugar donde se ubicara la torre corresponde un factor de topografía de $F_T = 1$.

Tabla No. III.3.4 Factor de topografía local, F_T

Sitios	Topografía	F_T
Protegidos	Base de promontorios y faldas de serranías del lado de sotavento.	0.8
Trotegidos	Valles cerrados.	0.9
Normales	Terreno prácticamente plano, campo abierto, ausencia de cambios topográficos importantes, con pendientes menores de 5%.	1
	Terrenos inclinados entre el 5 y 10 %, valles abiertos y litorales planos.	1.1
Expuestos	Cimas de promontorios, colinas o montañas, terrenos con pendientes mayores de 10%, cañadas cerradas y valles que formen un embudo o cañon, islas.	1.2

III.3.11.- Velocidad de diseño.

Una vez realizado lo anterior procedemos a determinar la velocidad de diseño V_D que es la velocidad a partir de la cual se calculan los efectos del viento sobre la estructura o sobre un componente de la misma.

Al sustituir los valores de las ecuaciones III.3.19, III.3.20, así como el valor del factor de topografía y el de la velocidad regional en la expresión para la velocidad de diseño ecuación III.3.12 se obtiene.

$$V_D = (1)(0.868)(146) = 126.72 \text{ km/hr si } Z \le 10$$
-----ec (III.3.21)

$$V_D = (1)(0.601Z^{0.160})(146) = 87.746 Z^{0.160} \text{ km/hr si } 10 < Z < 390 ---- ec(III.3.22)$$

III.3.12.- Factor de corrección por temperatura y altura.

El factor de corrección por temperatura y por altura con respecto al nivel del mar, adimensional se determina de la manera siguiente.

La presión barométrica en mm de Hg, se obtiene a partir de la tabla III.3.5 al sitio de desplante de la torre le corresponde una altitud de 6 msnm (ver tabla III.1 (b) contenida en el Manual CFE), por lo que de la tabla III.3.5 por interpolación lineal se obtiene una presión barométrica de $\Omega = 759.5$ Hg.

De la misma tabla III.1 (b) se obtiene la temperatura ambiental en °C. Al sitio de construcción de la torre le corresponde una temperatura ambiental de $\tau = 26$ °C.

Tabla No. III.3.5 Relación entre la altitud Y la presión barométrica

i ii presion barometrica						
Altitud	Presión barométrica					
(msnm)	(mm de Hg)					
0	760					
500	720					
1000	675					
1500	635					
2000	600					
2500	565					
3000	530					
3500	495					

NOTA: Puede interpolarse para valores intermedios de la altitud

A l sustituir para G en la ecuación III.3.11 se obtiene:

$$G = 0.392(759.5)/(273+26) = 0.996$$
 -----ec (III.3.23)

III.3.13- Presión dinámica de base en la dirección del viento

Es la presión que ejerce el flujo del viento sobre una superficie perpendicular a el, es decir cuando el viento actúa sobre un obstáculo, genera presiones sobre su superficie que varían según la intensidad de su velocidad y su dirección.

Si sustituimos los valores de la velocidad de diseño ecuaciones III.3.21 y III.3.22 junto con el valor del factor por corrección de temperatura y altura G ecuación III.3.23 en la expresión para la presión dinámica base ecuación III.3.10 obtenemos:

$$q_z = 0.0048(0.996)(126.728)^2 = 76.780 \text{ kg/m}^2 \text{ si } Z \le 10 \text{ ------ec (III.3.24)}$$

$$q_z = 0.0048 (0.996) (87.746 Z^{0.160})^2 = 363.809 Z^{0.320} kg/m^2 si 10 < Z < 390 ---ec (III.3.25)$$

Si se recuerda que en la torres es instalaran 15 antenas, 3 a 40 m, 9 a 39 m, y 3 a los 30 m. Entonces se puede determinar la velocidad de diseño y la presión dinámica base a esas alturas, junto con los ocho tramos de la torre, como se muestra en la siguiente tabla:

Tabla No. III.3.6 Velocidad de diseño y presión dinámica base en los 8 tramos de la torre

	Z	G	F_{rz}	F_{lpha}	V_D	q_z		
Tramo	(m)				(km/h)	(kg/m²)		
1	2.50	0.996	0.868	0.868	126.7	76.781		
2	7.80	0.996	0.868	0.868	126.7	76.781		
3	12.85	0.996	0.904	0.904	131.9	83.196		
4	17.75	0.996	0.952	0.952	138.9	92.257		
5	22.90	0.996	0.991	0.991	144.7	100.093		
6	27.90	0.996	1.023	1.023	149.3	106.622		
7	31.65	0.996	1.044	1.044	152.4	111.013		
8	36.65	0.996	1.069	1.069	156.0	116.348		
	40.00	0.996	1.084	1.084	158.2	119.650		
Alturas de ubicación de las antenas								
1	40.00	0.996	1.084	1.084	158.21	119.650		
2	39.00	0.996	1.079	1.079	157.57	118.685		
3	30.00	0.996	1.035	1.035	151.09	109.127		

III.3.14.- Factor de ráfaga variable con la altura Z

Este factor representa la relación entre la velocidad máxima promediada sobre un lapso de tiempo t1, y otra promediada sobre un lapso mayor t2.

En donde las variables k' y $\,\eta$, adimensionales, dependen de la rugosidad del sitio de desplante, y $\,\delta$ es la altura gradiente en metros ya calculada anteriormente. Las variables anteriores se definen según la siguiente tabla.

Tabla No.III.3.7 Factores k', η , δ

Categoria	1	2	3	4
k′	1.224	1.288	1.369	1.457
η	-0.032	-0.054	-0.096	-0.151
δ	245	315	390	455

Como la categoría del terreno es 3, entonces los factores son:

$$k' = 1.369$$

$$\eta = -0.096$$

$$\delta = 390$$

Si sustituimos estos valores en las ecuaciones III.3.7 y III.3.8 para el factor de ráfaga se Obtiene lo siguiente.

$$g = 1.369 \left[\frac{10}{390} \right]^{-0.096} = 1.946$$
 Si $Z \le 10$ -----ec(III.3.26)

$$g = 1.369 \left[\frac{Z}{390} \right]^{-0.096} = 2.427 \, Z^{-0.096}$$
 si $10 < Z < 390 - \cdots$ ec (III.3.27)

Como puede observarse la ecuación III.3.9 no es aplicable por estar fuera de rango.

III.3.15.- Factor de excitación de fondo

El factor de excitación de fondo B, expresa la influencia que tienen sobre la respuesta estructural los componentes de baja frecuencia que se tienen en el viento. Se obtiene con ayuda de la figura III.3, en donde primeramente se tienen que determinar la siguiente expresión.

$$\frac{b}{H}$$
 ----- ec (III.3.28)

La cual representa la relación entre el ancho b y la altura H de la estructura en m, corresponden al lado del barlovento de la estructura, si sustituimos el ancho y la altura de la torre en esta ecuación se obtiene.

$$b/H = 3.2/40 = 0.08$$
 -----ec (III.3.29)

con este valor entramos a la figura III.3 en la grafica correspondiente y se obtiene: B = 1.29

III.3.16.- Factor de reducción por tamaño

Es un factor que toma en cuenta la distribución espacial de la turbulencia. Para determinar el factor de reducción por tamaño S se tienen que evaluar las siguientes expresiones.

$$\frac{3.6 \, n_0 \, H}{V'_H}$$
 -----ec (III.3.30)

Esta expresión representa la frecuencia reducida adimensional, en donde n_o es la frecuencia natural de vibración de la estructura en Hz y V'_H es la velocidad media de diseño del viento en km/hr. Dicha velocidad se calcula con la altura mas elevada de la estructura, en m, y se determina a partir de la ecuación siguiente.

$$V_{H}' = \frac{1}{g_{H}} V_{H}$$
 -----ec (III.3.31)

En donde:

 g_H adimensional y V_H en km/hr son el factor de ráfaga y la velocidad de diseño ya obtenidos anteriormente y se calcularan para Z = H = 40 m

De la tabla III.3.6 para una altura Z=40 se tiene una velocidad de diseño $V_D=158.21$ km/hr.

Para el factor de ráfaga, de la ecuación III.3.27 para una altura Z= 40 m se obtiene:

$$g_H = 2.427(40)^{-0.096} = 1.703$$
 -----ec (III.3.32)

Al sustituir estos valores en la ecuación III.3.31se tiene que la velocidad media de diseño es:

$$V'_{\rm H} = \frac{1}{g_{\rm H}} V_{\rm H} = \frac{1}{1.703} \times 158.328 = 92.97$$
 Km/ hr.----ec (III.3.33)

Para calcular la frecuencia natural de vibración n_{o,} se requiere, inicialmente suponer perfiles de la estructuración para cada tramo de la estructura. Con el objeto de tener una mejor conceptualización del diseño estructural se deben definir los criterios que nos ayuden a la mejor selección de los perfiles que serán utilizados durante el diseño, lo que implica conocer con exactitud las condiciones de trabajo de cada uno de los elementos estructurales y las cargas que les ocasionaran el mayor esfuerzo. Por ejemplo los miembros estructurales como las piernas y celosía se someten a diferentes esfuerzos como la tensión y la compresión, la flexión y el cortante en las placas de conexión, sobre esta base se proponen los siguientes perfiles indicados en la tabla III.3.8 para la primera solución estructural. Para la frecuencia natural de vibración se considera la masa de la estructura, antenas parabólicas, antenas celulares así como la masa de las plataformas de trabajo y de descanso,

todas estas masas actuando en la dirección X. (Ver capitulo de análisis estructural) Obteniéndose una frecuencia natural de vibración $n_o = 1.73237$ hz Por lo tanto para la frecuencia reducida se tiene de la expresión III.3.30 lo siguiente:

$$\frac{3.6n_o H}{V'_H} = \frac{3.6 \times 1.73237 \times 40}{92.97} = 2.683 - - - - \text{ec (III.3.34)}$$

Al entrar a la figura III.3 con el valor de la frecuencia reducida y el valor de la ecuación III.3.29, se obtiene un valor del factor de reducción por tamaño S = 0.041

Tabla No. III.3.8 Secciones de los elementos estructurales

TRAMO	ELEMENTO	SECCIÓN
		mm x mm
	Piernas	LI 152x22
1	mont diag	LI76x8
•	mont horz int	LI76x8
	mont horz ext	LI76x8
	Piernas	LI 152x22
2	mont diag	LI76x8
	mont horz int	LI64x8
	mont horz ext	LI76x8
	Piernas	LI 152x22
3	mont diag	LI76x8
3	mont horz int	LI64x6
	mont horz ext	LI76x8
	Piernas	LI 152x19
4	mont diag	LI76x8
4	mont horz int	LI64x6
	mont horz ext	LI76x8
	Piernas	LI 152x16
5	mont diag	LI76x8
3	mont horz int	
	mont horz ext	LI76x8
	Piernas	LI 152x14
6	mont diag	LI76x8
0	mont horz int	
	mont horz ext	LI76x8
	Piernas	LI 102x10
7	mont diag	LI64x6
,	mont horz int	
	mont horz ext	LI76x8
	Piernas	LI 76x8
8	mont diag	LI64x6
•	mont horz int	
	mont horz ext	LI64x6

III.3.17.- Factor de Relación de energía de ráfaga.

Este factor representa la relación de la energía de ráfaga con la frecuencia natural de la estructura.

Para obtener este factor es necesario evaluar la siguiente expresión

$$\frac{3.6n_o}{V_H}$$
 -----ec (III.3.35)

Al sustituir los valores obtenidos de no y V'_H en está ecuación se obtiene.

$$\frac{3.6n_o}{V'_H} = \frac{3.6 \times 1.73237}{92.97} = 0.067 - \text{ec (III.3.36)}$$

y con este valor de la figura III.3 se obtiene un factor de relación de energía de ráfaga E = 0.053

III.3.18.- Coeficiente de amortiguamiento critico.

El amortiguamiento representa la disipación de energía que la estructura realiza principalmente debido a la fricción interna de los materiales y al rozamiento entre los componentes de la estructura, en vibración libre se define como amortiguamiento critico aquel para el cual el sistema, después de desplazado volvería a su posición de reposo sin oscilar. El coeficiente de amortiguamiento critico, para estructuras formadas por marcos de acero es igual a ζ = 0.01

III.3.19.- Factor relacionado con la rugosidad del terreno

Es un factor de rugosidad que depende de las características de exposición El Manual proporciona la siguiente tabla para obtener este factor.

Tabla No. III.3.9 Factor relacionado con la rugosidad del terreno.

Categoría del	Factor relacionado
terreno	con la rugosidad del
	terreno
1	0.06
2	0.08
3	0.10
4	0.14

De la esta tabla se obtiene el factor relacionado con la rugosidad del terreno, para terrenos con categoría 3 es $k_r = 0.10$

III.3.20.- Factor correctivo por altura C_{α} ,

Este factor depende de las condiciones de exposición de la estructura en estudio. El factor de topografía se determino de acuerdo a la tabla III.3.4 este valor es $F_T = 1.0$ La altura gradiente se estableció conforme a la tabla III.3.2 y correspondió un $\delta = 390$ La altura total de la torre es igual a 40 m,

y α' se determina de acuerdo a la categoría del terreno. Ver la siguiente tabla

Tabla No. III.3.10 valores de α' según categoría de terreno

α'	categoria terreno	de
0.13	1	
0.18	2	
0.245	3	
0.31	4	

De acuerdo con esta tabla se tiene que $\alpha' = 0.245$, ya que la categoría del terreno es 3, por lo tanto de la ecuación III.3.5 se tiene lo siguiente.

$$C_{\alpha'} = (3.46) (1^2) (40/390)^{2 \times 0.245} = 1.134$$
 ----- ec (III.3.37)

III.3.21.- Variación de la carga debida a la turbulencia del viento,

Es una medida de la amplitud de las fluctuaciones de la variable.

Al sustituir los valores obtenidos del factor de excitación de fondo B, factor de reducción por tamaño S, Factor de Relación de energía de ráfaga E, el coeficiente de amortiguamiento critico ζ , el factor relacionado con la rugosidad del terreno y el factor $C_{\alpha'}$, en la ecuación para la variación de la carga debida a la turbulencia del viento III.3.3 se obtiene lo siguiente.

$$\frac{\sigma}{u} = \sqrt{\frac{0.10}{1.134} (1.29 + \frac{0.041 \times 0.053}{0.01})} = 0.365$$
 Si $10 < H < 390$ ----- ec (III.3.38)

III.3.22.- Factor pico o de defecto máximo de la carga por viento.

Este factor permite establecer el numero de desviaciones estándar por las que el valor pico excede su valor medio μ .

El factor pico g $_P$ se obtiene en función del coeficiente de rapidez de fluctuación promedio ν el cual se define mediante la siguiente expresión

$$\upsilon = n_o \sqrt{\frac{SE}{SE + \zeta \quad B}} \quad \text{Hz.-----} \text{ ec (III.3.39)}$$

Los términos que aparecen en esta formula ya se han establecido con anterioridad, al sustituirlos se obtiene lo siguiente.

$$\upsilon = 1.73237 \sqrt{\frac{0.041 \times 0.053}{0.041 \times 0.053 + 0.01 \times 1.29}} = 0.6578 - - - - \text{ec (III.3.40)}$$

Si entramos con este valor a la figura III.3, obtenemos un factor pico o de efecto máximo de la carga por viento g_p = 4.08.

III.3.23.- Factor de respuesta dinámica debida a ráfagas F_g

En el diseño de construcciones pertenecientes al tipo 2 como es el caso de la torre, se toman en cuenta los efectos dinámicos debidos a la turbulencia en la dirección del viento, En la mayoría de las construcciones comunes el factor de respuesta dinámica debida a ráfagas F_g puede ignorarse, no es así para las estructuras clasificadas como del tipo 2 (ver III.3.3.- clasificación de la estructura según su respuesta ante la acción del viento). El procedimiento propuesto para el cálculo de este factor se basa en la teoría de vibraciones aleatorias aplicada al problema del viento, este factor se determina con criterios probabilísticos para que represente la media más cierto numero de veces la desviación estándar de la respuesta, la ecuación esta en función de una serie de variables definidas a su vez con expresiones relativamente complejas por lo que para su cálculo como ya se vio se usaron ayudas de diseño.

Al sustituir los valores de las ecuaciones III.3.26, III.3.27 , III.3.38 y el valor de g_{p_i} en la ecuación III.3.2 se tiene para el factor de ráfaga lo siguiente:

$$F_g = \frac{1}{(1.946)^2} \left[1 + 4.08 \times 0.365 \right] = 0.658 \quad \text{si } H \le 10 - - - \text{ec (III.3.41)}$$

$$F_g = \frac{1}{(2.427Z^{-0.096})^2} \left[1 + 4.08 \times 0.365 \right] = 0.4226Z^{0.192} \quad \text{Si } 10 < Z < 390 - - - \text{ec (III.3.42)}$$

En la siguiente tabla se presentan los resultados de los valores del factor de ráfaga para los tramos y antenas de la estructura.

Tabla No. III.3.11 Factor de Ráfaga

Tabla 10. 111.5.11 Tactor de Raraga									
FACTOR DE RAFAGA									
TRAMO	Z (m)	Fg							
1	2.50	0.658							
2	7.80	0.658							
3	12.85	0.690							
4	17.75	0.734							
5	22.90	0.771							
6	27.90	0.801							
7	31.65	0.821							
8	36.65	0.844							
Fg para las altu	ras de ubicación	de las antenas							
1 39.00 0.854									
2	40.00	0.858							
3	30.00	0.812							

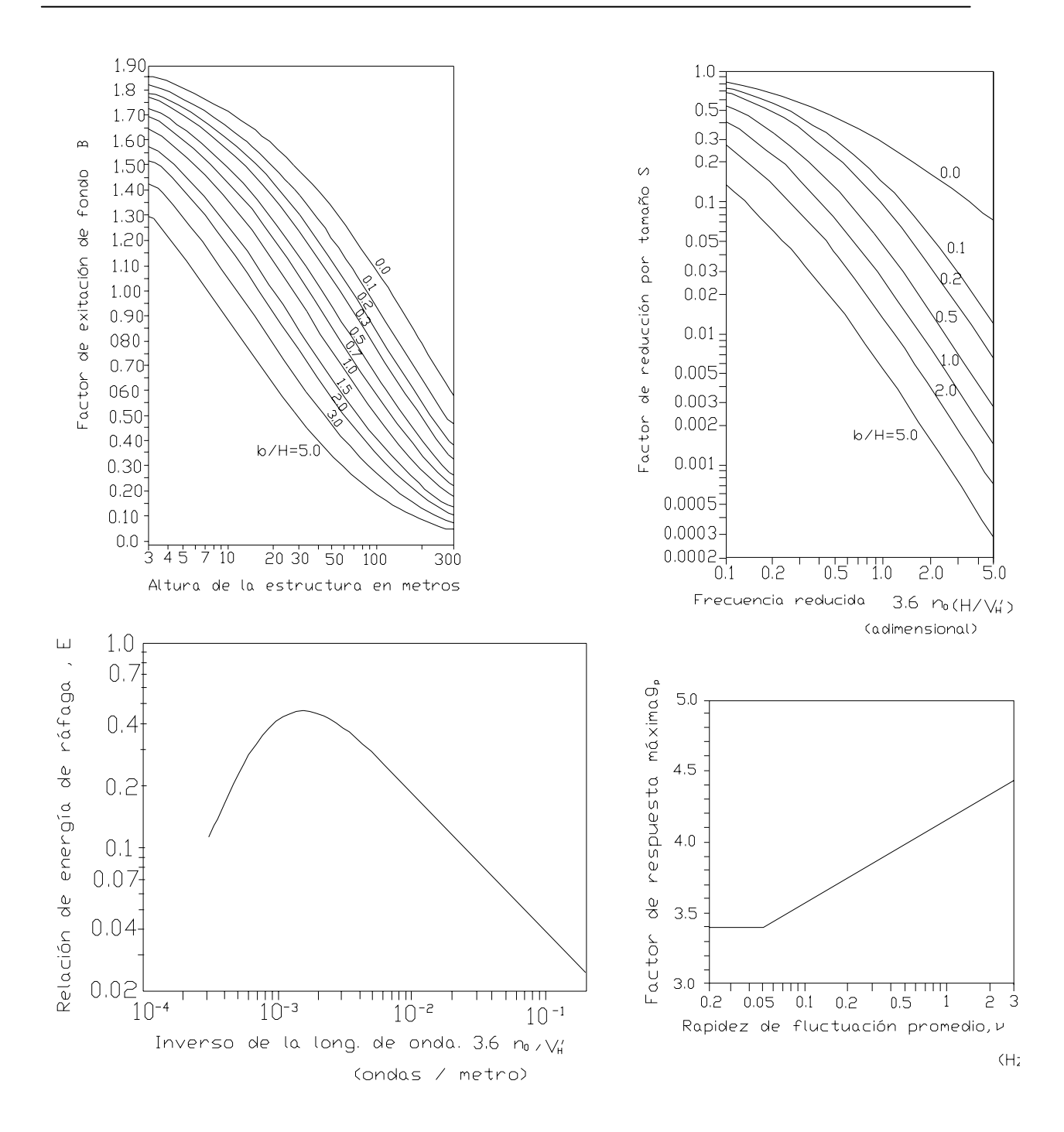


Figura No. 111.3 Parámetros para calcular el factor de respuesta dinámica

III.3.24.- Determinación del coeficiente de arrastre adimensional C_a

Este coeficiente depende de la forma de la estructura al aplicarlo se obtiene la presión total en la dirección del flujo del viento en la estructura, y se determina con las siguientes ecuaciones, validas solo para torres de sección cuadrada con miembros de lados planos.

$$C_a = 4.2 - 7\emptyset$$
 si $0 < \emptyset < 0.2$ ------- ec (III.3.43)

$$C_a = 3.5 - 3.5\emptyset$$
 si $0.2 \le \emptyset < 0.5$ ------ ec (III.3.44)

Para torres de sección cuadrada con miembros de sección transversal circular se tiene la tabla siguiente.

Tabla No. III.3.12 Coeficiente de arrastre Ca para torres de celosía de sección transversal cuadrada con miembros de sección transversal circular.

Solidez de la cara		Coeficiente de	e arrastre (Ca)			
	Partes de la	torre dentro	Partes de la	torre dentro		
	del flujo subci	ritico	del flujo supe	rcrítico		
frontal	$bV_D < 3 \text{ m}^2/\text{s}$		$bV_D \ge 6 \text{ m}^2/\text{s}$			
(ø)	Viento sobre	viento sobre	Viento sobre	viento sobre		
	una cara	una esquina	una cara	una esquina		
0.05	2.4	2.5	1.4	1.2		
0.1	2.2	2.3	1.4	1.3		
0.2	1.9	2.1	1.4	1.6		
0.3	1.7	1.9	1.4	1.6		
0.4	1.6	1.9	1.4	1.6		
≥ 0.5	1.4	1.9	1.4	1.6		

En donde b es el diámetro promedio de los elementos de sección circular en metros, V_D es la velocidad de diseño del viento convertida a m/s. Y para valores intermedios del producto b V_D se permite la interpolación lineal.

ø Es el coeficiente de solidez, el cual se define como el cociente entre la proyección sobre el plano normal al flujo del viento, de la suma de las áreas expuestas de todos los miembros estructurales que sean visibles perpendicularmente al plano de la cara de barlovento, y el área de la envolvente de dicha proyección, este coeficiente también toma en cuenta la obstrucción creada por las contracciones del flujo a través de los huecos.

Auxiliándonos de la figura III.3.1 se tiene:

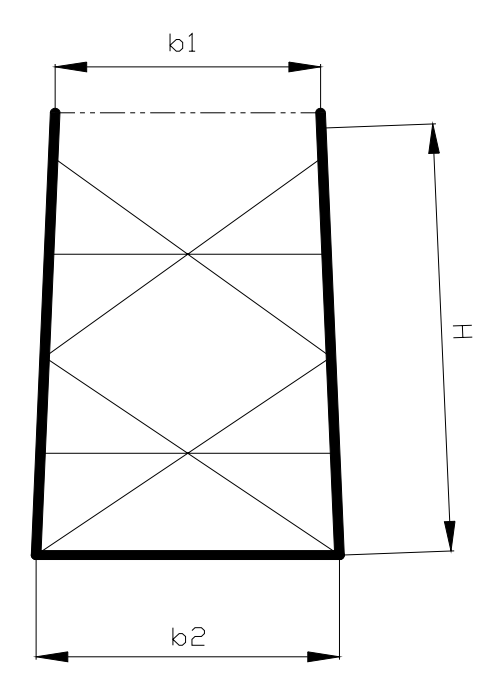


Figura No. III.3.1 Relación de solidez

$$\phi = \frac{2Ae}{(b1+b2)H}$$
 ----- ec (III.3.45)

En donde Ae es el área expuesta y (b1+b2)H/2 es el área total.

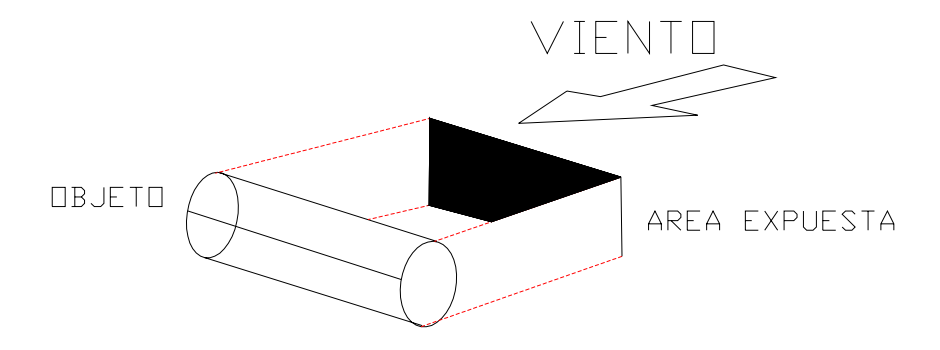


Figura No. III.3.2 Área expuesta de un perfil estructural

Para determinar este coeficiente se realiza la siguiente metodología.

- a) Se determinará solo una relación de solidez ø para cada tramo de la torre en estudio, considerando como área expuesta, la sumatoria de las áreas correspondientes a piernas, diagonales, montantes, cables, escalera, y en general, todo lo que represente un área de exposición sobre la cara de barlovento (cara expuesta directamente al flujo del viento)
- b) Las áreas serán calculadas para cada tramo definido por los montantes, separando el área total en área de miembros de sección transversal circular, y área de miembros de lados planos.
- c) Se calculará un coeficiente de arrastre C_a total que se utilizará en toda la sección considerada. Este coeficiente de arrastre se calculará con la siguiente ecuación:

Donde A_{planos} y A_{circular} incluyen la suma de todas las áreas de elementos planos y circulares consideradas en la torre: diagonales, celosía, montantes, etc.

Al aplicar esta ecuación se obtienen los coeficientes de arrastre que se utilizaran en los tramos de la torre.

Para el modelo 1 y 2 de la primera y segunda solución estructural con perfiles en las piernas de ángulo y PTR, conocido como OR en el manual del IMCA, se realiza el mismo procedimiento. Dado que estos perfiles son elementos de lados planos. Las fuerzas de viento se mantienen sin cambio. Se proponen los siguientes perfiles para el modelo 2. y modelo 3 sobre la base de lo expuesto en III.3.16 donde se seleccionaron los perfiles angulares para el modelo 1

Tabla No. III.3.13 Secciones de los elementos estructurales modelo 2

TRAMO	ELEMENTO	SECCCION
110 000	ELEMENTO	mm x mm
	Piernas	OR152x7.9
1	mont diag	LI76x8
· ·	mont horz int	LI76x8
	mont horz ext	LI76x8
	Piernas	OR152x7.9
2	mont diag	LI76x8
	mont horz int	LI64x6
	mont horz ext	LI76x8
	Piernas	OR152x7.9
3	mont diag	LI76x8
Ŭ	mont horz int	LI64x6
	mont horz ext	LI76x8
	Piernas	OR152x7.9
4	mont diag	LI76x8
	mont horz int	LI64x6
	mont horz ext	LI76x8
	Piernas	OR152x7.9
5	mont diag	LI76x8
Ŭ	mont horz int	
	mont horz ext	LI76x8
	Piernas	OR152x7.9
6	mont diag	LI76x8
Ŭ	mont horz int	
	mont horz ext	LI76x8
	Piernas	OR102x7.9
7	mont diag	LI64x6
'	mont horz int	
	mont horz ext	LI76x8
	Piernas	OR76x7.9
8	mont diag	LI64x6
	mont horz int	
	mont horz ext	LI64x6

Para el modelo 3 de la tercera solución estructural a base de perfiles tubulares en las piernas, conocido en el manual del IMCA como OC se proponen los siguientes perfiles estructurales.

Tabla No. III.3.14 Secciones de los elementos estructurales modelo 3

TRAMO	ELEMENTO	SECCCION
TRAIVIO	LLLIVILINIO	mm x mm
	Piernas	OC114X8.56
1	mont diag	LI76x8
!	mont horz int	LI76x8
	mont horz ext	LI76x8
	Piernas	OC114X8.56
2	mont diag	LI76x8
2	mont horz int	LI64x6
	mont horz ext	LI76x8
	Piernas	OC114X8.56
3	mont diag	LI76x8
3	mont horz int	LI64x6
	mont horz ext	LI76x8
	Piernas	OC114X8.56
4	mont diag	LI76x8
7	mont horz int	LI64x6
	mont horz ext	LI76x8
	Piernas	OC114X8.56
5	mont diag	LI76x8
3	mont horz int	
	mont horz ext	LI76x8
	Piernas	OC114X8.56
6	mont diag	LI76x8
U	mont horz int	
	mont horz ext	LI76x8
	Piernas	OC89X7.62
7	mont diag	LI64x6
,	mont horz int	
	mont horz ext	LI76x8
	Piernas	OC73X5.16
8	mont diag	LI64x6
	mont horz int	
	mont horz ext	LI64x6

Al tener ya definidas las secciones de los perfiles estructurales para los tres modelos, se continua con la obtención del área expuesta, la relación de solidez y el coeficiente de arrastre, la presión total y finalmente con todos estos datos la fuerza total que el flujo del viento ejerce sobre la estructura.

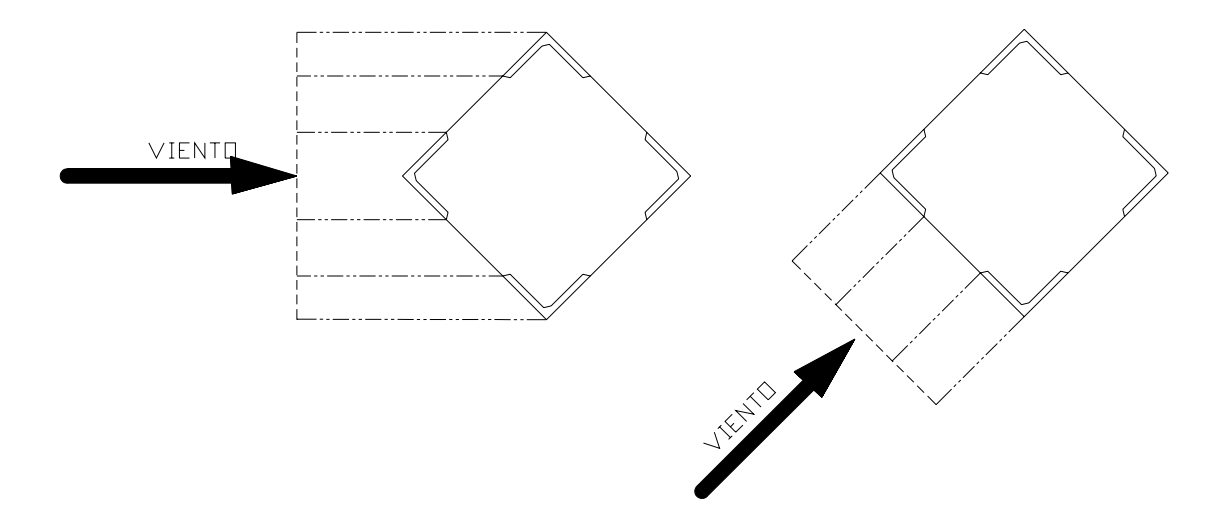


Figura No. III.3.3 Acción del flujo del viento cobre una cara y sobre una esquina.

III.3.25.- Calculo de áreas expuestas

El Manual de la CFE recomienda que las estructuras se analizaran suponiendo que el viento puede actuar por lo menos en dos direcciones horizontales perpendiculares e independientes entre si, dado que la sección de la torre es cuadrada las dos direcciones ortogonales resultan iguales para el calculo de las áreas expuestas , por lo que se calcularan las áreas expuestas para el viento que actúa sobre una esquina 45° y sobre una cara 90° (ver figura III.3.3), y se elegirá aquella que represente las condiciones mas desfavorables para la estabilidad de la estructura o parte de la misma en estudio.

Tabla No. III.3.15 Área expuesta a la acción del viento sobre una esquina modelo 1 y 2

TRAMO	ALTURA DEL TRAMO	LONGITUD DE PIERNAS	LONG. MONT DIAGONAL	LONG. MONT HORIZONTAL INTERIOR	LONGITUD MONT HORIZONTAL EXTERIOR	PERFIL PIERNAS	PERFIL MONT DIAGONAL	PERFIL. MONT HORIZONTAL INTERIOR	PERFIL. MONT HORIZONTAL EXTERIOR	AREA DE PIERNAS	AREA. MONT, DIAGONAL	AREA DE MONT HORIZONTAL INT.	AREA DE MONT HORIZONTAL EXT.	AREA TOTAL
	m	m	m	m	m	m	m	m	m	m^2	m^2	m^2	m^2	m^2
1	5.00	20.00	27.86	4.28	6.02	0.11	0.08	0.08	0.08	2.15	2.12	0.33	0.46	5.05
2	5.60	22.40	28.81	5.48	10.91	0.11	0.08	0.06	0.08	2.41	2.19	0.35	0.83	5.78
3	4.50	18.00	21.84	3.04	6.05	0.11	0.08	0.06	0.08	1.93	1.66	0.19	0.46	4.25
4	5.30	21.20	26.06	1.33	7.99	0.11	0.08	0.06	0.08	2.28	1.98	0.09	0.61	4.95
5	5.00	20.00	8.15	0.00	2.56	0.11	0.08	0.00	0.08	2.15	0.62	0.00	0.19	2.96
6	5.00	20.00	8.15	0.00	2.56	0.11	0.08	0.00	0.08	2.15	0.62	0.00	0.19	2.96
7	2.50	10.00	13.72	0.00	4.48	0.07	0.06	0.00	0.08	0.72	0.88	0.00	0.34	1.94
8	7.50	30.00	42.00	0.00	15.62	0.05	0.06	0.00	0.06	1.61	2.69	0.00	1.00	5.30

Tabla No. III.3.16 Área expuesta a la acción del viento sobre una cara modelo 1 y 2

TRAMO	ALTURA DEL TRAMO	LONGITUD DE PIERNAS	CELOSIA DE	LONGITUD DIAFRAGMA INTERIOR	LONGITUD DIAFRAGNA EXTERIOR	PERFIL PIERNAS	PERFIL CELOSIA	PERFIL DE DIAFRAGMA INTERIOR	PERFIL DE DIAFRAGMA EXTERIOR	AREA DE PIERNAS	AREA DE CELOSIA	AREA DE DIAFRAGMA INTERIOR	AREA DE DIAFRAGMA EXTERIOR	AREA TOTAL
	m	m	m	m	m	m	m	m	m	m^2	m^2	m^2	m^2	m^2
1	5.00	10.00	16.66	6.20	6.02	0.152	0.076	0.076	0.076	1.52	1.27	0.47	0.46	3.72
2	5.60	11.20	17.04	7.70	7.70	0.152	0.076	0.076	0.076	1.70	1.30	0.59	0.59	4.17
3	4.50	9.00	12.58	4.28	4.28	0.152	0.076	0.076	0.076	1.37	0.96	0.33	0.33	2.98
4	5.30	10.60	14.08	1.94	5.66	0.152	0.076	0.076	0.076	1.61	1.07	0.15	0.43	3.26
5	5.00	10.00	10.30	0.00	1.80	0.152	0.076	0.000	0.076	1.52	0.78	0.00	0.14	2.44
6	5.00	10.00	10.29	0.00	1.80	0.152	0.076	0.000	0.076	1.52	0.78	0.00	0.14	2.44
7	2.50	5.00	6.32	0.00	3.18	0.102	0.064	0.000	0.064	0.51	0.40	0.00	0.20	1.11
8	7.50	15.00	12.92	0.00	11.20	0.076	0.064	0.000	0.064	1.14	0.82	0.00	0.71	2.67

Tabla No. III.3.17 Área expuesta a la acción del viento sobre una esuina miembros de sección circular y planos modelo 3

	ADEA EVALUENTA A LA ACCIONIDEI MENTO CORRELINA FOCULINA													
<u> </u>	AREA EXPUESTA A LA ACCION DEL VIENTO SOBRE UNA ESQUINA													
TRAMO	ALTURA DEL TRAMO	LONGITUD DE PIERNAS	LONG. MONT DIAGONAL	LONG. MONT HORIZONTAL INTERIOR	LONGITUD MONT HORIZONTAL EXTERIOR	PERFIL PIERNAS TUBULAR	PERFIL MONT DIAGONAL	PERFIL. MONT HORIZONTAL INTERIOR	PERFIL. MONT HORIZONTAL EXTERIOR	AREA DE PIERNAS	AREA. MONT DIAGONAL	AREA DE MONT HORIZONTAL INT.	AREA DE MONT HORIZONTAL EXT.	AREA TOTAL
	m	m	m	m	m	m	m	m	m	m2	m2	m2	m2	m2
1	5.00	15.00	27.86	4.28	6.02	0.114	0.076	0.076	0.076	1.71	2.12	0.33	0.46	4.61
2	5.60	16.80	28.81	5.48	10.91	0.114	0.076	0.064	0.076	1.92	2.19	0.35	0.83	5.28
3	4.50	13.50	21.84	3.04	6.05	0.114	0.076	0.064	0.076	1.54	1.66	0.19	0.46	3.85
4	5.30	15.90	26.06	1.33	7.99	0.114	0.076	0.064	0.076	1.81	1.98	0.09	0.61	4.49
5	5.00	15.00	8.15	0.00	2.56	0.114	0.076	0.000	0.076	1.71	0.62	0.00	0.19	2.52
6	5.00	15.00	8.15	0.00	2.56	0.114	0.076	0.000	0.076	1.71	0.62	0.00	0.19	2.52
7	2.50	7.50	13.72	0.00	4.48	0.089	0.064	0.000	0.076	0.67	0.88	0.00	0.34	1.89
8	7.50	22.50	42.00	0.00	15.62	0.073	0.064	0.000	0.064	1.64	2.69	0.00	1.00	5.33

Tabla No. III.3.18 Área expuesta a la acción del viento sobre una cara miembros de sección circular y planos modelo 3

	AREA EXPUESTA A LA ACCION DEL VIENTO SOBRE UNA CARA													
TRAMO	ALTURA DEL TRAMO	LONGITUD DE PIERNAS	LONG. MONT DIAGONAL	LONG. MONT HORIZONTAL INTERIOR	LONGITUD MONT HORIZONTAL EXTERIOR	PERFIL PIERNAS TUBULAR	PERFIL MONT DIAGONAL	PERFIL. MONT HORIZONTAL INTERIOR	PERFIL. MONT HORIZONTAL EXTERIOR	AREA DE PIERNAS	AREA. MONT DIAGONAL	CONTAL	AREA DE MONT HORIZONTAL EXT.	
	m	m	m	m	m	m	m	m	m	m ²	m ²	m ²	m ²	m ²
1	5.00	10.00	16.66	6.20	6.02	0.114	0.076	0.076	0.076	1.14	1.27	0.47	0.46	3.34
2	5.60	11.20	17.04	7.70	7.70	0.114	0.076	0.076	0.076	1.28	1.30	0.59	0.59	3.74
3	4.50	9.00	12.58	4.28	4.28	0.114	0.076	0.076	0.076	1.03	0.96	0.33	0.33	2.63
4	5.30	10.60	14.08	1.94	5.66	0.114	0.076	0.076	0.076	1.21	1.07	0.15	0.43	2.86
5	5.00	10.00	10.30	0.00	1.80	0.114	0.076	0.000	0.076	1.14	0.78	0.00	0.14	2.06
6	5.00	10.00	10.29	0.00	1.80	0.114	0.076	0.000	0.076	1.14	0.78	0.00	0.14	2.06
7	2.50	5.00	6.32	0.00	3.18	0.089	0.064	0.000	0.064	0.45	0.40	0.00	0.20	1.05
8	7.50	15.00	12.92	0.00	11.20	0.073	0.064	0.000	0.064	1.10	0.82	0.00	0.71	2.63

Como puede observarse en las tablas anteriores la condición mas desfavorable se presenta, cuando el viento actúa en una esquina, debido a que la torre es de sección cuadrada, la fuerza de viento máxima actúa a 45° de la torre, por lo que las fuerzas de viento se incrementan en esa dirección.

Al aplicar las ecuaciones III.3.43, III.3.44, III.3.45 y los valores de las áreas de la tabla III.3.17 se obtiene el coeficiente de arrastre para los tramos de la torre, cabe hacer la aclaración de que este coeficiente de arrastre se calcula suponiendo que el viento actúa sobre una cara, pero atendiendo al Manual de la CFE el cual especifica que, para torres de celosía de sección transversal cuadrada con elementos de lados planos, el coeficiente de arrastre para el viento que actúa sobre una esquina deberá tomarse como 1.2 veces el coeficiente de arrastre correspondiente al viento que actúa sobre una cara. Estos resultados

se presentan en la siguiente tabla.

Tabla No. III.3.19 Coeficiente de arrastre Ca para los tramos de la estructura modelo 1 y 2

	-, -, -, -, -, -, -, -, -, -, -, -, -, -			- P-11-11-10-2		
	altura m	área	área sólida	relación de	coeficiente	coeficiente de
9		expuesta	(m^2)	solidez ø	de arrastre	arrastre sobre
tramo		(m ²)			sobre una	una esquina
					cara C _a	C_a
1	5.00	3.72	15.01	0.25	2.63	3.16
2	5.60	4.17	14.48	0.29	2.49	2.99
3	4.50	2.98	9.88	0.30	2.45	2.93
4	5.30	3.26	10.12	0.32	2.37	2.85
5	5.00	2.44	9.00	0.27	2.55	3.06
6	5.00	2.44	9.00	0.27	2.55	3.06
7	2.50	1.11	4.00	0.28	2.52	3.03
8	7.50	2.67	10.50	0.25	2.61	3.13

Para el modelo 3 se obtiene la relación de solidez y se asigna un coeficiente de arrastre para cada tipo de sección: plana o circular. Se deberá utilizar la tabla III.3.12 y las ecuaciones III.3.43 y III.3.44 atendiendo las notas correspondientes a las mismas, se obtiene la siguiente tabla.

Tabla No. III.3.20 Coeficientes de arrastre para miembros de sección circular y planos modelo 3

TRAMO	ALTURA DEL TRAMO	ANCHO DEL TRAMO INFERIOR	ANCHO DEL TRAMO SUPERIOR	AREA TOTAL	AREA EXPUESTA	RELACION DE SOLIDEZ	bV _D	COEFICIENTE DE ARRASTRE TUBO	COEFICIENTE DE ARRASTRE	COEFICIENTE DE ARRASTRE ANGULO
	m	m	m	m ²	m^2	Ø	m²/s	ver tabla III.3.12	sobre una cara	sobre una esquina
1	5.00	3.200	2.803	15.01	3.34	0.222	4.01	1.9	2.72	3.27
2	5.60	2.803	2.370	14.48	3.74	0.258	4.01	1.85	2.60	3.11
3	4.50	2.370	2.020	9.88	2.63	0.267	4.18	1.82	2.57	3.08
4	5.30	2.020	1.800	10.12	2.86	0.282	4.40	1.78	2.51	3.01
5	5.00	1.800	1.800	9.00	2.06	0.229	4.58	1.81	2.70	3.24
6	5.00	1.800	1.800	9.00	2.06	0.229	4.73	1.79	2.70	3.24
7	2.50	1.800	1.400	4.00	1.05	0.262	3.77	1.88	2.58	3.10
8	7.50	1.400	1.400	10.50	2.63	0.250	3.16	1.98	2.62	3.15

finalmente al aplicar la ecuación III.3.46 se obtiene el coeficiente de arrastre para cada tramo.

Tabla No. III.3.21 Coeficientes de arrastre para los tramos de la torre modelo 3

tramo	COEFICIENTE DE ARRASTRE SOBRE UNA CARA	COEFICIENTE DE ARRASTRE SOBRE UNA ESQUINA
	C_a	C_a
1	2.44	2.80
2	2.34	2.68
3	2.28	2.59
4	2.20	2.49
5	2.21	2.45
6	2.20	2.44
7	2.28	2.58
8	2.36	2.66

Para determinar las áreas expuestas en los accesorios se considera una escalera de un ancho de 40 cm., formada a base de ángulos LI 51 X 6 kg/m (perfil longitudinal) y redondos de 3/4", la cama guía de ondas se ubica dentro de la torre por lo que se van a sujetar perfiles LI 51 X5 a cada 1.5 metros en dirección perpendicular a la longitud de la escalera se tiene un ancho de 1.24 metros incluyendo la escalera, se considera el siguiente numero de cables para el área expuesta al viento: 13 cables de 7/8" lo cual nos da un área expuesta de 30 cm²

Por lo que para la escalera se considerara un área de $0.102~\text{m}^2/\text{m}$ y para la cama guía de ondas de $0.30~\text{m}^2/\text{m}...$

Cabe hacer la aclaración de que la escalera y guía de ondas involucran miembros de sección circular por lo que nos auxiliaremos de la tabla No. III.3.12 y de la ecuación III.3.45 de la relación de solidez, tomando el viento sobre una esquina y sobre una cara se obtienen los coeficientes de arrastre para la escalera y guiaondas, estos resultados se presentan en las siguientes tablas.

Tabla No. III.3.22 Coeficientes de arrastre Ca para la escalera.

	101111101 11	110122 0001	iciciites uc a	irrustre eu	para ra c	seurer at
	área	relación	área sólida		Sobre	sobre
2	expuesta	de solidez		bVD		una
tramo					una cara	esquina
	m²	Ø	m²	m²/s	C_a	C_a
1	0.50	0.03	15.01	5.35	1.62	1.48
2	0.56	0.04	14.48	5.35	1.62	1.48
3	0.45	0.05	9.88	5.57	1.54	1.39
4	0.53	0.05	10.12	5.87	1.45	1.26
5	0.50	0.06	9.00	6.11	1.40	1.21
6	0.50	0.06	9.00	6.31	1.40	1.21
7	0.25	0.06	4.00	6.43	1.40	1.23
8	0.75	0.07	10.50	6.59	1.40	1.24

Tabla No. II	I.3.23 Coefi	cientes de ar	rastre Ca pai	a guiaondas.
--------------	--------------	---------------	---------------	--------------

	área	relación	área		sobre	sobre
6	expuesta	de solidez	sólida	bVD		una
tramo					una cara	esquina
	m²	Ø	m²	m²/s	Ca	Ca
1	1.50	0.10	15.01	10.56	1.40	1.30
2	1.68	0.12	14.48	10.56	1.40	1.35
3	1.35	0.14	9.88	10.99	1.40	1.41
4	1.59	0.16	10.12	11.58	1.40	1.47
5	1.50	0.17	9.00	12.06	1.40	1.50
6	1.50	0.17	9.00	12.45	1.40	1.50
7	0.75	0.19	4.00	12.70	1.40	1.56
8	2.25	0.21	10.50	13.00	1.40	1.60

III.3.26.- Presión total en la dirección del viento

Una vez terminado lo anterior se procede a calcular la presión total en la dirección del viento haciendo uso de la ecuación No. III.3.1, y auxiliándonos de los cálculos ya realizados de la presión dinámica base (tabla III.3.6), el factor de ráfaga (tabla III.3.11) y los coeficiente de arrastre (tablas III.3.19, III.3.21, III.3.22 y III.3.23) se obtienen los siguientes resultados para la estructura, escalera y guiaondas.

Tabla No. III.3.24 Presión total sobre la estructura modelo 1 y 2

	Presión	Factor de	Coeficiente	Coeficiente	Presion total	Presion total
Q		respuesta	de arrastre	de arrastre	sobre una	sobre una
Tramo	dinámica base	respuesta	sobre una	sobre una	cara	esquina
_	q z	dinámica	cara	esquina	Pz	Pz
	(kg/m²)	Fg	C _a	C _a	(kg/m²)	(kg/m²)
1	76.78	0.658	2.63	3.16	133.00	159.60
2	76.78	0.658	2.49	2.99	125.89	151.07
3	83.20	0.690	2.45	2.93	140.44	168.53
4	92.26	0.734	2.37	2.85	160.79	192.95
5	100.09	0.771	2.55	3.06	196.94	236.33
6	106.62	0.801	2.55	3.06	217.92	261.51
7	111.01	0.821	2.52	3.03	230.00	276.00
8	116.35	0.844	2.61	3.13	256.28	307.53

Tabla No. III.3.25 Presión total en la estructura modelo 3

Tramo	Presión dinámica base	Factor de respuesta dinámica	Ceficiente de arrastre sobre una cara	Coeficiente de arrastre sobre una esquina	Presión total sobre una cara	Presión total sobre una esquina
-	qz	Fg				·
	kg/m²		C_a	C_a	kg/m²	kg/m²
1	76.78	0.658	2.44	2.80	123.2446	141.34
2	76.78	0.658	2.34	2.68	118.20	135.47
3	83.20	0.690	2.28	2.59	130.64	148.63
4	92.26	0.734	2.20	2.49	149.18	168.81
5	100.09	0.771	2.21	2.45	170.30	188.90
6	106.62	0.801	2.20	2.44	187.47	208.04
7	111.01	0.821	2.28	2.58	208.27	235.39
8	116.35	0.844	2.36	2.66	231.27	261.32

Tabla No. III.3.26 Presión total en la dirección del viento en escalera

	Presión	Factor de	Coeficiente	Coeficiente	Presion	Presion
9	dinámica	respuesta	de arrastre	de arrastre	total sobre	total sobre
Tramo	base	. copacota	sobre una	sobre una	una cara	una esquina
	q z	dinámica	cara	esquina	Ρz	Pz
	(kg/m²)	Fg	Ca	C _a	(kg/m²)	(kg/m²)
1	76.78	0.658	1.62	1.48	81.82	74.75
2	76.78	0.658	1.62	1.48	81.82	74.75
3	83.20	0.690	1.54	1.39	88.44	79.82
4	92.26	0.734	1.45	1.26	98.24	85.37
5	100.09	0.771	1.40	1.21	108.07	93.41
6	106.62	0.801	1.40	1.21	119.57	103.34
7	111.01	0.821	1.40	1.23	127.55	112.06
8	116.35	0.844	1.40	1.24	137.49	121.78

Tabla No. III.3.27 Presión total en la dirección del viento en guiaondas

	Presión	Factor de	Coeficiente	Coeficiente	Presion	Presion
o Q	dinámica	respuesta	de arrastre	de arrastre	total sobre	total sobre
Tramo	base	roopaoota	sobre una	sobre una	una cara	una esquina
	q z	dinámica	cara	esquina	Pz	Ρz
	(kg/m²)	Fg	Ca	Ca	(kg/m²)	(kg/m²)
1	76.78	0.658	1.40	1.30	70.71	65.66
2	76.78	0.658	1.40	1.35	70.71	68.18
3	83.20	0.690	1.40	1.41	80.40	80.97
4	92.26	0.734	1.40	1.47	94.86	99.60
5	100.09	0.771	1.40	1.50	108.07	115.79
6	106.62	0.801	1.40	1.50	119.57	128.11
7	111.01	0.821	1.40	1.56	127.55	142.12
8	116.35	0.844	1.40	1.60	137.49	157.14

III.3.27.- Fuerza total sobre la estructura

La fuerza sobre la estructura debida al flujo del viento, resultara de sumar la contribución de cada una de las fuerzas que actúa sobre el área expuesta o parte de ella a una altura Z. Al hacer uso de la ecuación No. III.3 y de los resultados de la presión total en la dirección del viento tablas III.3.24 a III.3.27, así como de la tablas de áreas expuestas III.3.15 a III.3.18 se obtiene la fuerza total sobre la estructura. Estos resultados se presentan en las siguientes tablas.

Tabla No. III.3.28 Fuerza total sobre la estructura sobre una cara modelo 1 y 2

	Pz	P _z	P _z	A _e	A _e Escalera		Fz	Fz	Fz	
Tramo	Estructura	Escalera	guiaondas	Estructura		Guiaondas	Estructura	Escalera	guiaondas	Fz total
	(kg/m²)	(kg/m²)	(kg/m²)	(m²)	(m²)	(m²)	(kg)	(kg)	(kg)	(t)
1	133.0	81.82	70.71	3.72	0.50	1.50	494.3	40.9	106.1	0.641
2	125.9	81.82	70.71	4.17	0.56	1.68	524.9	45.8	118.8	0.69
3	140.4	88.44	80.40	2.98	0.45	1.35	417.9	39.8	108.5	0.57
4	160.8	98.24	94.86	3.26	0.53	1.59	524.1	52.1	150.8	0.73
5	196.9	108.07	108.07	2.44	0.50	1.50	480.5	54.0	162.1	0.70
6	217.9	119.57	119.57	2.44	0.50	1.50	531.5	59.8	179.4	0.77
7	230.0	127.55	127.55	1.11	0.25	0.75	256.4	31.9	95.7	0.38
8	256.3	137.49	137.49	2.67	0.75	2.25	684.7	103.1	309.4	1.10

Tabla No. III.3.29 Fuerza total sobre la estructura sobre una esquina modelo 1 y 2

Tramo	P _z Estructura	P _z Escalera	P _z guiaondas	A _e Estructura	A _e Escalera	A _e Guiaondas	Fz Estructura	Fz Escalera	Fz guiaondas	Fz total
	(kg/m²)	(kg/m²)	(kg/m²)	(m²)	(m²)	(m²)	(kg)	(kg)	(kg)	(t)
1	159.6	74.75	65.66	5.05	0.50	1.50	806.0	37.4	98.5	0.942
2	151.1	74.75	68.18	5.78	0.56	1.68	872.7	41.9	114.5	1.03
3	168.5	79.82	80.97	4.25	0.45	1.35	716.1	35.9	109.3	0.86
4	192.9	85.37	99.60	4.95	0.53	1.59	955.4	45.2	158.4	1.16
5	236.3	93.41	115.79	2.96	0.50	1.50	700.4	46.7	173.7	0.92
6	261.5	103.34	128.11	2.96	0.50	1.50	775.0	51.7	192.2	1.02
7	276.0	112.06	142.12	1.94	0.25	0.75	535.4	28.0	106.6	0.67
8	307.5	121.78	157.14	5.30	0.75	2.25	1629.9	91.3	353.6	2.07

Tabla No. III.3.30 Fuerza total en la estructura sobre una cara modelo 3

	PZ	Ρz	Pz	Аe	Аe	Аe	Fz	Fz	Fz	Fz total
Tramo	Estructura	Escalera	guiaondas	Estructura	Escalera	Guiaondas	Estructura	Escalera	guiaondas	
	(kg/m2)	(kg/m2)	(kg/m2)	(m2)	(m2)	(m2)	(kg)	(kg)	(kg)	(t)
1	123.24	81.82	70.71	3.34	0.50	1.50	411.16	40.91	106.06	0.56
2	118.20	81.82	70.71	3.74	0.56	1.68	442.51	45.82	118.79	0.61
3	130.64	88.44	80.40	2.63	0.45	1.35	344.05	39.80	108.54	0.49
4	149.18	98.24	94.86	2.86	0.53	1.59	426.12	52.07	150.82	0.63
5	170.30	108.07	108.07	2.06	0.50	1.50	350.75	54.04	162.11	0.57
6	187.47	119.57	119.57	2.06	0.50	1.50	385.97	59.79	179.36	0.63
7	208.27	127.55	127.55	1.05	0.25	0.75	218.65	31.89	95.66	0.35
8	231.27	137.49	137.49	2.63	0.75	2.25	607.47	103.12	309.36	1.02

Tabla III.3.31 Fuerza total en la estructura sobre una esquina modelo 3

	P _z	Pz	Pz	A e Estructura	A e	A _e	Fz	Fz	Fz	Fz total
Tramo	Estructura	Escalera	guiaondas		Escalera	Guiaondas	Estructura	Escalera	guíaondas	
	(kg/m²)	(kg/m²)	(kg/m²)	(m²)	(m²)	(m²)	(kg)	(kg)	(kg)	(t)
1	141.34	74.75	65.66	4.61	0.50	1.50	651.59	37.38	98.49	0.79
2	135.47	74.75	68.18	5.28	0.56	1.68	715.92	41.86	114.55	0.87
3	148.63	79.82	80.97	3.85	0.45	1.35	572.76	35.92	109.31	0.72
4	168.81	85.37	99.60	4.49	0.53	1.59	757.21	45.25	158.36	0.96
5	188.90	93.41	115.79	2.52	0.50	1.50	476.77	46.70	173.69	0.70
6	208.04	103.34	128.11	2.52	0.50	1.50	525.09	51.67	192.17	0.77
7	235.39	112.06	142.12	1.89	0.25	0.75	443.95	28.01	106.59	0.58
8	261.32	121.78	157.14	5.33	0.75	2.25	1,392.9	91.34	353.56	1.84

III.3.28.- Antenas parabólicas.

Debido a que no existe una normatización en nuestro país para asignar coeficientes de arrastre para este tipo de equipo, las fuerzas de viento se calcularán directamente a partir de las medidas experimentales tomadas por los fabricantes del equipo. La información técnica correspondiente. (Catálogos SCALA, DECIBEL y EMS para antenas celulares y Catálogo 38 de Andrew Corporation en el caso de parábolas). En donde se señala que los datos indicados en estos, están basados en investigaciones realizadas en túneles de viento y se pueden aplicar a cualquier tamaño de antena y a cualquier velocidad del viento.

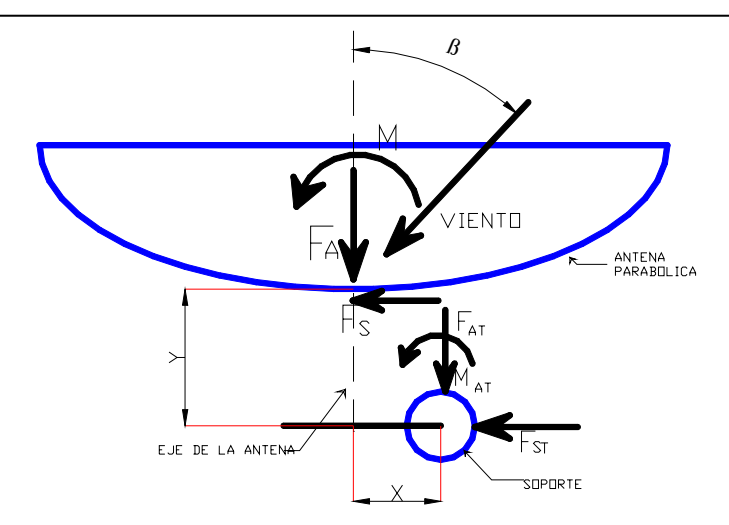


Figura No-III.3.4 Acción del viento sobre antenas parabólicas

En este documento se indica como la fuerza del viento puede ser descompuesta en dos fuerzas componentes y un momento como se muestra en la figura No.III.3.4

En esta figura la fuerza axial $\mathbf{F_A}$ actúa a lo largo del eje de la antena, la fuera lateral $\mathbf{F_S}$ actúa perpendicular al eje de la antena con su línea de acción pasando a través del vértice de la parábola y el momento \mathbf{M} es un par que actúa en el plano horizontal (plano del viento) al vértice del reflector.

El momento total M_{AT} actúa en el punto soporte donde se apoya la antena, la magnitud de F_A , F_S y M dependen de la proyección del área de la antena y de las características aerodinámicas de la misma, estas características varían con el ángulo del viento. Es conveniente expresar la variación de F_A , F_S y M en términos de los siguientes coeficientes.

$$C_A = \frac{F_A}{A V_D^2}$$
 -----ec. (III.3.47)

$$C_S = \frac{F_S}{A V_D^2}$$
 -----ec. (III.3.48)

$$C_M = \frac{M}{D A V_D^2}$$
 ----ec. (III.3.49)

Donde $C_{A,}C_{S}\,\,$ y $C_{m}\,\,$ son los coeficientes del elemento mecánico respectivo.

A el área frontal de la antena y V_D la velocidad de diseño a la altura de ubicación de las antenas.

Los coeficientes C_{A_1} C_{S_2} y C_{m_1} dependen del ángulo de acción del viento y pueden ser determinados a partir de la tabla III.3.32 contenida en el boletín Andrew antes mencionado.

Tabla No. III.3.32 Coeficientes de carga para las antenas estándar

Angulo del viento	C_A	C_{S}	C_{M}
$0_{\rm O}$	0.07341	0	0
45 [°]	0.07710	0.002311	-0.00290
90°	-0.00056	0.01627	0.00621
135 ^o	-0.02468	0.02163	0.00658
180 ^O	-0.04992	0	0

(Tabla obtenida del programa antwind de andrew corporation)

Ahora bien refiriéndonos a la figura No.III.3.4, el momento total y las fuerzas actuantes en el punto de soporte de la antena pueden determinarse por las siguientes expresiones.

$$F_{AT} = F_{A}$$
-----ec (III.3.50)

$$F_{ST} = F_S$$
 -----ec. (III.3.51)

$$M_{AT} = M + F_A(X) + F_S(Y)$$
 -----ec. (III.3.52)

Donde X es la excentricidad del eje de la antena al montaje del tubo. Y la distancia sobre el eje reflector desde el vértice del reflector al centro del montaje del tubo.

Si se recuerda que en la torre se instalaran 6 antenas parabólicas 3 de 0.6 m de diámetro (2 ft) a los 40 m de altura y 3 de 0.9 m de diámetro (3 ft) a los 30 m de altura.

Para los dos tipos de parábolas se tiene, X= 0.292m ; Y= 0.108m, estos valores pueden variar de acuerdo al diseño del tipo de soportes.

Al utilizar los datos obtenidos de la velocidad de diseño de la tabla No. III.3.6, en donde se calculo que a los 40 m la velocidad de diseño es 158.21 Km/hr (98.31 mph) y a los 30 metros es de 151.09 Km/hr (93.9mph). Y que para nuestro análisis se consideraran dos antenas de frente a la acción del viento 0º y una a 45º entonces se tiene lo siguiente.

De la tabla III.3.32 para un ángulo de 0^0 $C_A = 0.07341$, $C_S = 0$ y $C_M = 0$. Y para un ángulo de 45^0 $C_A = 0.07710$, $C_S = 0.002311$ y $C_M = -0.00290$ Al despejar F_A , F_S y M de las ecuaciones III.3.47, III.3.48 y III.3.49 y al sustituir los valores de C_A , C_S , C_m , A y V_D se obtiene la siguiente tabla de resultados.

Tabla No. III.3.33 Fuerzas en las antenas 0.6 m de diámetro

Antenas	Vel. Diseño	area	C_A	C_{S}	C_{M}	F_A	Fs	M	F_{A}	F_S	M
	Km/h	m^2				N	N	N-m	kg	kg	kg-m
2 MW 0,6m (2 a 0°)	158.21	0.2919	0.0734	0	0	536	0	0	54.68	0.00	0.00
1 MW 0,6m (a 45°)	158.21	0.2919	0.0771	0.0023	-0.0029	563	16.8852	-12.726	57.42	1.72	-1.30

Tabla No. III.3.34 Fuerzas en las antenas 0.9 m de diámetro

Antenas	Vel. Diseño	area	C_A	C_S	C_{M}	F_{A}	Fs	M	F_A	F_S	M
	Km/h	m^2				N	N	N-m	kg	kg	kg-m
2 MW 0,9m (2 a 0°)	151.09	0.639	0.0734	0	0	1071	0	0	109.13	0	0
1 MW 0,9m (a 45°)	151.09	0.639	0.0771	0.0023	-0.0029	1124.4	33.70	-38.10	114.615	3.435	-3.884

III.3.29.- Descomposición de fuerzas de viento sobre las antenas, en las direcciones de análisis

Estas fuerzas obtenidas son las producidas por la acción del viento sobre las parábolas, sin Embargo es necesario descomponerlas en las direcciones de análisis X y Z, auxiliándonos de la figura No.III.3.5 se tiene lo siguiente para las antenas de 0.6 m de diámetro.

En la dirección +X

$$54.68 \times 2 + 57.42 \cos 45^{\circ} + 1.72 \cos 45^{\circ} = 151.18 \text{ Kg}.$$

En la dirección –Z

$$57.42 \cos 45^{\circ} - 1.72 \cos 45^{\circ} = 39.38 \text{ Kg}.$$

Y de la ecuación 4.8 se tiene.

$$M1 = 54.68 \times 0.292 \times 2 = 31.92 \text{ kg-m}$$

$$M2 = -1.30 + 57.42 \times 0.292 + 1.72 \times 0.108 = 15.65 \text{ kg-m}$$

$$M_{TOTAL} = M1 + M2 = 31.92 + 15.65 = 47.57 \text{ kg-m}$$

Análogamente para las antenas de 0.9 m de diámetro se tiene lo siguiente.

En la direccion +X

$$109.13 \times 2 + 114.615 \cos 45^{\circ} + 3.435 \cos 45^{\circ} = 301.7 \text{ kg}.$$

En la dirección –Z

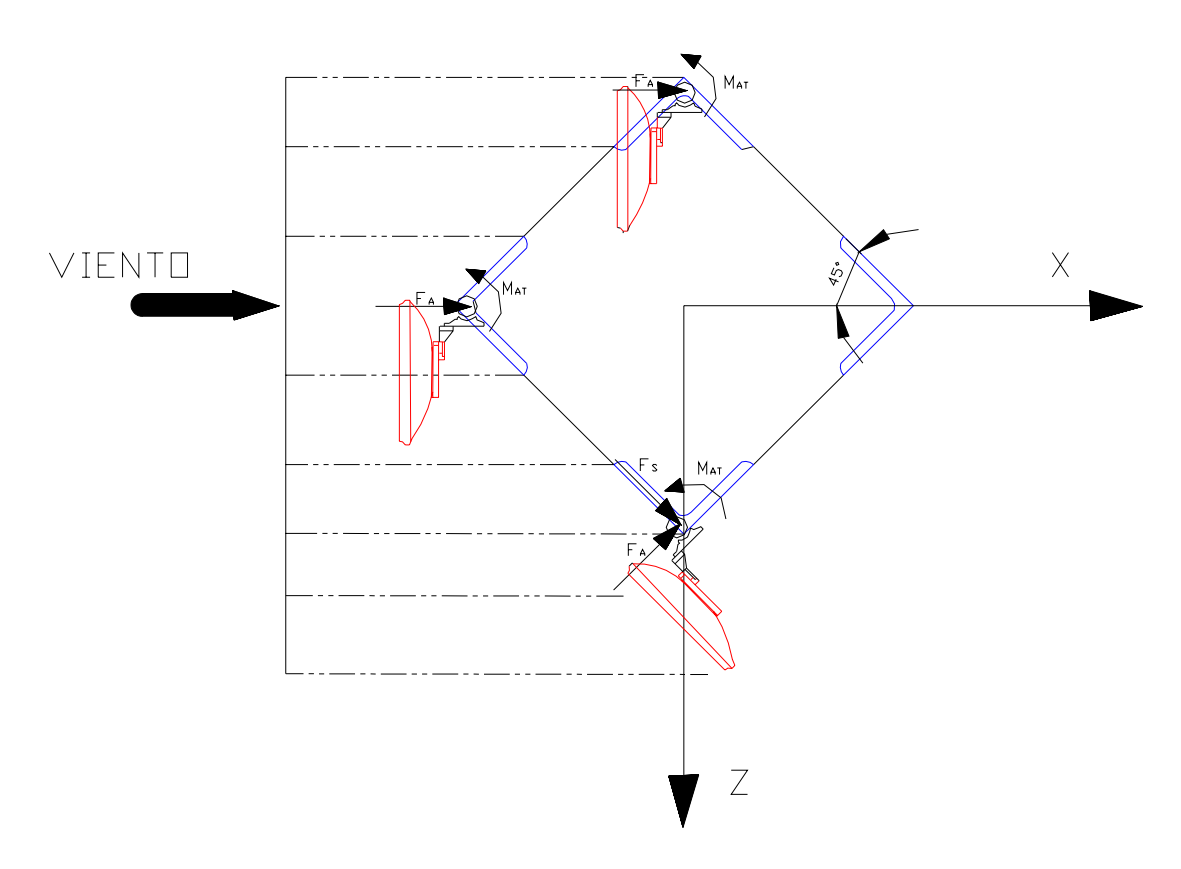
$$114.615 \cos 45^{\circ} - 3.435 \cos 45^{\circ} = 78.616 \text{ kg}$$

Y de la ecuación 4.8 se tiene.

$$M3 = 109.13 \times 0.292*2 = 63.73 \text{ kg-m}$$

$$M4 = -3.884 + 114.615 \times 0.292 + 3.435 \times 0.108 = 29.95 \text{ kg-m}$$

$$M_{TOTAL} = M3 + M4 = 63.73 + 29.95 = 93.68 \text{ kg-m}$$



Planta.

Figura No.III.3.5 Descomposición de fuerzas en las direcciones de análisis.

III.3.30.- Antenas celulares.

Se considerarán 9 antenas celulares, Para el cálculo de las fuerzas de viento pero atendiendo a las Normas Telcel en su documento "Normas y criterios para el análisis y diseño de torres". Sólo se considerarán las correspondientes a un frente de la torre es decir, 5 antenas en exposición directa a la acción del viento. Las áreas de exposición se calcularán con las dimensiones reales proporcionadas por el fabricante.

Al hacer uso de las ecuaciones III.3 y III.3.1 de la fuerza total y presión total en la dirección del viento y auxiliándonos de las tablas III.3.6, III.3.11 de la presión dinámica base, factor de ráfaga respectivamente se tiene lo siguiente.

Tabla No. III.3.35 Fuerzas en las antenas celulares

ANTENAS	PIEZAS	ALTURA M	AREA M ²	q _z (kg/m2)	C_A	F_g	P _z kg/m2	F _z Total kg
RF'S	9	39.00	0.32	118.685	1.20	0.854	121.66	194.7

III.4.- Carga por sismo.

El procedimiento que se utiliza para determinar el espectro para diseño sísmico, son los requisitos generales aplicables al diseño de estructuras sometidas a la excitación de un sismo y se consideran como mínimos indispensables. El procedimiento y lineamientos que se siguen son los que se especifican en el Manual De Diseño De Obras Civiles (C.F.E.) Sección C, Tema 1 Criterios de Diseño; Capitulo 3 Diseño por Sismo, Edición 1993., Así mismo se usan las ecuaciones y constantes que en este se indican.

De forma análoga al diseño por viento, en el diseño por sismo es necesario asignarle diferentes clasificaciones a la estructura para a partir de estas obtener sus parámetros de diseño.

III.4.1.- Clasificación de la estructura según su destino.

Por ser una estructura que requiere un grado de seguridad alto, siendo una construcción cuya falla estructural causaría la pérdida de un gran número de vidas así como perdidas económicas y de comunicación, la transmisión de datos o señales para el funcionamiento de otro grupo de estructuras como la operación de plantas termoeléctricas, hidro- eléctricas, nucleares, centrales telefónicas, e inmuebles de tele-comunicaciones. Bajo estas condiciones se considera a la estructura dentro del **GRUPO A** (inciso 3.2.2)

III.4.2.- Clasificación de la estructura según su estructuración.

Atendiendo las características estructurales que influyen en la respuesta sísmica de la estructura, estas construcciones son de **Tipo 1**, las cuales corresponden a estructuras en que las fuerzas laterales se resisten por marcos continuos contraventeados o no. (Inciso 3.2.3)

III.4.3.- Clasificación del tipo de terreno según su estratigrafía.

Atendiendo la respuesta del sitio ante excitación sísmica se adopta una clasificación de terreno de cimentación según su estratigrafía, que a profundidades menores de 3 metros existen estratos rocosos o de suelo muy compacto, este tipo de terreno se clasifica en dicho Manual como de **Tipo I** (inciso 3.1.2)

III.4.4.- Método de análisis.

Para el análisis sísmico de estructuras tipo I se puede recurrir a tres métodos: A) Método simplificado, B) Análisis estático y C) Análisis dinámico. El método simplificado solo es aplicable a estructuras con altura no mayor de 13 m. las estructuras que no sobrepasen de

60 m de alto se pueden analizar con el método estático y para alturas superiores a 60 m es forzoso aplicar el método dinámico.

En este trabajo aplicaremos el método estático el cual consiste en lo siguiente.

La determinación de la fuerza lateral total es decir del cortante en la base para después distribuir este cortante en fuerzas concentradas a diferentes alturas de la estructura, obtenidas suponiendo que esta va a vibrar esencialmente en su primer modo natural.(figura No.III.4)

La fuerza lateral que actúa en el centro de masa del nivel i se calcula con la siguiente ecuación.-

$$F_s = Wi \ Hi \left[\frac{\sum Wi}{\sum Wi \ Hi} \right] C_s$$
 ----- ec (III.4) En donde i representa el

numero de masas concentradas igual al numero de tramos de la torre. Obtenida suponiendo que la distribución de aceleraciones en los diferentes niveles de la estructura es lineal partiendo de cero en la base hasta un máximo en la punta.

La fuerza cortante basal se determina como $V = C_s W$ -----ec (III.4.1)

En donde W es el peso total de la estructura, C_s Es el coeficiente de cortante basal, para cuya determinación existen dos opciones, la primera 1) Sin calcular el periodo natural y 2) Calculando el periodo natural.

Si no se calcula el periodo natural de la estructura se tiene lo siguiente:

$$C_S = c/Q$$
----- ec (III.4.2)

En donde Q es el factor de comportamiento sísmico del tipo de estructuración, para estructuras tipo 1 como este caso corresponde un Q = 2

c es el coeficiente sísmico, varía según el riesgo sísmico del sitio, según el tipo de suelo y según la importancia de la construcción, y puede determinarse mediante la tabla tabla III.4

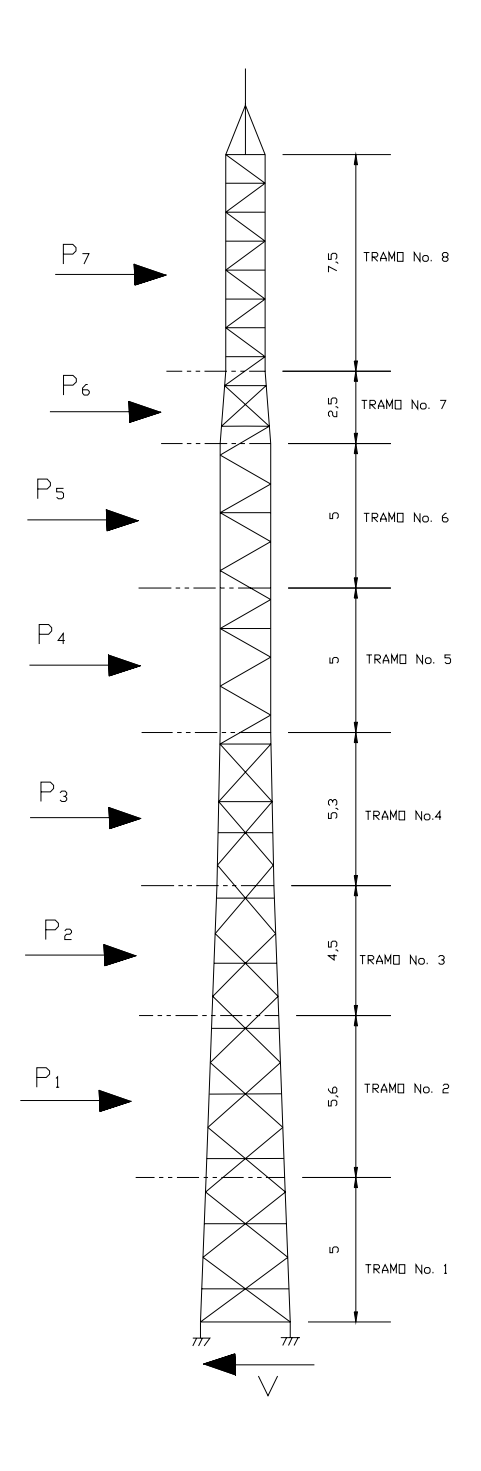


Figura No.III.4 Fuerzas sísmicas en la torre

Zona sismica de la Republica Mexicana	Tipo de suelo	a ₀	С	T _a (s)	T _b (s)	r
	I (Terreno Firme) II (Terreno de	0.02	0.08	0.2	0.6	1/2
Zona A	Transicion) III (Terreno	0.04	0.16	0.3	1.5	2/3
	Compresible)	0.05	0.2	0.6	2.9	1
	ļ	0.04	0.14	0.2	0.6	1/2
Zona B	II	0.08	0.3	0.3	1.5	2/3
	III	0.1	0.36	0.6	2.9	1
	I	0.36	0.36	0.0	0.6	1/2
Zona C	II	0.64	0.64	0.0	1.4	2/3
	III	0.64	0.64	0.0	1.9	1
		0.5	0.5	0.0	0.6	1/2
Zona D	II	0.86	0.86	0.0	1.2	2/3
	III	0.86	0.86	0.0	1.7	1

Tabla No. III.4 Espectros de diseño para estructuras del grupo B

III.4.5.- Regionalización sísmica para la estructura.

Con base a un estudio de riesgo sísmico, se encontró que la República Mexicana se considera dividida en cuatro zonas, designadas con las letras de la A a la D en orden creciente de riesgo sísmico Fig. 3.1 (esta figura esta contenida en el Manual). La torre se localiza en las costas del pacifico Mexicano. Por lo tanto según esta figura le corresponde la **Zona D-**(inciso 3.3.1) ---

Y como se clasifico el suelo como tipo 1, los parámetros del espectro son:

$$a_0 = 0.5$$
; $c = 0.5$; $T_a = 0.0$; $T_b = 0.6$; $r = 0.5$

Si se sustituye c = 0.5 en la ecuación III.4.2 se tiene.

 $C_S = 0.5/2 = 0.25$, y como la tabla III.4 solo es valida para estructuras del grupo B, y que para estructuras del grupo A estos valores se deben multiplicar por 1.5 para tomar en cuenta la importancia de la estructura.

Si se calcula el periodo natural de vibración, el Manual proporciona la siguiente formula.

$$T = 2\pi \left[\frac{\sum Wi \ Xi^2}{g \sum Fi \ Xi} \right]^{\frac{1}{2}}$$
-----ec (III.4.3) en donde:

Wi es el peso de la mása i

Fi la fuerza horizontal que actúa en ella.

Xi el desplazamiento correspondiente en la dirección de Fi y g la aceleración de gravedad.

Si en vez de utilizar esta ecuación, se recuerda que en el capitulo de cargas por viento, en la determinación del factor de ráfaga se determino la frecuencia natural de vibración = 1.733 cps entonces, el periodo natural de vibración T = 1/1.733 = 0.577 seg.

Como $T_a = 0.0 < T = 0.577 < T_b = 0.6$, no se admiten reducciones al coeficiente sísmico C_S , por lo tanto se tomara igual 0.25.

Finalmente al sustituir los valores obtenidos la ecuación III.4 obtenemos

$$F_S = Wi \ Hi \left[\frac{\sum Wi}{\sum Wi \ Hi} \right] \frac{c}{Q} F_a$$
 ----- ec (III.4.4)

Donde $c/Q = 0.25 \text{ y } F_a = 1.5.$

La fuerza sísmica será aplicada sobre los elementos estructurales del tramo en cuestión de manera uniforme tomando en cuenta la regularidad geométrica y estructural de la torre.

III.4.6.- Determinación de cargas.

Para el cálculo de los pesos de los perfiles estructurales se consulto el Manual de construcción en acero del IMCA

Tabla No. III.4.1 Cargas de accesorios y perfiles estructurales

Cargas sobre la torre							
Plataformas de desca	Plataformas de descanso y trabajo						
Antena parabólica 0.6	50	kg					
Antena parabólica 0.9	70	kg					
Antena celular	40	kg					
Escalera + Guia de o	ndas (incluyendo cables)	30	kg/m				
Celosía de ángulo	L 3 X 3 X 5/16"	9.08	kg/m				
Celosía de ángulo	L 2 1/2 X 2 1/2 X 1/4"	6.10	kg/m				
Piernas ángulo	L 6 X 6 X 7/8"	49.26	kg/m				
Piernas ángulo	L 6 X 6 X 3/4"	42.71	kg/m				
Piernas ángulo	L 6 X 6 X 5/8"	37.65	kg/m				
Piernas ángulo	L 6 X 6 X 9/16"	32.59	kg/m				
Piernas ángulo	L 4 X 4 X 3/8"	14.58	kg/m				
Piernas ángulo	L 3 X 3 X 5/16"	9.08	kg/m				

III.4.7.- Pesos de la estructura por tramos.

Los pesos de los tramos se calculan multiplicando los elementos existentes en cada tramo por los valores de la tabla III.4.1

Tabla No. III.4.2 Peso tramo 8

PESO DE LA	A ESTRUCTURA TRAMO 8	3	PESO
			t
Escalera + Guia de ond	0.23		
Celosía de ángulo	L 3 X 3 X 5/16"	90.88 m	0.83
Piernas ángulo	L 3 X 3 X 5/16"	30 m	0.18
Antena parabólica 0.6 n	n de diámetro	3.0 pzas	0.15
Antena celular		9.0 pzas	0.36
Plataforma de trabajo		2.0 pzas	0.69
	PESO TOTAL	TRAMO 8 =	2.43

Tabla No. III.4.3 Peso tramo 7

_				
PESO DE	LA ESTRUCTURA TRAMO 7	,		PESO
	t			
Escalera + Guia de oi	0.08			
Celosía de ángulo	L 3 X 3 X 5/16"	12.72	m	0.12
Celosía de ángulo	L 2 1/2 X 2 1/2 X 1/4"	25.8	m	0.16
Piernas ángulo	L 4 X 4 X 3/8"	10	m	0.15
Antena parabólica 0.9	0.21			
	PESO TOTAL	TRAM	07=	0.70

Tabla No. III.4.4 Peso tramo 6

PESO DE LA	PESO DE LA ESTRUCTURA TRAMO 6					
	t					
Escalera + Guia de ond	0.15					
Celosía de ángulo	L 3 X 3 X 5/16"	48.36	m	0.44		
Piernas ángulo	L 6 X 6 X 9/16"	20	m	0.65		
	O 6 =	1.24				

Tabla No. III.4.5 Peso tramo 5

PESO DE LA	PESO DE LA ESTRUCTURA TRAMO 5						
	t						
Escalera + Guia de ond	5.0	m	0.15				
Celosía de ángulo	L 3 X 3 X 5/16"	48.36	m	0.44			
Piernas ángulo	L 6 X 6 X 5/8"	20	m	0.75			
Plataforma de descanso	1	pza	0.345				
	PESO TOTAL	L TRAM	05=	1.69			

Tabla No. III.4.6 Peso tramo 4

PESO DI	PESO DE LA ESTRUCTURA TRAMO 4					
	t					
Escalera + Guia de or	m	0.16				
Celosía de ángulo	L 3 X 3 X 5/16"	72.72	m	0.66		
Celosía de ángulo	L 2 1/2 X 2 1/2 X 1/4"	5.33	m	0.03		
Piernas ángulo	L 6 X 6 X 3/4"	21.2	m	0.91		
Plataforma de descanso 1 pz			pza	0.35		
	PESO TOTAL	TRAM	O 4 =	2.10		

Tabla No. III.4.7 Peso tramo 3

PESO DE LA ESTRUCTURA TRAMO 3				PESO
				t
Escalera + Guia de ondas (incluyendo cables) 4.5 m			0.14	
Celosía de ángulo	L 3 X 3 X 5/16"	67.44	m	0.61
Celosía de ángulo	L 2 1/2 X 2 1/2 X 1/4"	12.16	m	0.07
Piernas ángulo	L 6 X 6 X 3/4"	18.02	m	0.77
PESO TOTAL TRAMO 3 =			1.59	

Tabla No. III.4.8 Peso tramo 2

PESO DE LA ESTRUCTURA TRAMO 2				PESO
				t
Escalera + Guia de ondas (incluyendo cables)			m	0.17
Celosía de ángulo	L 3 X 3 X 5/16"	99.04	m	0.90
Celosía de ángulo	L 2 1/2 X 2 1/2 X 1/4"	20.96	m	0.13
Piernas ángulo	L 6 X 6 X 7/8"	22.42	m	1.10
Plataforma de descanso		1	pza	0.35
PESO TOTAL TRAMO 2=			2.64	

Tabla No. III.4.9 Peso tramo 1

PESO DE LA ESTRUCTURA TRAMO 1				PESO
				t
Escalera + Guia de ondas (incluyendo cables)			m	0.15
Celosía de ángulo	L 3 X 3 X 5/16"	49.54	m	0.45
Piernas ángulo	L 6 X 6 X 7/8"	20	m	0.99
PESO TOTAL TRAMO 1=			1.59	

Una vez determinados los pesos de los tramos de la torre, se utiliza la ecuación III.4.4 con los siguientes valores.

Coeficiente sísmico c=0.5Factor de comportamiento sísmico Q=2Factor de amplificación Fa=1.5Los resultados se presentan en la tabla III.4.10

Tabla No. III.4.10 Fuerza sísmica en los tramos de la torre

TRAMO	ALTURA Hi DE	PESO Wi DE	\A/:L1:	FUERZA
	TRAMO	TRAMO	WiHi	SISMICA
	(m)	(t)	(t-m)	(t)
1	5.0	1.6	7.9	0.14
2	10.6	2.6	28.0	0.48
3	15.1	1.6	24.0	0.41
4	20.4	2.1	42.9	0.74
5	25.4	1.7	42.9	0.74
6	30.4	1.2	37.7	0.65
7	32.9	0.7	23.2	0.40
8	40.4	2.4	98.3	1.7
5	SUMA	14.0	304.9	5.2

Con los datos obtenidos en esta tabla y los de la tablas III.3.28 a III.3.31 y III.3.33 a III.3.35 se procede a cargar los modelos de la torre, en el siguiente capitulo de análisis estructural.

IV.- ANÁLISIS ESTRUCTURAL.

Una vez que se ha definido el modelo de la estructura y que se han evaluado las acciones que obran en esta, se procede al análisis estructural, el cual es el procedimiento que se lleva acabo para la determinación de la respuesta del sistema estructural ante las solicitaciones de las acciones externas que se considera inciden sobre dicho sistema. La respuesta de una estructura o de un elemento es su comportamiento bajo una acción determinada, manifestada por medio de deformaciones, vibraciones, esfuerzos, reacciones, etc.

IV.1.- Programa de análisis

Existen un buen número de programas de computadora desarrollados en México y de procedencia extranjera,cada uno de estos tiene sus propias suposiciones, bases teóricas y limitaciones estos constituyen una herramienta de diseño indispensable para la ejecución del proyecto estructural debido fundamentalmente al ahorro de tiempo en el diseño.

Para la realización de estos 3 análisis se usó el programa de análisis y diseño de estructuras STAAD III cuyas principales características se describen enseguida.

Es un programa basado en el comportamiento de los materiales en el rango elástico de deformaciones, para análisis y diseño de estructuras reticulares con módulos específicamente diseñados, para el análisis y diseño de estructuras, este software permite la generación, análisis y revisión de resultados de una manera rápida y eficiente tanto en forma gráfica como en salida de texto.

Para aplicaciones de ingeniería estructural, tiene implementados la mayoría de los códigos y recomendaciones más utilizados a nivel mundial particularmente del American Institute of Steel Construction AISC. Permite el uso de diferentes tipos de elementos: viga, armadura, placas, y elementos especiales como son elementos a tensión/compresión y resortes lineales. Permite la generación automática y/o facilita la entrada de cargas.

Para que este paquete funcione son requeridos los datos de entrada siguientes.

- La topología de la estructura.
- Las propiedades geométricas de los elementos estructurales
- Las propiedades de los materiales
- La orientación de los perfiles referidos a un sistema de ejes generales
- Las cargas que actúan y sus combinaciones.

Al iniciar se debe proporcionar la siguiente información básica, las coordenadas de cada nodo del modelo referenciadas a un sistema de ejes ortogonales coordenados, a este sistema se le conoce como sistema de coordenadas globales. Numeración de los nodos y de los miembros. Las propiedades geométricas de las secciones de los miembros como son, el área, los momentos de inercia, constante torsional, El modulo de elasticidad de cada miembro, así como lo datos de cargas que pueden estar aplicadas a los miembros o directamente a los nodos.

A continuación se presenta la secuencia más o menos en el orden en que se utilizan los comandos junto con su significado, que se deben indicar para el funcionamiento del programa.

IV.- ANÁLISIS ESTRUCTURAL.

STAAD [PLANE, SPACE, TRUSS, FLOOR, DATA]

Inicia el programa especificando si la estructura estará en el plano, en el espacio, armadura plana o espacial, etc. con un asterisco se le puede agregar un Titulo a la corrida.

PLANE = Estructura plana SPACE = Estructura espacial TRUSS = Armazón plano o espacial FLOOR = Estructura total DATA = Ejecución de chequeo de datos

UNIT (Unidad de Longitud, Unidad de Fuerza)

Especifica el sistema de unidades a utilizar. Ejemplos:

UNIT METER MTON;

UNIT CM KG:

UNIT INCHES KIP:

UNIT FT POUND;

UNIT MMS KNS;

UNIT DME MNS:

UNIT KM DNS

INPUT WIDTH {Numero de caracteres por línea}

Eiemplo:

INPUT WIDTH 72

Especifica el número de caracteres por línea en el archivo de entrada que serán procesados. En el archivo de datos de entrada no podrá haber una línea completa con más caracteres que el especificado, de lo contrario el programa marcara un error al procesar los datos.

JOINT COORDINATES 1 1.0 2.0 3.0 REPEAT REPEAT ALL

Permite asignar los datos de los nodos en coordenadas rectangulares o coordenadas cilíndricas. En este ejemplo: el nodo 1 tiene coordenadas en X = 1, Y = 2, Y = 3

Puede usarse su abreviación: JOINT COORD

La opción Repeat causa que la línea de entrada previa sea repetida un número de veces con incrementos específicos.

La opción Repeat All repite todas las entradas previamente especificadas al más reciente mandato Repeat All, o todos los datos de las uniones, si ningún mandato Repeat All ha sido previamente utilizado.

Cuando se usen los mandatos Repeat y Repeat All, la numeración de los nodos deberá de ser consecutiva y comenzar por el numero 1.

EJEMPLO COORDENADAS STAAD SPACE UNIT METER MTON JOINT COORD 1 0.0 0.0 0.0 4 45 0.0 0.0 REPEAT 4 0.0 0.0 15.0 REPEAT ALL 10 0.0 10.0 0.0

IV.- ANÁLISIS ESTRUCTURAL.

En este ejemplo, el comando Repeat repite la primera línea 4 veces, incrementando cada coordenada z en 15. De esta forma las primeras dos líneas después del comando JOIN COORD crean un piso de 20 juntas. El Comando Repeat All crea otros 10 pisos iguales.

STAAD PLANE UNIT METER MTON JOINT COORD 1 0. 0. 2 10. 0. 3 15. 0. MEMB INCIDENCES 1 1 2 2 2 3

MEMBER INCIDENCES

Una vez definidas las coordenadas de los nodos member incidences. Define un miembro (viga, columna, etc.) por medio de sus nodos inicial y final por los cuales esta conectado. Puede abreviarse: MEMB INCI

TABLE (TA) Y USER TABLE

El comando TABLE permite especificar perfiles estándar de acero, manufacturados en diferentes países.

Los siguientes parámetros se pueden usar después de TABLE (ST, RA, D, LD, SD, T, CM, TC, BC y TB)

- ST Especifica una sección simple de las tablas estándar.
- RA Especifica un ángulo simple con los ejes YZ al revés.
- D Especifica un ángulo doble.
- LD Especifica un ángulo doble con sus lados largos espalda con espalda.
- SD Especifica un ángulo doble con sus lados cortos espalda con espalda.
- T Especifica una sección T cortada de vigas de forma I.
- CM Especifica una sección compuesta, disponible con vigas de forma I.
- TC Especifica vigas con cubre placa arriba.
- BC Especifica vigas con cubre placa abajo.
- TB Especifica vigas con cubre placas arriba y abajo.

El comando USER TABLE permite usar y crear una tabla personalizada de secciones de acero para la especificación de propiedades, chequeo de código y selección de miembros. Esto es útil para usar secciones con propiedades poco comunes que no están especificadas dentro del programa. Primero veamos un ejemplo de cómo se usan estos comandos.

EJEMPLO: STAAD SPACE * TORRE INPUT WIDTH 72 UNIT INCHES

START USER TABLE * INICIA LA TABLA TABLE 1 * NUMERO DE CATALOGO

ANGLES * TIPO DE LA SECCION L15153 * NOMBRE DE LA SECCION 1.5 1.5 0.1875 0.293 0.000 0.000 * ESPECIFICACION DE LAS PROPIEDADES END * FIN DE LA TABLA UNIT METER MTON

.

MEMBER PROPERTY AMERICAN *Este comando inicia la definición de propiedades * TRAMO 1
4 TO 38 UPTABLE 1 L15153
46 TO 50 UPTABLE 1 L15153
58 TO 62 UPTABLE 1 L15153
* TRAMO 2
1 TO 5 TABLE ST L30304 *Se usa el comando TABLE para perfiles estándar

En este ejemplo se usaron las unidades de medida de pulgadas (INCHES) para poder definir las propiedades de una sección usando START USER TABLE. Se uso una sección de tipo Angular (L). Las 6 propiedades definidas en este ejemplo son las correspondientes a este tipo de sección L como se describe mas adelante. Cada tipo de sección tendrá sus propiedades a definir, como en el caso del patín ancho W en donde se tienen que definir 10 propiedades. Al final del ejemplo, al definir las propiedades de algunos elementos, con el comando UPTABLE se usa la tabla creada para definir miembros con estas propiedades. También se definen las propiedades de algunos otros elementos con algunas secciones de la librería estándar de secciones de acero ya definidas en STAAD.

MEMBER RELEASE

12 TO 16 TABLE ST W12X30

Dependiendo del tipo de estructura, por default se considera que los miembros están rígidamente unidos entre si. Cuando esta completa rigidez no es aplicable, los componentes individuales de las fuerzas, en cualquiera de los extremos del miembro, pueden ser igualados a cero con la instrucción MEMBER RELEASE.

MEMBER TRUSS y MEMBER CABLE

Se usa para definir miembros como armaduras o cables. Los miembros armadura son solo capaces de soportar fuerzas axiales. Por lo general, los miembros de esta naturaleza son los que se usan para contraventeo en una estructura.

Los miembros cable, además de la deformación axial elástica, son también capaces de acoplarse al efecto de tensión inicial.

Ejemplo: MEMB TRUSS 1 TO 10 12 14 MEMB CABLE 15 TO 20 11 13

CONSTANTS

Especifica las constantes del modulo de Elasticidad E, Relación de Poisson, Densidad, etc.

SUPPORTS

Define el tipo de los apoyos indicando los nodos y sus restricciones

SELFWEIGHT

Especifica que se considere la carga debido al peso propio de la estructura

JOINT LOAD

Especifica cargas en los nodos.

MEMBER LOAD

Especificación de carga sobre un miembro

CALCULATE NATURAL FREQ

Especificación para calcular la frecuencia natural de vibración.

LOAD COMBINATION

Especificación de combinación de cargas definas anteriormente con sus respectivos factores.

LOAD LIST

Activa solo los casos de carga especificados en este comando para la impresión y diseño en la ejecución de los cálculos específicos.

PERFORM ANALYSIS

Instruye al programa para que se ejecute el análisis. Este comando se podrá volver a usar, por ejemplo si se hacen cambios en los tamaños de los miembros y se quiere volver a analizar la estructura..

CODE

Parámetro que se refiere al codigo con el que se desea realizar el diseño

STEEL TAKE OFF

Se puede usar para hacer una estimación del volumen total del acero

CHECK CODE

Especifica la revisión de miembros de acuerdo al código seleccionado

FINISH

Comando que indica el fin de la corrida de STAAD

IV.2 .- Edición de datos de entrada y salida.

A continuación se describe brevemente la forma en que el programa edita los datos de entrada y de salida.

Datos de entrada

- Datos de los nodos: numero del nodo y sus coordenadas X, Y y Z para cada nodo
- Datos de los miembros: numero del miembro, nodo inicial y nodo final.
- Propiedades de las secciones de los miembros
- Constantes de los materiales: modulo de elasticidad, densidad y modulo de poissson.
- Características de los soportes: condiciones de apoyo de la estructura, articulado o empotrado.
- Definición de miembros como armaduras o cables o miembros que se consideren que no están unidos rígidamente.
- Datos de condiciones de carga: peso propio, carga muerta, carga viva, carga por viento y carga por sismo así como sus diferentes combinaciones.

Datos de salida

- Desplazamientos de la estructura, así como sus giros en las tres direcciones para cada nodo y para todas las combinaciones de carga.
- Fuerzas y los momentos en los soportes
- Esfuerzos en todos los miembros.
- Estimación del volumen del material concreto o acero.

IV.3.- Condiciones de cargas..

IV.3.1.- Condicion de carga No.1 Peso propio + Carga muerta en la dirección X.

Una estimación muy buena para obtener el periodo natural de vibración de la estructura se obtiene calculando los desplazamientos en la punta de la estructura producida por un conjunto de cargas horizontales iguales a su peso propio. Si cargamos con esta condición al modelo de la estructura, en el programa de análisis estructural utilizado para este trabajo y se acelera la torre, concentrando las masas en las zonas donde actúan las fuerzas verticales actuando en el plano horizontal. (El programa de análisis calcula esta frecuencia por el Método de iteración de Rayleigh.) Se obtiene una frecuencia natural de vibración de 1.7323 cps,este valor se utilizo en la determinación del factor de ráfaga.

Se presenta el modelo cargado con esta condición en la siguiente figura.

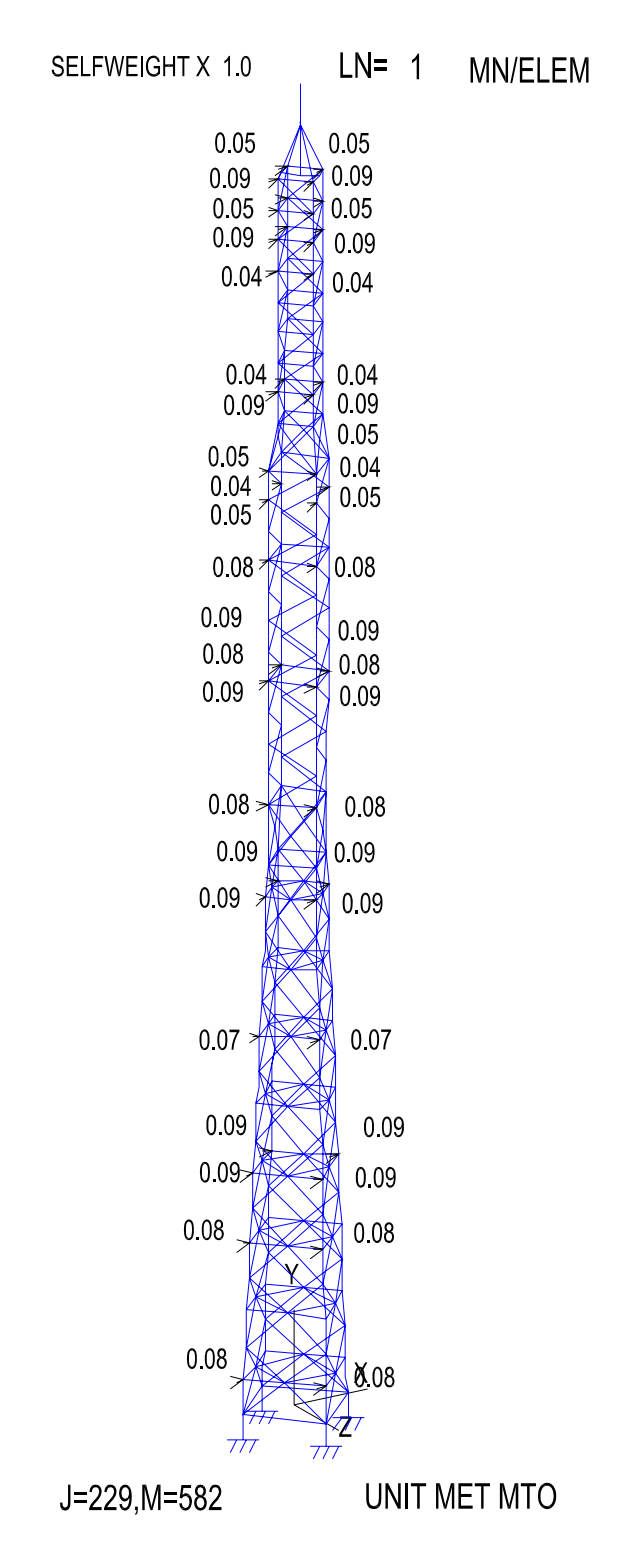


Figura No. IV Cargas para determinar la frecuencia natural de vibración.

IV.3.2.-Condicion de carga No. 2 Peso propio

El peso propio es la carga mas sencilla de evaluar ya que previamente, se pueden suponer como lo hicimos en la determinación de cargas por viento, todos los perfiles que forman la torre, El programa de análisis calcula automáticamente el peso de los perfiles estructurales, en base al volumen de cada elemento estructural y a la densidad del acero.

IV.3.3.- Condicion de carga No. 3 Carga muerta

En cada tramo de la torre, la carga muerta se divide entre el número de nodos que soportaran dicha carga, a continuación se presentan las tablas No. IV a IV.7, con los cálculos realizados de la carga muerta para cada tramo de la torre. Para el tramo No. 8 se tiene.

Tabla No. IV Carga muerta en el tramo 8

CARGA MUERTA TRAMO 8	PESO	DE	NODO			
			t	NODOS	t	
Escalera + Guia de ondas (incluyendo cables)	0.23	6.0	0.038			
Antena parabólica 0.6 m de diámetro	0.15	4.0	0.038			
Antena celular	0.36	8.0	0.045			
Plataforma de trabajo 38.5m	0.35	4.0	0.086			
Plataforma de trabajo 33.5m	0.35	4.0	0.086			

Procediendo similarmente, se calculan los tramos subsecuentes.

Tabla No. IV.1 Carga muerta en el tramo 7

	DE00	NUMERO	CARGA POR
CARGA MUERTA TRAMO 7	PESO	DE	NODO
	t	NODOS	t
Escalera + Guia de ondas (incluyendo cables)	0.08	2.0	0.038
Antena parabólica 0.9m de diámetro	0.21	4.0	0.053

Tabla No. IV.2 Carga muerta en el tramo 6

	DE00	NUMERO	CARGA POR
CARGA MUERTA TRAMO 6	PESO	DE	NODO
	t	NODOS	t
Escalera + Guia de ondas (incluyendo cables)	0.15	2.0	0.075

Tabla No. IV.3 Carga muerta en el tramo 5

, and the second	5=00	NUMERO	CARGA POR
CARGA MUERTA TRAMO 5	PESO	DE	NODO
	t	NODOS	t
Escalera + Guia de ondas (incluyendo cables)	0.15	2.0	0.075
Plataforma de descanso 24.0m	0.35	4.0	0.086

Tabla No. IV.4 Carga muerta en el tramo 4

	DE00	NUMERO	CARGA POR		
CARGA MUERTA TRAMO 4	PESO	DE	NODO		
	t	NODOS	t		
Escalera + Guia de ondas (incluyendo cables)	0.16	2.0	0.080		
Plataforma de descanso 16.9m	1.0	pzas	0.35	4.0	0.086

Tabla No. IV.5 Carga muerta en el tramo 3

	DEGG	NUMERO	CARGA POR				
CARGA MUERTA TRAMO 3	PESO	DE	NODO				
			t	NODOS	t		
Escalera + Guia de ondas (incluyendo cables)	4.5	m	0.14	2.0	0.068		

Tabla No. IV.6 Carga muerta en el tramo 2

CARGA MUERTA TRAMO 2	PESO	DE	NODO				
	t	NODOS	t				
Escalera + Guia de ondas (incluyendo cables)	0.17	2.0	0.084				
Plataforma de descanso 7.9m	1.0	pzas	0.35	4.0	0.086		

Tabla No IV.7 Carga muerta en el tramo 1

		NUMERO	CARGA POR
CARGA MUERTA TRAMO 1	PESO	DE	NODO
	t	NODOS	t
Escalera + Guia de ondas (incluyendo cables)	0.15	2.0	0.075

En la siguiente figura se presenta esquematicamente el modelo cargado con esta condición de carga (Figura No.IV.1).

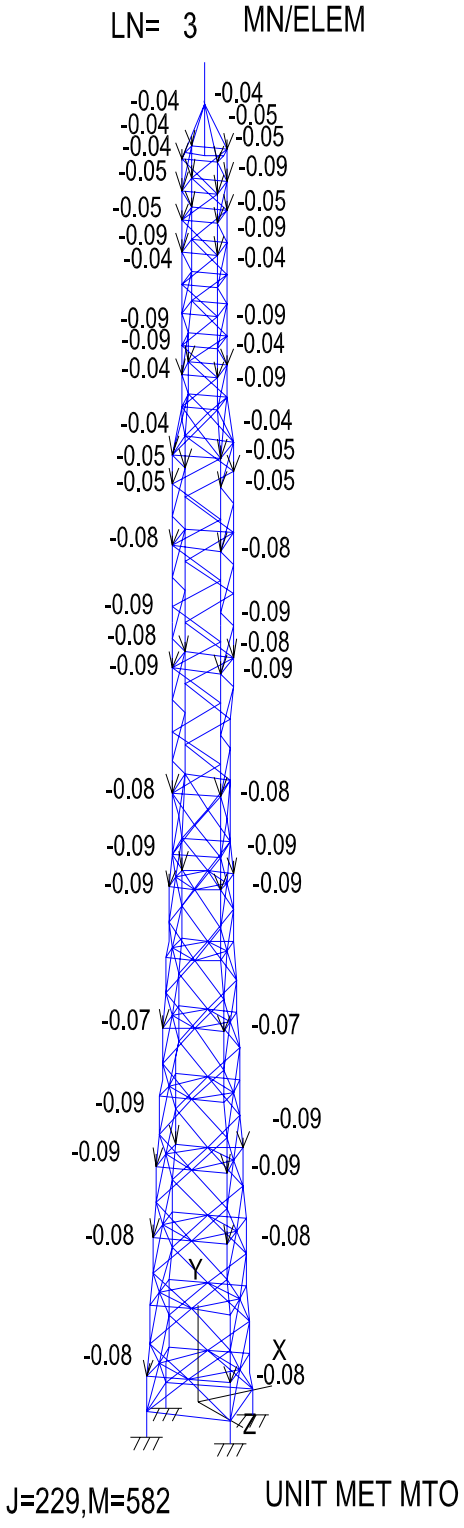


Figura No. IV.1 Carga muerta sobre la torre

IV.3.4.-Condicion de carga No. 4 Carga viva.

Esta carga se aplica a las plataformas de trabajo las cuales se ubican solamente en el tramo No, 8 de la torre. En el capitulo de solicitaciones se determinó una carga viva de 300 Kg/m^2 , de la figura III.1 del mismo capitulo se tiene un área de plataforma de $6.64 \text{ m}^2 \text{ y}$ por lo tanto la carga viva sobre la plataforma será de $300 \times 6.64 = 1992 \text{ Kg}$.

Esta carga se distribuira en 4 nodos que son los que soportaran la plataforma, entonces la carga por nodo será de 1992/4= 498 kg. se presenta la figura No.IV.2 con el modelo cargado con esta condición.

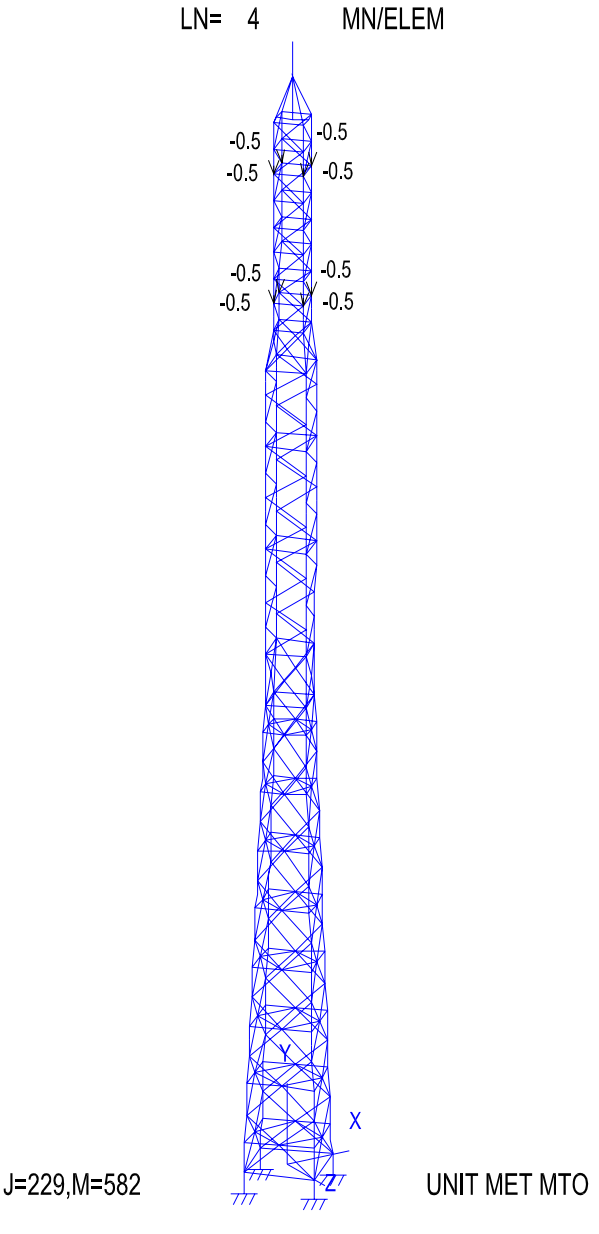


Figura No. IV.2 Carga viva sobre la torre

IV.3.5.- Condición de carga No.5 y 6 Carga por viento. Sobre una cara y sobre una esquina

De los resultados obtenidos de la fuerza total sobre la estructura tablas III.3.29 a III.3.32 así como de las antenas parabólicas y celulares (capitulo de solicitaciones, cargas pór viento), se tiene lo siguiente.

Tabla No. IV.8 Distribución de las fuerzas de viento sobre los nodos, estructura modelos 1 y 2

ramo	Fuerza total sobre una cara esquina sobre			Fuerza en los nodos sobre una cara		Fuerza en los nodos sobre una esquina
+		•		(X)	(-Z)	·
	t	t	٥N	t	t	t
8	1.10	2.042	32	0.0242	0.0242	0.064
7	0.38	0.663	8	0.0339	0.0339	0.083
6	0.77	1.014	16	0.0341	0.0341	0.063
5	0.70	0.917	24	0.0205	0.0205	0.038
4	0.73	1.158	16	0.0321	0.0321	0.072
3	0.57	0.864	16	0.0250	0.0250	0.054
2	0.69	1.037	16	0.0305	0.0305	0.065
1	0.64	0.953	20	0.0227	0.0227	0.048

Tabla No. IV.9 Distribución de las fuerzas de viento sobre los nodos, estructura modelo 3

ато	Fuerza total sobre una cara esquina				los nodos una cara	Fuerza en los nodos sobre una
+		esquina		(X)	(-Z)	esquina
	t	t	٥N	t	t	t
8	1.02	1.838	32	0.0225	0.0225	0.057
7	0.35	0.579	8	0.0306	0.0306	0.072
6	0.63	0.769	16	0.0276	0.0276	0.048
5	0.57	0.697	24	0.0167	0.0167	0.029
4	0.63	0.961	16	0.0278	0.0278	0.060
3	0.49	0.718	16	0.0218	0.0218	0.045
2	0.61	0.872	16	0.0268	0.0268	0.055
1	0.56	0.787	20	0.0197	0.0197	0.039

Tabla No. IV.10 Distribución de las fuerzas de viento sobre los nodos, antenas microondas

	ANTENAS DE MICRO ONDAS tipo ANDREW										
ANTENAS	ANT 90° (1)	ANT	NT 45° (1) Fza. Total (2 a 90°, 1 a 45°) Momento # nodos Fza NODO (2 a 90°, 1 a 45°) Fza NODO (2 a 90°, 1 a 45°) Fza NODO (2 a 90°, 1 a 45°)					Momento			
Ø	(x) t	(x) t	(-z) t	(x) t	(-z)t	t-m		(x) t	(-z) t	t-m	
0.6m	0.055	0.042	0.039	0.151	0.039	0.0476	4	0.038	0.010	0.012	
0.9m	0.109	0.084	0.079	0.302	0.079	0.094	8	0.038	0.010	0.012	

Tabla No. IV.11 Distribución de las fuerzas de viento sobre los nodos, antenas celulares

		ALTURA	F _Z Total	VIEN	ΓO 45 °
ANTENAS	AS PIEZAS m		t	# nodos	FZA NODO t
RF'S	9	39.00	0.1947	8	0.024

El modelo con estas cargas se presenta en la figura No. IV.3

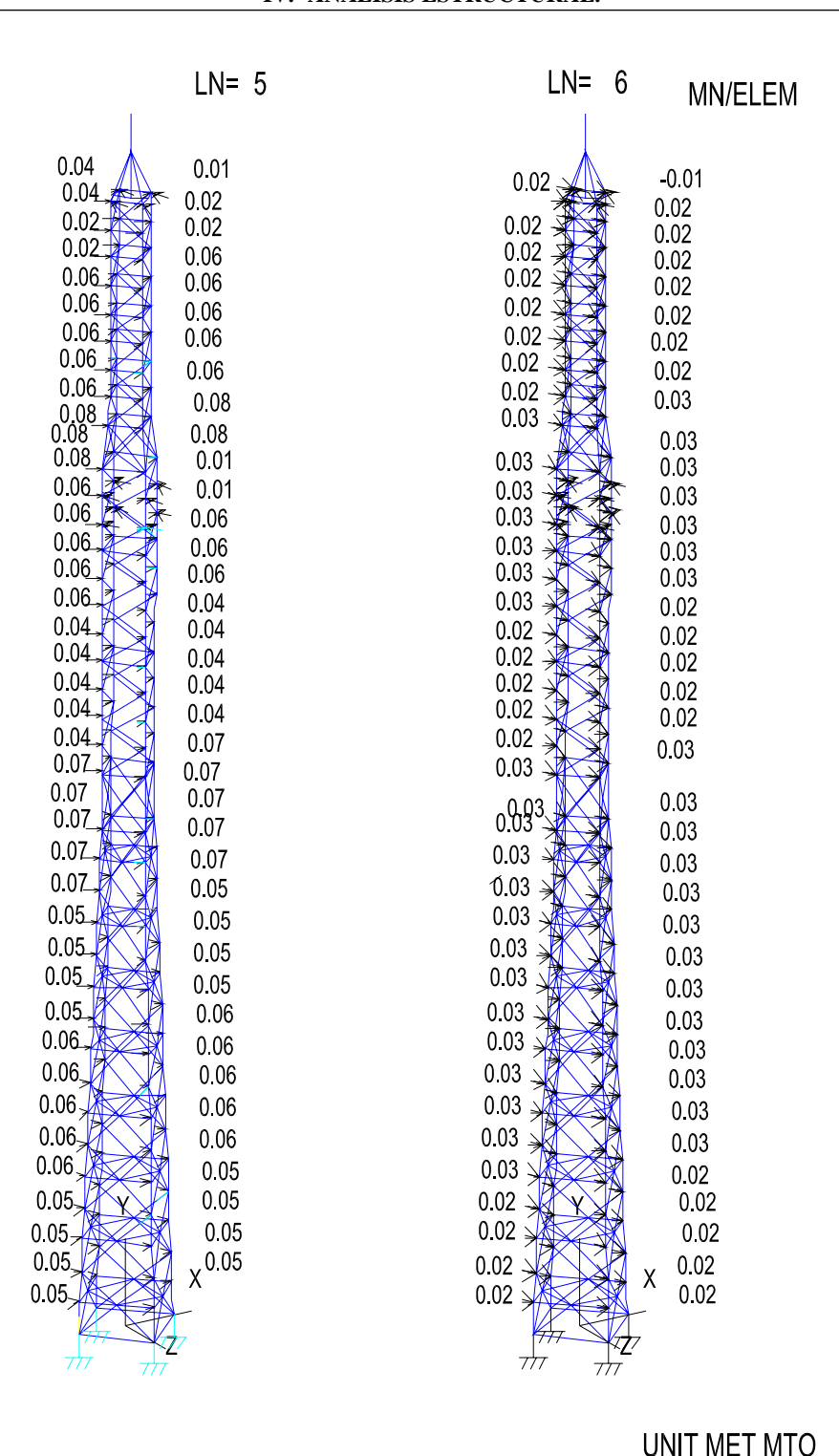


Figura No. IV.3 Cargas de viento sobre una esquina y sobre una cara

IV.3.6.- Condición de carga No. 7 Carga por sismo.

De los resultados obtenidos de la tabla No. III.4.10 de fuerza sísmica en los tramos de la torre se tiene lo siguiente.

Tabla No IV.12 Distribución de las fuerzas de sismo sobre los nodos

	ALTURA Hi DE	PESO Wi DE	WiHi	FUERZA	# DE	FUERZA
TRAMO	TRAMO	TRAMO	VVIII	SISMICA	NODOS	POR NODO
	(m)	(t)	(t-m)	(t)		(t)
1	5.0	1.6	7.9	0.14	16	0.009
2	10.6	2.6	28.0	0.48	20	0.024
3	15.1	1.6	24.0	0.41	16	0.026
4	20.4	2.1	42.9	0.74	16	0.046
5	25.4	1.7	42.9	0.74	20	0.037
6	30.4	1.2	37.7	0.65	20	0.032
7	32.9	0.7	23.2	0.40	8	0.050
8	40.4	2.4	98.3	1.69	32	0.053
SUMA		14.0	304.9	5.25	148	

La fuerza por nodo se distribuye en la dirección X y el 30% de esta fuerza en la dirección Z, tomando en cuenta que serian de igual magnitud si se determinaran en la dirección Z. Como puede observarse, comparando los resultados de esta tabla con respecto a los de la tablas III.3.29 a III.3.32 de fuerzas por viento sobre la estructura, estás son mayores a las del sismo. El modelo cargado con esta condición se muestra en la siguiente figura.

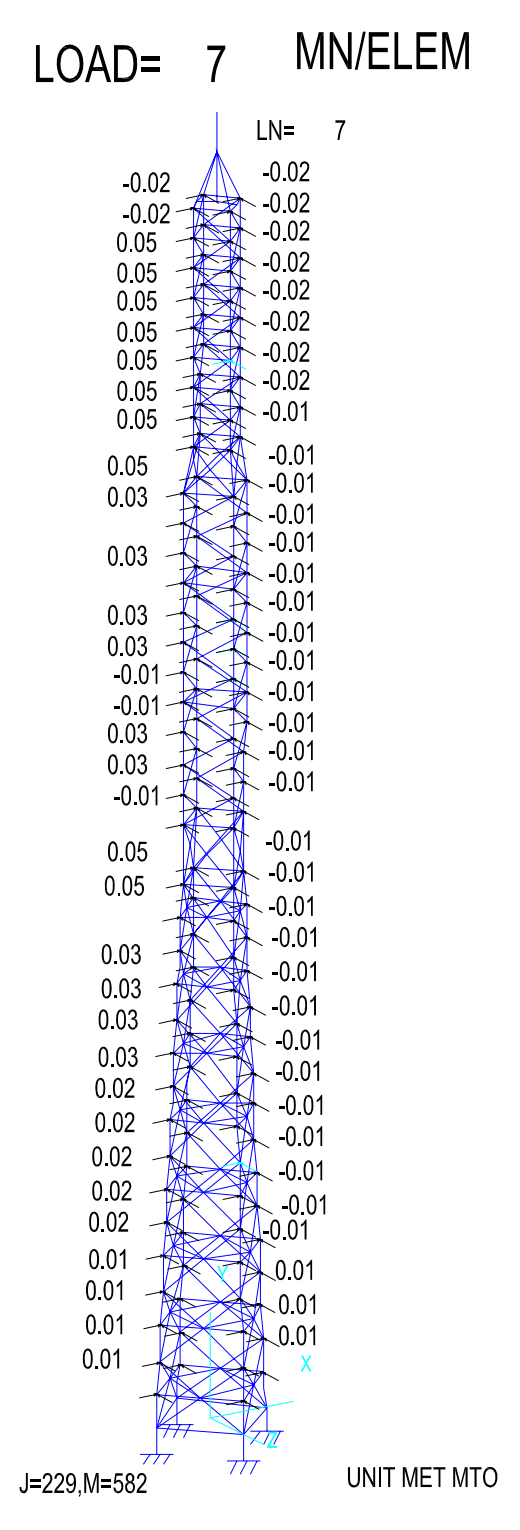


Figura No. IV.4 Cargas sísmicas sobre la torre

IV.3.7.- Combinación de cargas.

El efecto combinado de todas las acciones que tengan una cierta probabilidad de ocurrir simultáneamente se llama combinación de acciones de diseño, estas pueden clasificarse en comunes y excepcionales, las comunes son aquellas que incluyen solamente las aciones permanentes y variables y las excepcionales las que incluyen alguna acción accidental como viento y sismo. Las acciones permanentes, por su carácter intervienen en todas las combinaciones ya que siempre estan presentes sobre el sistema estructural, las acciones variables tambien intervienen en todas las combinaciones pero no necesariamente con los valores maximos, no debe tomarse más de una acción accidental en una misma combinación ya que la probabilidad de que las ocurran simultáneamente es nula.

Las condiciones de carga anteriormente descritas, se combinaron para realizar el análisis estructural de la torre, estas combinaciones se realizaron de la siguiente forma.

- 8.- (Peso propio + Carga muerta + Carga viva) 1.0.
- 9.- (peso propio + Carga muerta + Viento sobre una esquina) 0.75
- 10.- (peso propio + carga muerta + viento sobre una cara) 0.75

En las combinaciones No. 9 y 10 se omite la intensidad de la accion variable (carga viva reducida por ser favorable a la estabilidad de la estructura.

- 11.- (Peso propio + Carga muerta + SismoX +0.3 SismoZ) 0.75
- 12.- (peso propio + Carga muerta + Viento sobre una esquina) 1.0
- 13.- (peso propio + carga muerta + viento sobre una cara) 1.0
- 14.- (Peso propio + Carga muerta + SismoX +0.3 SismoZ) 1.0

Las combinaciones 12, 13 y 14 son para la revisión de los estados límite de servicio. En donde see considera un factor de carga unitario.

V.1.- Criterio de revisión

El diseño estructural es el procedimiento mediante el cual se definen los elementos que integran a la estructura, en lo referente a los materiales, dimensiones, detalles en general y su ubicación relativa en la estructura, estos elementos deberan presentar un comportamiento adecuado en condiciones de servicio y tener capacidad para resistir las fuerzas a las que esten sometidos.

El criterio de revisión considera un análisis estructural elástico lineal y el diseño será con la teoría de esfuerzos permisibles. (AISC) Las acciones de diseño resultaran de la combinación más desfavorable entre las acciones permanentes (peso propio, carga muerta, carga viva) y las accidentales de viento y sismo.

Toda la estructura y cada una de sus partes deberán diseñarse para cumplir con los requisitos básicos siguientes:

- I. Tener seguridad adecuada contra la aparición de todo estado limite de falla posible ante las combinaciones de acciones más desfavorables que puedan presentarse durante su vida esperada.
- II. No rebasar ningún estado limite de servicio ante combinaciones de acciones que corresponden a condiciones normales de operación.

Una vez expuesto lo anterior se procede a correr el programa, cabe aclarar que este es un proceso iterativo, es decir si los perfiles supuestos están muy sobrados o son deficientes, se tienen que corregir y con estas correcciones volver a correr el programa nuevamente hasta lograr un análisis optimo.

V.1.- Archivo de resultados

Se anexan los archivos de datos del programa STAAD al final de este trabajo.

El programa proporciona un archivo de salida el cual produce un importante volumen de información, por tal motivo solo se presentaran los datos de los miembros mas esforzados de cada tramo de la torre, para los tres modelos (de las tres soluciones estructurales).

Se tiene para el primer modelo (primera solución estructural) que corresponde a perfiles angulares en las piernas de la torre los siguientes resultados.

Estado de esfuerzos.

ALL UNITS ARE - MTON METE (UNLESS OTHERWISE NOTED)

MEMBER		TABLE	RESULT/ FX	S OTHERWISE NOTED) CRITICAL COND/ MY	RATIO/ MZ	LOCATION
87	ST	L25 253	PASS	COMPRESSION		9
			1.39 C	0.00	0.00	0.00
110	ST	L20 202	PASS	0.00 AISC- H1-3	0.047	9
			0.02 C	0.00	0.00	0.00
178	ST	L40 407	PASS	AISC- H1-1	0.540	9
			31.36 C	0.00	0.06	1.16
199	ST	L40 407		AISC- H1-1	0.602	9
			35.01 C	0.00	0.06	0.00
236	ST	L25 253		COMPRESSION	0. 232	9
			0.83 C	0.00	0.00	0.00
238	ST	L40 407	PASS	AISC- H1-1	0.485	9
			27.62 C	0.00	0.06	0.00
265	ST	L25 253		AISC- H1-1	0.512	9
			2.51 C	0.00	0.00	0.00
266	ST	L40 407	PASS	AISC- H1-1	0.951	9
			19.79 C	0.01	-0.01	2.00
276	ST	L40 406	PASS	AISC- H1-1	0.177	9
			10.17 C	0.02	0.00	0.00
281	ST	L25 253		COMPRESSION	0.720	9
			1.65 C	0.00	0.00	0.00
282	ST	L40 406	PASS	AISC- H1-1	0.301	9
			17.50 C	-0.01	-0.01	1.00
308	ST	L30 305	PASS	AISC- H1-1	0.416	9
			4.67 C	0.01	0.00	0.00
322	ST	L30 303	PASS	AISC- H1-1	0.351	9
			3.37 C	0.01	0.00	0.00
381	ST	L25 253	PASS	AISC- H1-3	0.037	9
			0.17 C	0.00	0.00	1.29
384	ST	L25 253	PASS	COMPRESSION	0.241	9
			0.78 C		0.00	0.00
424	ST	L25 253	PASS	AISC- H1-3	0.034	9
				0.00	0.00	0.00
443	ST	L25 253		AISC- H1-1	0.486	9
				0.00	0.00	1.80
449	ST	L25 253	PASS	AISC- H1-3	0.027	9
			0.02 C	0.00	0.00	1.80
464	ST	L20 202	PASS	AISC- H1-1	0.680	9
			0.67 C	0.00	0.00	1.80
513	ST	L20 202	PASS	AISC- H1-3	0.052	9
			0.04 C	0.00	0.00	1.40
526	ST	L25 253	PASS	AISC- H1-3	0.039	9
			0.12 C	0.00	0.00	0.91

532	ST	L25 253	PASS	COMPRESSION	0.375	9
			0.93 C	0.00	0.00	0.00
633	ST	L20 202	PASS	COMPRESSION	0.656	9
			0.74 C	0.00	0.00	0.00
640	ST	L20 202	PASS	COMPRESSION	0.686	9
			0.78 C	0.00	0.00	0.00

Peso propio de los elementos estructurales.

PROFILE	LENGTH (METE)	WEIGHT (MTON)
ST L40 407	82. 11	1. 374
ST L40 406 ST L30 305	40. 00 10. 11	0. 578 0. 091
ST L30 303 ST L25 253	30. 00 459. 58	0. 166 2. 102
ST L20 202 ST PIP S20	186. 15 3. 00	0. 455 0. 016
51 FIF 520		
	TOTAL =	4. 78

Desplazamientos en los nodos.

JOIN	T DISP	LACEMENT (C	M RADIAN	STRU	ICTURE TYPE	= SPACE	
JOINT	LOAD	X-TRANS	Y-TRANS	Z-TRANS	X-ROTAN	Y-ROTAN	Z-ROTAN
43	12	38. 1247	-0.1335	-0.5839	0.0007	0.0000	-0.0150
	13	18.9240	0.3942	13. 5236	0.0060	0.0000	-0.0075
	14	23. 5557	-0.3813	-6.9629	-0.0026	0.0000	-0.0093
77	12	38. 1257	1.3664	-0.5850	0.0000	0.0000	-0.0151
	13	18. 9242	0.6227	13. 5232	0.0054	0.0000	-0.0075
	14	23. 5569	0.8039	-6.9632	-0.0027	0.0000	-0.0093
199	12	38. 1268	-0.0908	-0.5838	0.0001	0.0000	-0.0150
	13	18. 9256	-0.6183	13. 5238	0.0054	0.0000	-0.0075
	14	23. 5574	0.1572	-6.9629	-0.0027	0.0000	-0.0093
200	12	38. 1257	-1.5906	-0.5871	0.0000	0.0000	-0.0149
	13	18. 9243	-0.8469	13. 5215	0.0054	0.0000	-0.0074
	14	23. 5569	-1.0280	-6. 9649	-0.0027	0.0000	-0.0092

Elementos mecanicos de los miembros.

	MEMBER	END	FORCES	STRUCTURE	TYPE = S	SPACE		
			_					
ALL UI	NITS AR	E	MTON METE					
MEMBER	LOAD	JΤ	AXIAL	SHEAR-Y	SHEAR-Z	TORSION	MOM-Y	MOM-Z
87	8	29	0.00	0.00	0.00	0.00	0.00	0.00
		70	0.00	0.00	0.00	0.00	0.00	0.00
	9	29	1.39	0.00	0.00	0.00	0.00	0.00
		70	-1.39	0.00	0.00	0.00	0.00	0.00

	10	29	0.24	0.00	0.00	0.00	0.00	0.00
		70	-0.24	0.00	0.00	0.00	0.00	0.00
	11	29	1.04	0.00	0.00	0.00	0.00	0.00
		70	-1.03	0.00	0.00	0.00	0.00	0.00
110	8	31	-0.01	0.00	0.00	0.00	0.00	0.00
		82	0.01	0.00	0.00	0.00	0.00	0.00
	9	31	0.02	0.00	0.00	0.00	0.00	0.00
		82	-0.02	0.00	0.00	0.00	0.00	0.00
	10	31	-0.01	0.00	0.00	0.00	0.00	0.00
		82	0.01	0.00	0.00	0.00	0.00	0.00
	11	31	0.01	0.00	0.00	0.00	0.00	0.00
		82	-0.01	0.00	0.00	0.00	0.00	0.00
178	8	109	2.54	0.01	0.00	0.00	0.00	0.01
		110	-2.52	-0.01	0.00	0.00	0.00	0.01
	9	109	31. 36	0.11	0.00	0.00	0.00	0.06
		110	-31. 35	-0.11	0.00	0.00	0.00	0.06
	10	109	16. 24	0.06	0.05	0.00	-0.04	0.03
		110	-16. 23	-0.06	-0.05	0.00	-0.01	0.03
	11	109	19.87	0.07	-0.02	0.00	0.02	0.04
		110	-19.85	-0.07	0.02	0.00	0.01	0.04
199	8	113	2.75	0.01	0.00	0.00	0.00	0.01
		126	-2.73	-0.01	0.00	0.00	0.00	0.01
	9	113	35.01	0.11	0.00	0.00	0.00	0.06
		126	-34.99	-0.11	0.00	0.00	0.00	0.06
	10	113	18. 11	0.06	0.06	0.00	-0.05	0.03
		126	-18. 10	-0.06	-0.06	0.00	-0.01	0.03
	11	113	21.90	0.07	-0.03	0.00	0.02	0.04
		126	-21.88	-0.07	0.03	0.00	0.01	0.04
236	8	148	0.04	0.00	0.00	0.00	0.00	0.00
		140	-0.05	0.00	0.00	0.00	0.00	0.00
	9	148	0.83	0.00	0.00	0.00	0.00	0.00
		140	-0.83	0.00	0.00	0.00	0.00	0.00
	10	148	0. 22	0.00	0.00	0.00	0.00	0.00
		140	-0.22	0.00	0.00	0.00	0.00	0.00
	11	148	0.59	0.00	0.00	0.00	0.00	0.00
		140	-0.59	0.00	0.00	0.00	0.00	0.00
238	8	140	2. 25	0.01	0.00	0.00	0.00	0.01
		149	-2.23	-0.01	0.00	0.00	0.00	0.01
	9	140	27.62	0.11	0.00	0.00	0.00	0.06
		149	-27.60	-0.11	0.00	0.00	0.00	0.06
	10	140	14. 29	0.06	0.05	0.00	-0.04	0.03
		149	-14. 28	-0.06	-0.05	0.00	-0.01	0.03
	11	140	17.57	0.07	-0.02	0.00	0.02	0.04
		149	-17. 56	-0.07	0.02	0.00	0.01	0.04
265	8	153	0.22	0.00	0.00	0.00	0.00	0.00
		160	-0. 22	0.00	0.00	0.00	0.00	0.00
	9	153	2.51	0.01	0.00	0.00	0.00	0.00
		160	-2.50	0.00	0.00	0.00	0.00	0.00
	10	153	1. 22	0.00	0.00	0.00	0.00	0.00
		160	-1. 22	0.00	0.00	0.00	0.00	0.00
	11	153	1.62	0.00	0.00	0.00	0.00	0.00

		160	-1.61	0.00	0.00	0.00	0.00	0.00
266	8	153	1.62	0.00	0.00	0.00	0.00	0.00
		104	-1.58	0.00	0.00	0.00	0.00	0.00
	9	153	19.79	-0.01	-0.01	0.00	0.00	0.00
		104	-19. 76	0.01	0.01	0.00	0.01	-0.01
	10	153	10. 23	0.00	0.00	0.00	0.01	0.00
		104	-10. 21	0.00	0.00	0.00	-0.01	-0.01
	11	153	12.51	0.00	0.00	0.00	0.00	0.00
		104	-12.49	0.00	0.00	0.00	0.01	-0.01
276	8	168	1.63	0.00	0.00	0.00	0.00	0.00
		167	-1.61	0.00	0.00	0.00	0.00	0.00
	9	168	10. 17	0.00	-0.03	0.00	0.02	0.00
		167	-10. 16	0.00	0.03	0.00	0.01	0.00
	10	168	4. 97	0.01	-0.02	0.00	0.01	0.01
		167	-4.96	-0.01	0.02	0.00	0.00	0.00
	11	168	6. 76	0.00	-0.02	0.00	0.01	0.00
		167	-6.75	0.00	0.02	0.00	0.01	0.00
281	8	103	0.00	0.00	0.00	0.00	0.00	0.00
		174	0.00	0.00	0.00	0.00	0.00	0.00
	9	103	1.65	0.00	0.00	0.00	0.00	0.00
		174	-1.64	0.00	0.00	0.00	0.00	0.00
	10	103	0.24	0.00	0.00	0.00	0.00	0.00
		174	-0.24	0.00	0.00	0.00	0.00	0.00
	11	103	1. 29	0.00	0.00	0.00	0.00	0.00
		174	-1.29	0.00	0.00	0.00	0.00	0.00
282	8	103	1.84	0.00	0.00	0.00	0.00	0.00
		175	-1.83	0.00	0.00	0.00	0.00	0.00
	9	103	17.50	0.00	0.02	0.00	0.00	0.00
		175	-17.49	0.00	-0.02	0.00	-0.01	-0.01
	10	103	9.30	-0.01	0.01	0.00	0.00	0.00
		175	-9. 29	0.01	-0.01	0.00	-0.01	-0.01
	11	103	11.00	0.00	0.01	0.00	-0.01	0.00
		175	-10.99	0.00	-0.01	0.00	-0.01	0.00
308	8	186	1. 29	0.00	0.00	0.00	0.00	0.00
		163	-1.28	0.00	0.00	0.00	0.00	0.00
	9	186	4.67	0.01	0.00	0.00	0.01	0.00
		163	-4.66	0.00	0.00	0.00	0.00	0.00
	10	186	2.52	0.00	0.00	0.00	0.00	0.00
		163	-2.51	0.00	0.00	0.00	0.00	0.00
	11	186	3. 11	0.00	0.00	0.00	0.00	0.00
		163	-3. 10	0.00	0.00	0.00	0.00	0.00
322	8	164	0.81	0.00	-0.01	0.00	0.00	0.00
		196	-0.80	0.00	0.01	0.00	0.00	0.00
	9	164	3. 37	0.00	-0.01	0.00	0.01	0.00
		196	-3.36	0.00	0.01	0.00	0.01	0.00
	10	164	1.98	0.00	-0.01	0.00	0.00	0.00
		196	-1.97	0.00	0.01	0.00	0.00	0.00
	11	164	2.11	0.00	-0.01	0.00	0.01	0.00
		196	-2.10	0.00	0.01	0.00	0.00	0.00
381	8	87	-0.01	0.00	0.00	0.00	0.00	0.00
		207	0.01	0.00	0.00	0.00	0.00	0.00

	9	87	0.17	0.00	0.00	0.00	0.00	0.00
		207	-0.17	0.00	0.00	0.00	0.00	0.00
	10	87	0.04	0.00	0.00	0.00	0.00	0.00
		207	-0.04	0.00	0.00	0.00	0.00	0.00
	11	87	0.12	0.00	0.00	0.00	0.00	0.00
		207	-0.12	0.00	0.00	0.00	0.00	0.00
384	8	9	0.00	0.00	0.00	0.00	0.00	0.00
		206	0.00	0.00	0.00	0.00	0.00	0.00
	9	9	0.78	0.00	0.00	0.00	0.00	0.00
		206	-0.79	0.00	0.00	0.00	0.00	0.00
	10	9	0.64	0.00	0.00	0.00	0.00	0.00
		206	-0.64	0.00	0.00	0.00	0.00	0.00
	11	9	0.35	0.00	0.00	0.00	0.00	0.00
		206	-0.35	0.00	0.00	0.00	0.00	0.00
424	8	213	-0.02	0.00	0.00	0.00	0.00	0.00
		133	0.02	0.00	0.00	0.00	0.00	0.00
	9	213	0.13	0.00	0.00	0.00	0.00	0.00
		133	-0.13	0.01	0.00	0.00	0.00	0.00
	10	213	0.00	0.00	0.00	0.00	0.00	0.00
		133	0.00	0.00	0.00	0.00	0.00	0.00
	11	213	0.11	0.00	0.00	0.00	0.00	0.00
		133	-0.11	0.00	0.00	0.00	0.00	0.00
443	8	58	-0.16	0.00	0.00	0.00	0.00	0.00
		101	0.16	0.00	0.00	0.00	0.00	0.00
	9	58	1. 34	0.00	0.00	0.00	0.00	0.00
		101	-1.34	0.01	0.00	0.00	0.00	0.00
	10	58	0.62	0.00	0.00	0.00	0.00	0.00
		101	-0.62	0.00	0.00	0.00	0.00	0.00
	11	58	0.84	0.00	0.00	0.00	0.00	0.00
		101	-0.84	0.00	0.00	0.00	0.00	0.00
449	8	83	-0.01	0.00	0.00	0.00	0.00	0.00
		170	0.01	0.00	0.00	0.00	0.00	0.00
	9	83	0.02	0.00	0.00	0.00	0.00	0.00
		170	-0.02	0.00	0.00	0.00	0.00	0.00
	10	83	-0.01	0.00	0.00	0.00	0.00	0.00
		170	0. 01	0.00	0.00	0.00	0.00	0.00
	11	83	0. 02	0.00	0.00	0.00	0.00	0.00
		170	-0.02	0.00	0.00	0.00	0.00	0.00
464	8	184	-0. 28	0.00	0.00	0.00	0.00	0.00
		72	0. 28	0.00	0.00	0.00	0.00	0.00
	9	184	0. 67	0.00	0.00	0.00	0.00	0.00
		72	-0.67	0.00	0.00	0.00	0.00	0.00
	10	184	0. 25	0.00	0.00	0.00	0.00	0.00
	4.4	72	-0. 25	0.00	0.00	0.00	0.00	0.00
	11	184	0.44	0.00	0.00	0.00	0.00	0.00
E10		72	-0.44	0.00	0.00	0.00	0.00	0.00
513	8	81	-0. 01	0.00	0.00	0.00	0.00	0.00
	0	162	0.01	0.00	0.00	0.00	0.00	0.00
	9	81	0.04	0.00	0.00	0.00	0.00	0.00
	10	162	-0. 04	0.00	0.00	0.00	0.00	0.00
	10	81	0.02	0.00	0.00	0.00	0.00	0.00

		162	-0.02	0.00	0.00	0.00	0.00	0.00
	11	81	0.03	0.00	0.00	0.00	0.00	0.00
		162	-0.03	0.00	0.00	0.00	0.00	0.00
526	8	84	-0.01	0.00	0.00	0.00	0.00	0.00
		221	0.01	0.00	0.00	0.00	0.00	0.00
	9	84	0.12	0.00	0.00	0.00	0.00	0.00
		221	-0.12	0.00	0.00	0.00	0.00	0.00
	10	84	0.11	0.00	0.00	0.00	0.00	0.00
		221	-0.11	0.00	0.00	0.00	0.00	0.00
	11	84	0.04	0.00	0.00	0.00	0.00	0.00
		221	-0.04	0.00	0.00	0.00	0.00	0.00
532	8	119	0.04	0.00	0.00	0.00	0.00	0.00
		222	-0.04	0.00	0.00	0.00	0.00	0.00
	9	119	0.93	0.00	0.00	0.00	0.00	0.00
		222	-0.93	0.00	0.00	0.00	0.00	0.00
	10	119	0.23	0.00	0.00	0.00	0.00	0.00
		222	-0.22	0.00	0.00	0.00	0.00	0.00
	11	119	0.55	0.00	0.00	0.00	0.00	0.00
		222	-0.54	0.00	0.00	0.00	0.00	0.00
633	8	164	0.01	0.00	0.00	0.00	0.00	0.00
		195	-0.01	0.00	0.00	0.00	0.00	0.00
	9	164	0.74	0.00	0.00	0.00	0.00	0.00
		195	-0.74	0.00	0.00	0.00	0.00	0.00
	10	164	0.14	0.00	0.00	0.00	0.00	0.00
		195	-0.14	0.00	0.00	0.00	0.00	0.00
	11	164	0.65	0.00	0.00	0.00	0.00	0.00
		195	-0.64	0.00	0.00	0.00	0.00	0.00
640	8	163	0.01	0.00	0.00	0.00	0.00	0.00
		36	-0.01	0.00	0.00	0.00	0.00	0.00
	9	163	0.78	0.00	0.00	0.00	0.00	0.00
		36	-0.77	0.00	0.00	0.00	0.00	0.00
	10	163	0.59	0.00	0.00	0.00	0.00	0.00
		36	-0.59	0.00	0.00	0.00	0.00	0.00
	11	163	0.39	0.00	0.00	0.00	0.00	0.00
		36	-0.39	0.00	0.00	0.00	0.00	0.00

Para el segundo modelo (segunda solucion estructural) que corresponde a perfiles estructurales de PTR en las piernas, el archivo de salida es el siguiente:

Estado de esfuerzos.

STAAD-III CODE CHECKING - (AISC)

ALL UNITS ARE - MTON METE (UNLESS OTHERWISE NOTED)

MEMBER	TABLE	RESULT/ FX	CRITICAL COND/ MY	RATIO/ MZ	LOADING/ LOCATION
87	ST L25 253	 PASS	COMPRESSION	0. 606	9

				1.39 C		0.00	0.00
110	ST	L20	202	PASS	AISC- H1-3		9
				0.02 C	0.00 AISC- H1-1 0.00	0.00	0.00
178	ST	TUB	30304	PASS	AISC- H1-1	0.302	9
				31.15 C	0.00 AISC- H1-1	0. 12	0.00
199	ST	TUB	30304	PASS	ATSC- H1-1	0.336	9
				34.82 C	0.00	0.13	0.00
236	ST	L25	253	PASS	COMPRESSION	0. 285	9
				1.02 C	0.00	0.00	0.00
238	ST	TUB	30304	PASS	AISC- H1-1	0.268	9
				27.35 C		0.13	
265	ST	L25	253	PASS	AISC- H1-1	0.675	9
				3.14 C	0.00	0.01	0.00
266	ST	TUB	30303	PASS	AISC- H1-1	0.662	9
				18.80 C	0.00	-0.02	2.00
276	ST	TUB			AISC- H1-3		
					0.01	0.00	
281	ST	L25			COMPRESSION		
				1.64 C	0.00	0.00	
282	ST	TUB	30303	PASS	0.00 AISC- H1-1	0. 154	9
				17.48 C	-0.01	-0.01	1.00
308	ST	TUB	25253	PASS	-0.01 AISC- H1-1	-0. 01 0. 178 0. 01	9
				4.66 C	0.00	0.01	1.53
322	ST	TUB	25253	PASS	AISC- H1-3	0.055	9
				3.38 C	0. 01	0.00	0.00
381	ST	L25	253	PASS	AISC- H1-3	0.061	9
001	~ 1	220		0. 28 C		0.00	1. 29
384	ST	L25	253			0. 215	
001	~ .	2=0			0.00		
424	ST	L25	253		AISC- H1-3		
	~ .	2=0			0.00		
443	ST	L25	253		AISC- H1-1		
110	51	220	200		0.00		
449	ST	125	253		AISC- H1-3		
110	51	220	200		0.00		
464	ST	1.20	202		AISC- H1-1		
101	01	L20	202		0.00	0.00	1.80
513	ST	1.20	202	PASS	AISC- H1-3	0.043	9
010	51	L20	202	0. 03 C	0.00	0.00	1. 40
526	ST	L25	252	PASS	AISC- H1-3	0.068	9
520	31	LZ0	200	0. 23 C	0.00	0.008	1.04
E20	СТ	1.05	059				
532	ST	L25	<u> 203</u>	PASS	COMPRESSION	0. 385 0. 00	9
600	СТ	L20	202	0.96 C	0.00		0.00 9
633	ST	LZU	202	PASS 0. 74 C	COMPRESSION	0. 653 0. 00	
				U. 14 U	0.00	0.00	0.00
C 4 C	CT	1.00	000	DACC	COMPDECCTON	0.000	0
640	21	L20	202	PASS	COMPRESSION	0. 682	9
				0.77 C	0.00	0.00	0.00

Peso propio de los elementos estructurales.

STEE	L TAKE	-0FF		
PRO	FILE		LENGTH (METE)	WEIGHT (MTON)
ST	TUB 3	0304	60. 90	0.797
ST	TUB 3	0303	61. 21	0.625
ST	TUB 2	5253	40. 11	0.332
ST	L25 2	53	459. 58	2. 102
ST	L20 2	02	186. 15	0.455
ST	PIP S	20	3.00	0.016
			TOTAL =	4. 33

Desplazamientos en los nodos.

JOINT	DISPLAG	CEMENT (CM	RADIANS)	STRUCT	STRUCTURE TYPE = SPACE				
JOINT	LOAD	X-TRANS	Y-TRANS	Z-TRANS	X-ROTAN	Y-ROTAN	Z-ROTAN		
43	12	50. 5992	-0. 1643	-0. 7743	0.0001	0.0000	-0. 0197		
	13	25. 1019	0.5345	17.9546	0.0071	0.0000	-0.0098		
	14	26.7187	-0.4269	-7.6935	-0.0029	0.0000	-0.0103		
77	12	50.6002	1.8067	-0.7755	0.0000	0.0000	-0.0197		
	13	25. 1022	0.8274	17. 9543	0.0070	0.0000	-0.0098		
	14	26.7198	0.8811	-7.6935	-0.0030	0.0000	-0.0103		
199	12	50.6013	-0.1077	-0.7743	0.0000	0.0000	-0.0197		
	13	25. 1038	-0.8063	17.9547	0.0071	0.0000	-0.0098		
	14	26.7205	0.1550	-7.6934	-0.0030	0.0000	-0.0103		
200	12	50.6002	-2.0788	-0.7776	0.0000	0.0000	-0.0197		
	13	25. 1023	-1.0992	17.9523	0.0070	0.0000	-0.0097		
	14	26.7199	-1. 1530	-7.6952	-0.0029	0.0000	-0.0103		

Elementos mecanicos de los miembros.

MEM	IBER EN	D FO	RCES STR' -	UCTURE TY	PE = SPACE	Ξ		
ALL UN	IITS AR	E	MTON METE					
MEMBER	LOAD	JT	AXIAL	SHEAR-Y	SHEAR-Z	TORSION	MOM-Y	MOM-Z
87	8	29	0.00	0.00	0.00	0.00	0.00	0.00
		70	0.00	0.00	0.00	0.00	0.00	0.00
	9	29	1.39	0.00	0.00	0.00	0.00	0.00
		70	-1.38	0.00	0.00	0.00	0.00	0.00
	10	29	0.24	0.00	0.00	0.00	0.00	0.00
		70	-0.24	0.00	0.00	0.00	0.00	0.00
	11	29	0.88	0.00	0.00	0.00	0.00	0.00
		70	-0.88	0.00	0.00	0.00	0.00	0.00
110	8	31	-0.01	0.00	0.00	0.00	0.00	0.00
		82	0.01	0.00	0.00	0.00	0.00	0.00
	9	31	0.02	0.00	0.00	0.00	0.00	0.00
		82	-0.02	0.00	0.00	0.00	0.00	0.00

	10	31	0.01	0.00	0.00	0.00	0.00	0.00
		82	-0.01	0.00	0.00	0.00	0.00	0.00
	11	31	0.01	0.00	0.00	0.00	0.00	0.00
		82	-0.01	0.00	0.00	0.00	0.00	0.00
178	8	109	2.44	0.02	0.00	0.00	0.00	0.02
		110	-2.42	-0.02	0.00	0.00	0.00	0.01
	9	109	31. 15	0.21	0.00	0.00	0.00	0.12
		110	-31. 14	-0.21	0.00	0.00	0.00	0. 12
	10	109	16. 10	0.11	0.03	0.00	-0.03	0.06
		110	-16.09	-0.11	-0.03	0.00	-0.01	0.06
	11	109	17. 25	0. 12	-0.01	0.00	0.01	0.07
		110	-17. 24	-0.12	0.01	0.00	0.00	0.07
199	8	113	2.64	0.02	0.00	0.00	0.00	0.02
		126	-2.62	-0.02	0.00	0.00	0.00	0.01
	9	113	34.82	0.21	0.00	0.00	0.00	0. 13
		126	-34. 81	-0.21	0.00	0.00	0.00	0. 12
	10	113	17. 97	0.11	0.03	0.00	-0.03	0.07
		126	-17.96	-0.11	-0.03	0.00	-0.01	0.06
	11	113	19. 17	0. 12	-0.01	0.00	0.01	0.07
		126	-19. 16	-0.12	0.01	0.00	0.00	0.07
236	8	148	0.07	0.00	0.00	0.00	0.00	0.00
		140	-0.07	0.00	0.00	0.00	0.00	0.00
	9	148	1.02	0.00	0.00	0.00	0.00	0.00
		140	-1.02	0.00	0.00	0.00	0.00	0.00
	10	148	0.33	0.00	0.00	0.00	0.00	0.00
		140	-0.33	0.00	0.00	0.00	0.00	0.00
	11	148	0.64	0.00	0.00	0.00	0.00	0.00
		140	-0.65	0.00	0.00	0.00	0.00	0.00
238	8	140	2. 14	0.02	0.00	0.00	0.00	0.02
		149	-2. 12	-0.02	0.00	0.00	0.00	0.01
	9	140	27. 35	0. 21	0.00	0.00	0.00	0. 13
		149	-27. 34	-0. 21	0.00	0.00	0.00	0. 12
	10	140	14. 12	0. 11	0.03	0.00	-0.03	0.07
	1.1	149	-14. 11	-0. 11	-0.03	0.00	-0.01	0.06
	11	140	15. 07	0. 12	-0.01	0.00	0.01	0.07
0.05	0	149	-15.06	-0. 12	0.01	0.00	0.00	0.07
265	8	153	0.32	0.00	0.00	0.00	0.00	0.00
	0	160	-0.31	0.00	0.00	0.00	0.00	0.00
	9	153 160	3. 14	0. 01 -0. 01	0. 00 0. 00	0. 00 0. 00	0. 00 0. 00	0. 01 0. 00
	10	153	-3. 14 1. 77		0.00	0.00	0.00	
	10	160	-1. 76	0. 01 0. 00	0.00	0.00	0.00	0. 00 0. 00
	11	153	1. 68	0.00	0.00	0.00	0.00	0.00
	11	160	-1. 68	0.01	0.00	0.00	0.00	0.00
266	8	153	1. 45	0.00	0.00	0.00	0.00	0.00
200	U	104	-1. 43	0.00	0.00	0.00	0.00	0.00
	9	153	18.80	-0.02	0.00	0.00	0.00	-0.01
	J	104	-18. 78	0. 02	0.00	0.00	0.00	-0. 02
	10	153	9. 70	-0. 01	0.00	0.00	0.00	0.02
	10	104	-9. 68	0. 01	0.00	0.00	0.00	-0.01
	11	153	10. 10	-0. 01	0.00	0.00	0.00	0.00
		100	10.10	V. VI	J. 00	·· · · · ·	·· · · · ·	J. 00

		104	-10.08	0.01	0.00	0.00	0.00	-0.01
276	8	168	1.63	0.00	0.00	0.00	0.00	0.00
		167	-1.62	0.00	0.00	0.00	0.00	0.00
	9	168	10. 16	0.00	-0.02	0.00	0.01	0.00
		167	-10. 16	0.00	0.02	0.00	0.01	0.00
	10	168	4. 98	0.01	-0.01	0.00	0.01	0.01
		167	-4.97	-0.01	0.01	0.00	0.00	0.00
	11	168	5. 57	0.00	-0.01	0.00	0.01	0.00
		167	-5. 56	0.00	0.01	0.00	0.01	0.00
281	8	103	0.00	0.00	0.00	0.00	0.00	0.00
		174	0.00	0.00	0.00	0.00	0.00	0.00
	9	103	1. 64	0.00	0.00	0.00	0.00	0.00
		174	-1.64	0.00	0.00	0.00	0.00	0.00
	10	103	0. 23	0.00	0.00	0.00	0.00	0.00
		174	-0. 23	0.00	0.00	0.00	0.00	0.00
	11	103	1. 13	0.00	0.00	0.00	0.00	0.00
		174	-1. 13	0.00	0.00	0.00	0.00	0.00
282	8	103	1.82	0.00	0.00	0.00	0.00	0.00
		175	-1.81	0.00	0.00	0.00	0.00	0.00
	9	103	17. 48	0.00	0.01	0.00	0.00	0.01
		175	-17.47	0.00	-0.01	0.00	-0.01	-0.01
	10	103	9. 28	-0.01	0.01	0.00	0.00	0.00
		175	-9. 27	0.01	-0.01	0.00	-0.01	-0.01
	11	103	9. 27	0.00	0.01	0.00	0.00	0.00
		175	-9. 26	0.00	-0.01	0.00	-0.01	0.00
308	8	186	1.30	0.00	0.00	0.00	0.00	0.00
		163	-1. 29	0.00	0.00	0.00	0.00	0.00
	9	186	4.66	0.01	0.00	0.00	0.01	0.00
		163	-4. 65	-0.01	0.00	0.00	0.00	0. 01
	10	186	2. 51	0.01	0.00	0.00	0.00	0.00
		163	-2.50	-0.01	0.00	0.00	0.00	0. 01
	11	186	2. 49	0.01	0.00	0.00	0.00	0.00
		163	-2. 48	0.00	0.00	0.00	0.00	0. 01
322	8	164	0.83	0.00	-0.01	0.00	0.00	0.00
	0	196	-0.82	0.00	0.01	0.00	0.00	0.00
	9	164	3. 38	0.00	-0.01	0.00	0. 01	0.00
	10	196	-3. 38	0.00	0.01	0.00	0.00	0.00
	10	164	1. 99	0.00	-0.01	0.00	0.00	0.00
	11	196	-1. 99	0.00	0.01	0.00	0.00	0.00
	11	164	1. 70	0.00	-0.01	0.00	0.00	0.00
201	0	196 87	-1. 70	0. 00 0. 00	0.01	0.00	0.00	0.00
381	8		-0. 03		0.00	0.00	0.00	0.00
	9	207 87	0. 03 0. 28	0. 00 0. 00	0. 00 0. 00	0.00	0. 00 0. 00	0. 00 0. 00
	9					0.00		
	10	207 87	-0. 28 0. 12	0. 00 0. 00				
	10							
	11	207 87	-0. 12 0. 15	0.00	0. 00 0. 00	0. 00 0. 00	0. 00 0. 00	0.00
	11	87 207	-0. 15	0. 00 0. 00	0.00	0.00	0.00	0.00
384	8	207 9	-0. 15 0. 00	0.00	0.00	0.00	0.00	0. 00 0. 00
504	O	206	-0. 01	0.00	0.00	0.00	0.00	0.00
		200	0.01	0.00	0.00	0.00	0.00	0.00

	9	9	0.70	0.00	0.00	0.00	0.00	0.00
		206	-0.70	0.00	0.00	0.00	0.00	0.00
	10	9	0.58	0.00	0.00	0.00	0.00	0.00
		206	-0.58	0.00	0.00	0.00	0.00	0.00
	11	9	0.28	0.00	0.00	0.00	0.00	0.00
		206	-0.29	0.00	0.00	0.00	0.00	0.00
424	8	213	-0.04	0.00	0.00	0.00	0.00	0.00
		133	0.04	0.00	0.00	0.00	0.00	0.00
	9	213	0.06	0.00	0.00	0.00	0.00	0.00
		133	-0.06	0.01	0.00	0.00	0.00	0.00
	10	213	-0.09	0.00	0.00	0.00	0.00	0.00
		133	0.09	0.00	0.00	0.00	0.00	0.00
	11	213	0.07	0.00	0.00	0.00	0.00	0.00
		133	-0.07	0.01	0.00	0.00	0.00	0.00
443	8	58	-0.23	0.00	0.00	0.00	0.00	0.00
		101	0.23	0.00	0.00	0.00	0.00	0.00
	9	58	1.74	0.00	0.00	0.00	0.00	0.00
		101	-1.74	0.01	0.00	0.00	0.00	0.00
	10	58	0.67	0.00	0.00	0.00	0.00	0.00
		101	-0.67	0.00	0.00	0.00	0.00	0.00
	11	58	0.96	0.00	0.00	0.00	0.00	0.00
		101	-0.96	0.00	0.00	0.00	0.00	0.00
449	8	83	-0.01	0.00	0.00	0.00	0.00	0.00
		170	0.01	0.00	0.00	0.00	0.00	0.00
	9	83	0.03	0.00	0.00	0.00	0.00	0.00
		170	-0.03	0.01	0.00	0.00	0.00	0.00
	10	83	0.00	0.00	0.00	0.00	0.00	0.00
		170	0.00	0.00	0.00	0.00	0.00	0.00
	11	83	0.01	0.00	0.00	0.00	0.00	0.00
		170	-0.01	0.00	0.00	0.00	0.00	0.00
464	8	184	-0. 29	0.00	0.00	0.00	0.00	0.00
		72	0.29	0.00	0.00	0.00	0.00	0.00
	9	184	0.68	0.00	0.00	0.00	0.00	0.00
		72	-0.68	0.00	0.00	0.00	0.00	0.00
	10	184	0.25	0.00	0.00	0.00	0.00	0.00
		72	-0. 25	0.00	0.00	0.00	0.00	0.00
	11	184	0.34	0.00	0.00	0.00	0.00	0.00
		72	-0.34	0.00	0.00	0.00	0.00	0.00
513	8	81	-0.01	0.00	0.00	0.00	0.00	0.00
		162	0. 01	0.00	0.00	0.00	0.00	0.00
	9	81	0. 03	0.00	0.00	0.00	0.00	0.00
		162	-0. 03	0.00	0.00	0.00	0.00	0.00
	10	81	0.02	0.00	0.00	0.00	0.00	0.00
		162	-0.02	0.00	0.00	0.00	0.00	0.00
	11	81	0.01	0.00	0.00	0.00	0.00	0.00
		162	-0. 01	0.00	0.00	0.00	0.00	0.00
526	8	84	-0. 02	0.00	0.00	0.00	0.00	0.00
020		221	0. 02	0.00	0.00	0.00	0.00	0.00
	9	84	0. 23	0.00	0.00	0.00	0.00	0.00
	V	221	-0. 23	0.00	0.00	0.00	0.00	0.00
	10	84	0. 23	0.00	0.00	0.00	0.00	0.00
	10	51	V. 11	0.00	0.00	0.00	0.00	0.00

		221	-0.14	0.00	0.00	0.00	0.00	0.00
	11	84	0.10	0.00	0.00	0.00	0.00	0.00
		221	-0.10	0.00	0.00	0.00	0.00	0.00
532	8	119	0.06	0.00	0.00	0.00	0.00	0.00
		222	-0.05	0.00	0.00	0.00	0.00	0.00
	9	119	0.96	0.00	0.00	0.00	0.00	0.00
		222	-0.95	0.00	0.00	0.00	0.00	0.00
	10	119	0.22	0.00	0.00	0.00	0.00	0.00
		222	-0.22	0.00	0.00	0.00	0.00	0.00
	11	119	0.54	0.00	0.00	0.00	0.00	0.00
		222	-0.53	0.00	0.00	0.00	0.00	0.00
633	8	164	0.01	0.00	0.00	0.00	0.00	0.00
		195	-0.01	0.00	0.00	0.00	0.00	0.00
	9	164	0.74	0.00	0.00	0.00	0.00	0.00
		195	-0.74	0.00	0.00	0.00	0.00	0.00
	10	164	0.14	0.00	0.00	0.00	0.00	0.00
		195	-0.14	0.00	0.00	0.00	0.00	0.00
	11	164	0.49	0.00	0.00	0.00	0.00	0.00
		195	-0.49	0.00	0.00	0.00	0.00	0.00
640	8	163	0.01	0.00	0.00	0.00	0.00	0.00
		36	-0.01	0.00	0.00	0.00	0.00	0.00
	9	163	0.77	0.00	0.00	0.00	0.00	0.00
		36	-0.77	0.00	0.00	0.00	0.00	0.00
	10	163	0.59	0.00	0.00	0.00	0.00	0.00
		36	-0.59	0.00	0.00	0.00	0.00	0.00
	11	163	0.30	0.00	0.00	0.00	0.00	0.00
		36	-0.30	0.00	0.00	0.00	0.00	0.00

Para el tercer modelo (tercera solución estructural), que corresponde a perfiles tubulares en las piernas de la torre se tiene:

Estado de esfuerzos.

STAAD-III CODE CHECKING - (AISC)

ALL UNI	TS A	ARE - MTON	METE (UNLES	SS OTHERWISE NOTED)		
MEMBER		TABLE	RESULT/	CRITICAL COND/	RATIO/	LOADING/
			FX	MY	MZ	LOCATION
======	====	=======				=======
87	ST	L25 253	PASS	COMPRESSION	0. 525	9
			1.20 C	0.00	0.00	0.00
110	ST	L20 202	PASS	AISC- H1-3	0.045	9
			0.01 C	0.00	0.00	0.00
178	ST	PIP S30	PASS	AISC- H1-1	0.274	9
			26.67 C	0.00	0.12	0.00
199	ST	PIP S30	PASS	AISC- H1-1	0.304	9
			29.77 C	0.00	0.12	0.00
236	ST	L25 253	PASS	COMPRESSION	0.257	9
			0.91 C	0.00	0.00	0.00
238	ST	PIP S30	PASS	AISC- H1-1	0. 244	9

			23.47 C	0.00	0.12	0.00
265	ST	L25 253			0.633	9
			2.95 C	0.00	0.01	0.00
266	ST	PIP S25	PASS	AISC- H1-1	0.956	9
			15.97 C	0.00	0.01	2.00
276	ST	PIP S25	PASS	AISC- H1-3	0. 136	9
			9.07 C	0.00	0.01	0.00
281	ST	L25 253	PASS	COMPRESSION	0.610	9
			1.39 C	0.00	0.00	0.00
282	ST	PIP S25	1.39 C PASS	AISC- H1-1	0. 229	9
			15.32 C	0.00	0.01	1.00
308	ST	PIP S25	15. 32 C PASS	AISC- H1-3	0. 148	9
			4.24 C PASS	0.00	0.01	1.53
322	ST	PIP S25	PASS	AISC- H1-3	0.046	9
			3.09 C	0.00	0.01	0.00
381	ST	L25 253		AISC- H1-3	0.057	9
			0.26 C	0.00	0.00	1. 29
384	ST	L25 253		COMPRESSION	0. 176	9
			0.57 C	0.00	0.00	0.00
424	ST	L25 253		AISC- H1-3	0.040	9
			0.04 C	0.00	0.00	0.00
443	ST	L25 253		AISC- H1-1	0.586	9
			1.64 C	0.00		1.80
449	ST	L25 253	PASS	AISC- H1-3		9
			0.02 C	0.00		1.80
464	ST	L20 202		AISC- H1-1	0.611	9
				0.00		1.80
513	ST	L20 202		AISC- H1-3		9
				0.00	0.00	1.40
526	ST	L25 253		AISC- H1-3	0.064	9
			0.22 C	0.00	0.00	1.04
532	ST	L25 253		COMPRESSION	0.330	9
				0.00		0.00
633	ST	L20 202		COMPRESSION		9
				0.00		0.00
640	ST	L20 202			0.609	9
			0.69 C	0.00	0.00	0.00

${\bf Peso\ propio\ de\ los\ elementos\ estructurales}.$

PROFILE	LENGTH (METE)	WEIGHT (MTON)
ST PIP S30	60.90	0.686
ST PIP S25	101.32	0.870
ST L25 253	459.58	2. 102
ST L20 202	186. 15	0.455
ST PIP S20	3.00	0.016
	TOTAL =	4. 13

Desplazamientos en los nodos.

JOINT D	ISPLACE	EMENT (CM	RADIANS)	STRUCTU	RE TYPE =	SPACE	
JOINT	LOAD	X-TRANS	Y-TRANS	Z-TRANS	X-ROTAN	Y-ROTAN	Z-ROTAN
43	12	50. 5580	-0.1866	-0.9000	0.0000	0.0000	-0.0197
	13	26. 9968	0.5493	18.7053	0.0074	0.0000	-0.0106
	14	31.0503	-0.4911	-8.9410	-0.0034	0.0000	-0.0119
77	12	50. 5590	1.7940	-0.9010	-0.0001	0.0000	-0.0198
	13	26. 9973	0.8867	18.7050	0.0073	0.0000	-0.0106
	14	31.0514	1.0263	-8.9410	-0.0034	0.0000	-0.0120
199	12	50. 5601	-0.1205	-0.8999	-0.0001	0.0000	-0.0197
	13	26. 9989	-0.8561	18.7054	0.0074	0.0000	-0.0105
	14	31.0521	0. 1843	-8.9409	-0.0034	0.0000	-0.0119
200	12	50. 5590	-2.1011	-0.9031	-0.0001	0.0000	-0.0197
	13	26. 9973	-1. 1935	18.7030	0.0074	0.0000	-0.0105
	14	31.0515	-1.3332	-8.9428	-0.0034	0.0000	-0.0119

Elementos mecanicos.

MEMBER	LOAD	JT	AXIAL	SHEAR-Y	SHEAR-Z	TORSION	MOM-Y	MOM-Z
87	8	29	0.00	0.00	0.00	0.00	0.00	0.00
		70	0.00	0.00	0.00	0.00	0.00	0.00
	9	29	1. 20	0.00	0.00	0.00	0.00	0.00
		70	-1. 20	0.00	0.00	0.00	0.00	0.00
	10	29	0. 24	0.00	0.00	0.00	0.00	0.00
		70	-0.24	0.00	0.00	0.00	0.00	0.00
	11	29	0.88	0.00	0.00	0.00	0.00	0.00
		70	-0.88	0.00	0.00	0.00	0.00	0.00
110	8	31	0.00	0.00	0.00	0.00	0.00	0.00
		82	0.00	0.00	0.00	0.00	0.00	0.00
	9	31	0.01	0.00	0.00	0.00	0.00	0.00
		82	-0.01	0.00	0.00	0.00	0.00	0.00
	10	31	0.00	0.00	0.00	0.00	0.00	0.00
		82	0.00	0.00	0.00	0.00	0.00	0.00
	11	31	0.01	0.00	0.00	0.00	0.00	0.00
		82	-0.01	0.00	0.00	0.00	0.00	0.00
178	8	109	2.39	0.02	0.00	0.00	0.00	0.02
		110	-2.38	-0.02	0.00	0.00	0.00	0.01
	9	109	26.67	0.20	0.00	0.00	0.00	0.12
		110	-26.66	-0.20	0.00	0.00	0.00	0.11
	10	109	14.81	0.11	0.03	0.00	-0.03	0.07
		110	-14.80	-0.11	-0.03	0.00	-0.01	0.06
	11	109	17. 19	0.13	-0.01	0.00	0.01	0.08
		110	-17. 18	-0.13	0.01	0.00	0.00	0.07
199	8	113	2. 59	0.02	0.00	0.00	0.00	0.02
		126	-2.58	-0.02	0.00	0.00	0.00	0.01
	9	113	29.77	0.20	0.00	0.00	0.00	0.12
		126	-29. 76	-0.20	0.00	0.00	0.00	0.11
	10	113	16.48	0.11	0.03	0.00	-0.03	0.07
		126	-16. 47	-0.11	-0.03	0.00	-0.01	0.06

	11	113	19. 12	0.13	-0.01	0.00	0.01	0.08
		126	-19. 11	-0.13	0.01	0.00	0.00	0.07
236	8	148	0.08	0.00	0.00	0.00	0.00	0.00
		140	-0.08	0.00	0.00	0.00	0.00	0.00
	9	148	0.91	0.00	0.00	0.00	0.00	0.00
		140	-0.92	0.00	0.00	0.00	0.00	0.00
	10	148	0.36	0.00	0.00	0.00	0.00	0.00
		140	-0.36	0.00	0.00	0.00	0.00	0.00
	11	148	0.67	0.00	0.00	0.00	0.00	0.00
		140	-0.68	0.00	0.00	0.00	0.00	0.00
238	8	140	2.10	0.03	0.00	0.00	0.00	0.02
		149	-2.08	-0.02	0.00	0.00	0.00	0.01
	9	140	23.47	0.20	0.00	0.00	0.00	0.12
		149	-23.46	-0.20	0.00	0.00	0.00	0.11
	10	140	13.04	0.11	0.03	0.00	-0.03	0.07
		149	-13.03	-0.11	-0.03	0.00	-0.01	0.06
	11	140	14. 99	0.13	-0.01	0.00	0.01	0.08
		149	-14. 98	-0.13	0.01	0.00	0.00	0.07
265	8	153	0.36	0.00	0.00	0.00	0.00	0.00
		160	-0.35	0.00	0.00	0.00	0.00	0.00
	9	153	2.95	0.01	0.00	0.00	0.00	0.01
		160	-2.95	-0.01	0.00	0.00	0.00	0.00
	10	153	1.88	0.01	0.00	0.00	0.00	0.00
		160	-1.88	0.00	0.00	0.00	0.00	0.00
	11	153	1.79	0.01	0.00	0.00	0.00	0.00
		160	-1.79	0.00	0.00	0.00	0.00	0.00
266	8	153	1. 37	0.00	0.00	0.00	0.00	0.00
		104	-1.36	0.00	0.00	0.00	0.00	0.00
	9	153	15.97	-0.01	0.00	0.00	0.00	0.00
		104	-15.96	0.01	0.00	0.00	0.00	-0.01
	10	153	8.88	0.00	0.00	0.00	0.00	0.00
		104	-8.86	0.00	0.00	0.00	0.00	-0.01
	11	153	9.85	-0.01	0.00	0.00	0.00	0.00
		104	-9.84	0.01	0.00	0.00	0.00	-0.01
276	8	168	1.62	0.00	0.00	0.00	0.00	0.00
		167	-1.61	0.00	0.00	0.00	0.00	0.00
	9	168	9.07	0.00	-0.02	0.00	0.01	0.00
		167	-9.07	0.00	0.02	0.00	0.01	0.00
	10	168	4.80	0.01	-0.01	0.00	0.01	0.00
		167	-4.80	-0.01	0.01	0.00	0.00	0.00
	11	168	5. 57	0.00	-0.01	0.00	0.01	0.00
		167	-5. 56	0.00	0.01	0.00	0.01	0.00
281	8	103	0.00	0.00	0.00	0.00	0.00	0.00
		174	0.00	0.00	0.00	0.00	0.00	0.00
	9	103	1. 39	0.00	0.00	0.00	0.00	0.00
		174	-1.39	0.00	0.00	0.00	0.00	0.00
	10	103	0.23	0.00	0.00	0.00	0.00	0.00
		174	-0. 23	0.00	0.00	0.00	0.00	0.00
	11	103	1. 13	0.00	0.00	0.00	0.00	0.00
		174	-1. 13	0.00	0.00	0.00	0.00	0.00
282	8	103	1.81	0.00	0.00	0.00	0.00	0.00

		175	-1.80	0.00	0.00	0.00	0.00	0.00
	9	103	15. 32	0.00	0.01	0.00	0.00	0.01
		175	-15. 31	0.00	-0.01	0.00	-0.01	0.00
	10	103	8. 75	0.00	0.01	0.00	0.00	0.00
		175	-8. 75	0.00	-0.01	0.00	-0.01	-0.01
	11	103	9. 26	0.00	0.01	0.00	0.00	0.00
		175	-9. 25	0.00	-0.01	0.00	-0.01	0.00
308	8	186	1. 31	0.00	0.00	0.00	0.00	0.00
		163	-1. 29	0.00	0.00	0.00	0.00	0.00
	9	186	4. 24	0.01	0.00	0.00	0.01	0.00
		163	-4. 23	-0.01	0.00	0.00	0.00	0.01
	10	186	2.46	0.01	0.00	0.00	0.00	0.00
		163	-2.45	0.00	0.00	0.00	0.00	0.01
	11	186	2. 49	0.01	0.00	0.00	0.00	0.00
		163	-2.48	0.00	0.00	0.00	0.00	0.01
322	8	164	0.83	0.00	-0.01	0.00	0.00	0.00
		196	-0.82	0.00	0.01	0.00	0.00	0.00
	9	164	3. 09	0.00	-0.01	0.00	0.00	0.00
		196	-3.08	0.00	0.01	0.00	0.00	0.00
	10	164	1. 95	0.00	-0.01	0.00	0.00	0.00
		196	-1.95	0.00	0.01	0.00	0.00	0.00
	11	164	1. 70	0.00	-0.01	0.00	0.00	0.00
		196	-1.70	0.00	0.01	0.00	0.00	0.00
381	8	87	-0.03	0.00	0.00	0.00	0.00	0.00
		207	0.03	0.00	0.00	0.00	0.00	0.00
	9	87	0. 26	0.00	0.00	0.00	0.00	0.00
		207	-0. 26	0.00	0.00	0.00	0.00	0.00
	10	87	0. 12	0.00	0.00	0.00	0.00	0.00
		207	-0. 12	0.00	0.00	0.00	0.00	0.00
	11	87	0. 16	0.00	0.00	0.00	0.00	0.00
		207	-0. 16	0.00	0.00	0.00	0.00	0.00
384	8	9	0.00	0.00	0.00	0.00	0.00	0.00
		206	-0. 01	0.00	0.00	0.00	0.00	0.00
	9	9	0. 57	0.00	0.00	0.00	0.00	0.00
		206	-0. 58	0.00	0.00	0.00	0.00	0.00
	10	9	0.50	0.00	0.00	0.00	0.00	0.00
		206	-0.50	0.00	0.00	0.00	0.00	0.00
	11	9	0. 28	0.00	0.00	0.00	0.00	0.00
40.4	0	206	-0. 28	0.00	0.00	0.00	0.00	0.00
424	8	213	-0. 03	0.00	0.00	0.00	0.00	0.00
	0	133	0.03	0.00	0.00	0.00	0.00	0.00
	9	213	0.04	0.00	0.00	0.00	0.00	0.00
	10	133	-0.04	0.01	0.00	0.00	0.00	0.00
	10	213	-0.08	0.00	0.00	0.00	0.00	0.00
	11	133	0.08	0.00	0.00	0.00	0.00	0.00
	11	213	0.06	0.00	0.00	0.00	0.00	0.00
4.40	0	133	-0.06	0.01	0.00	0.00	0.00	0.00
443	8	58	-0. 25	0.00	0.00	0.00	0.00	0.00
	0	101	0. 25	0.00	0.00	0.00	0.00	0.00
	9	58 101	1. 64	0.00	0.00	0.00	0.00	0.00
		101	-1.64	0.00	0.00	0.00	0.00	0.00

	10	58	0.63	0.00	0.00	0.00	0.00	0.00
		101	-0.63	0.00	0.00	0.00	0.00	0.00
	11	58	1.08	0.00	0.00	0.00	0.00	0.00
		101	-1.08	0.00	0.00	0.00	0.00	0.00
449	8	83	-0.01	0.00	0.00	0.00	0.00	0.00
		170	0.01	0.00	0.00	0.00	0.00	0.00
	9	83	0.02	0.00	0.00	0.00	0.00	0.00
		170	-0.02	0.00	0.00	0.00	0.00	0.00
	10	83	0.00	0.00	0.00	0.00	0.00	0.00
		170	0.00	0.00	0.00	0.00	0.00	0.00
	11	83	0.01	0.00	0.00	0.00	0.00	0.00
		170	-0.01	0.00	0.00	0.00	0.00	0.00
464	8	184	-0.29	0.00	0.00	0.00	0.00	0.00
		72	0.29	0.00	0.00	0.00	0.00	0.00
	9	184	0.60	0.00	0.00	0.00	0.00	0.00
		72	-0.60	0.00	0.00	0.00	0.00	0.00
	10	184	0.24	0.00	0.00	0.00	0.00	0.00
		72	-0.24	0.00	0.00	0.00	0.00	0.00
	11	184	0.33	0.00	0.00	0.00	0.00	0.00
		72	-0.33	0.00	0.00	0.00	0.00	0.00
513	8	81	-0.01	0.00	0.00	0.00	0.00	0.00
		162	0.01	0.00	0.00	0.00	0.00	0.00
	9	81	0.03	0.00	0.00	0.00	0.00	0.00
		162	-0.03	0.00	0.00	0.00	0.00	0.00
	10	81	0.02	0.00	0.00	0.00	0.00	0.00
		162	-0.02	0.00	0.00	0.00	0.00	0.00
	11	81	0.01	0.00	0.00	0.00	0.00	0.00
		162	-0.01	0.00	0.00	0.00	0.00	0.00
526	8	84	-0.03	0.00	0.00	0.00	0.00	0.00
		221	0.03	0.00	0.00	0.00	0.00	0.00
	9	84	0. 22	0.00	0.00	0.00	0.00	0.00
		221	-0. 22	0.00	0.00	0.00	0.00	0.00
	10	84	0. 14	0.00	0.00	0.00	0.00	0.00
	4.4	221	-0.14	0.00	0.00	0.00	0.00	0.00
	11	84	0.11	0.00	0.00	0.00	0.00	0.00
F20	0	221	-0.11	0.00	0.00	0.00	0.00	0.00
532	8	119	0.06	0.00	0.00	0.00	0.00	0.00
	0	222	-0.05	0.00	0.00	0.00	0.00	0.00
	9	119 222	0. 82 -0. 82	0. 00 0. 00	0. 00 0. 00	0. 00 0. 00	0. 00 0. 00	0.00
	10		-0. 82 0. 21	0.00	0.00			0.00
	10	119 222	-0. 21	0.00	0.00	0. 00 0. 00	0. 00 0. 00	0. 00 0. 00
	11	119	0. 21	0.00	0.00	0.00	0.00	0.00
	11	222	-0. 54	0.00	0.00	0.00	0.00	0.00
533	8	222	0. 01	0.00	0.00	0.00	0.00	0.00
000	U	113	0.00	0.00	0.00	0.00	0.00	0.00
	9	222	-0.36	0.00	0.00	0.00	0.00	0.00
	Э	113	0.37	0.00	0.00	0.00	0.00	0.00
	10	222	0. 14	0.00	0.00	0.00	0.00	0.00
	10	113	-0.13	0.00	0.00	0.00	0.00	0.00
	11	222	-0. 29	0.00	0.00	0.00	0.00	0.00
			V. 20	J. 00		J. 00		·· · · · ·

		113	0.30	0.00	0.00	0.00	0.00	0.00
633	8	164	0.01	0.00	0.00	0.00	0.00	0.00
		195	-0.01	0.00	0.00	0.00	0.00	0.00
	9	164	0.67	0.00	0.00	0.00	0.00	0.00
		195	-0.66	0.00	0.00	0.00	0.00	0.00
	10	164	0.14	0.00	0.00	0.00	0.00	0.00
		195	-0.14	0.00	0.00	0.00	0.00	0.00
	11	164	0.49	0.00	0.00	0.00	0.00	0.00
		195	-0.49	0.00	0.00	0.00	0.00	0.00
640	8	163	0.01	0.00	0.00	0.00	0.00	0.00
		36	-0.01	0.00	0.00	0.00	0.00	0.00
	9	163	0.69	0.00	0.00	0.00	0.00	0.00
		36	-0.69	0.00	0.00	0.00	0.00	0.00
	10	163	0.57	0.00	0.00	0.00	0.00	0.00
		36	-0.57	0.00	0.00	0.00	0.00	0.00
	11	163	0.30	0.00	0.00	0.00	0.00	0.00
		36	-0.30	0.00	0.00	0.00	0.00	0.00

Estos archivos de resultados son como ya se dijo de los elementos más esforzados de cada tramo de la torre, en cada uno de los ocho tramos se identificaron tres elementos, que corresponden a los miembros estructurales piernas, montante. diagonal y montante horizontal, respectivamente. Estos miembros se identifican en las figuras No. V a V.1

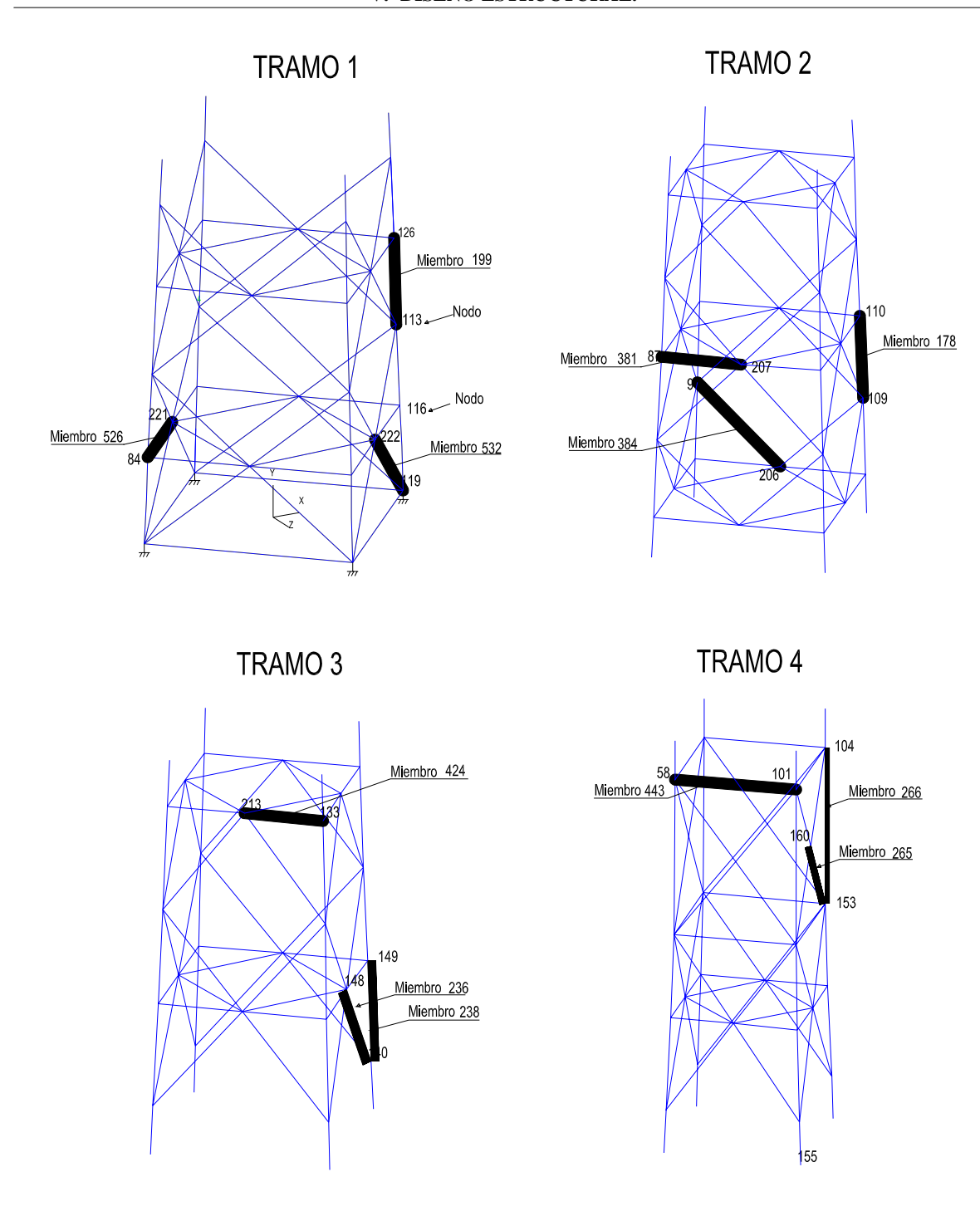


Figura No. V Elementos más esforzados tramos 1 al 4 de los tres modelos

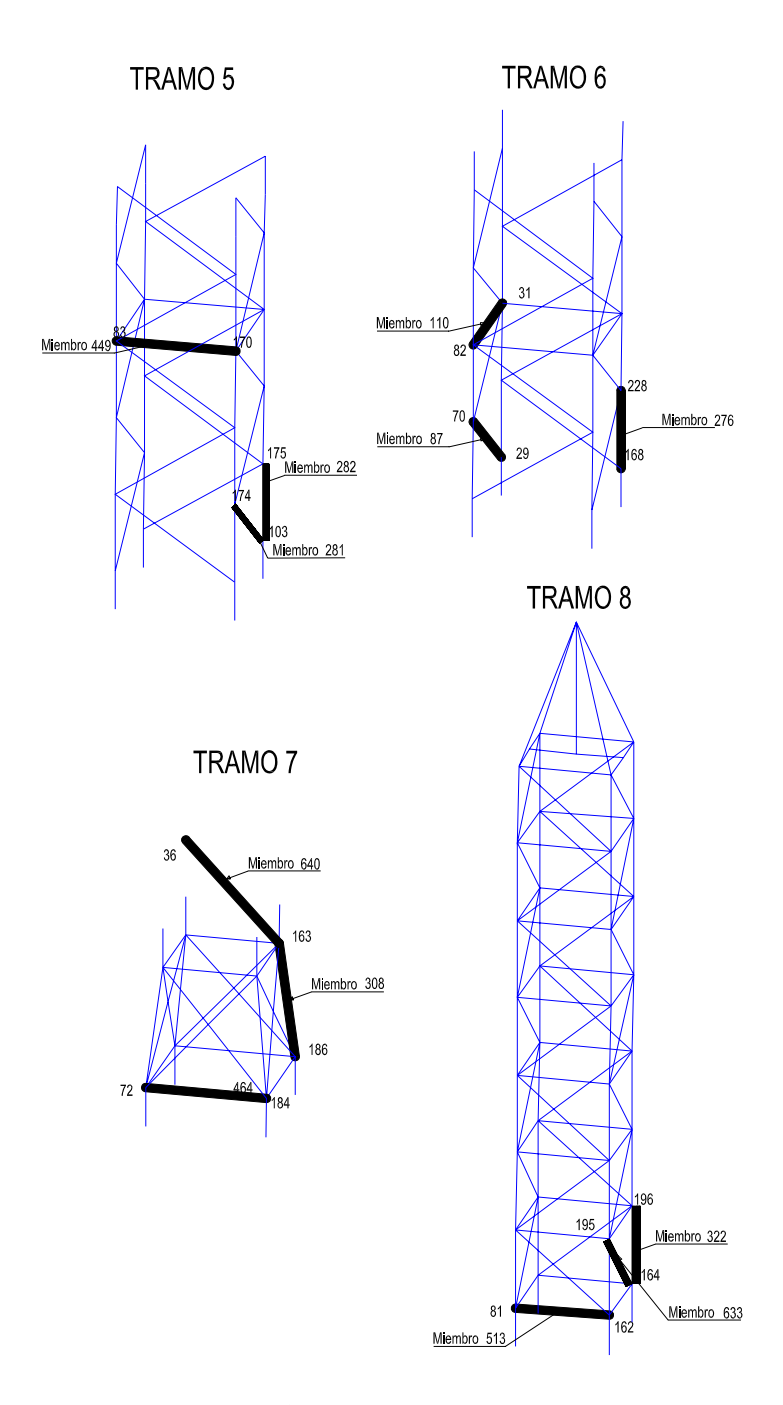


Figura No. V.1 Elementos más esforzados tramos 5 al 8 de los tres modelos.

Estos archivos de salida se traducen en las siguientes tablas que a continuación se presentan. para las tres modelos en estudio.

Tabla No. V Miembros mas esforzados de cada tramo para el modelo 1 (solución 1) que corresponde a perfiles de sección angular en las piernas de la torre.

perfiles de sección angular en las piernas de la torre. STAAD-III CODE CHECKING - (AISC)										
	ALL UN			LESS OTHERV						
TRAMO	MEMBER	TABLE	RESULT/	CRITICAL COND/	RATIO/	LOADING/				
			FX	MY	MZ	LOCATION				
PIERNAS										
			PASS	AISC- H1-1	0.602	9				
1	199	ST L40 407	35.01 C	0	0.06	0				
			PASS	AISC- H1-1	0.54	9				
2	178	ST L40 407	31.36 C	0	0.06	1.16				
			PASS	AISC- H1-1	0.485	9				
3	238	ST L40 407	27.62 C	0	0.06	0				
			PASS	AISC- H1-1	0.951	9				
4	266	ST L40 407	19.79 C	0.01	-0.01	2				
-	000	OT 1 40 400	PASS	AISC- H1-1	0.301	9				
5	282	ST L40 406	17.50 C	-0.01	-0.01	1				
	070	CT 1 40 400	PASS	AISC- H1-1	0.177	9				
6	276	ST L40 406	10.17 C	0.02	0	0				
7	000	OT 100 000	PASS	AISC- H1-1	0.652	9				
7	308	ST L30 303	4.49 C	0.01	0	0				
0	222	CT 1 20 202	PASS	AISC- H1-1	0.351	9				
8	322	ST L30 303	3.37 C	0.01	0	0				
			MONT DIAGONA	ALES						
1	F20	ST L25 253	PASS	COMPRESSION	0.375	9				
'	532		0.93 C	0	0	0				
2	384	ST L25 253	PASS	COMPRESSION	0.241	9				
	304	ST L25 253	0.78 C	0	0	0				
3	236	ST L25 253	PASS	COMPRESSION	0.232	9				
3			0.83 C	0	0	0				
4	265	ST L25 253	PASS	AISC- H1-1	0.512	9				
-	200		2.51 C	0	0	0				
5	281	ST L25 253	PASS	COMPRESSION	0.72	9				
	201	01 220 200	1.65 C	0	0	0				
6	87	ST L25 253	PASS	COMPRESSION	0.608	9				
			1.39 C	0	0	0				
7	640	ST L20 202	PASS	COMPRESSION	0.686	9				
			0.78 C	0	0	0				
8	633	ST L20 202	PASS	COMPRESSION	0.656	9				
			0.74 C	0	0	0				
			MONT HORIZON							
1	526	ST L25 253	PASS	AISC- H1-3	0.039	9				
			0.12 C	0	0	0.91				
2	381	ST L25 253	PASS	AISC- H1-3	0.037	9				
			0.17 C	0	0	1.29				
3	424	ST L25 253	PASS	AISC- H1-3	0.034	9				
			0.13 C	0	0	0				
4	443	ST L25 253	PASS	AISC- H1-1	0.486	9				
			1.34 C	0	0	1.8				
5	449	ST L25 253	PASS	AISC- H1-3	0.027	9				
	<u> </u>	-: 220 200	0.02 C	0	0	1.8				
6	110	ST L20 202	PASS	AISC- H1-3	0.047	9				
		0. 220 202	0.02 C	0	0	0				
7	464	ST L20 202	PASS	AISC- H1-1	0.68	9				
			0.67 C	0	0	1.8				
8	513	ST L20 202	PASS	AISC- H1-3	0.052	9				
			0.04 C	0	0	1.4				

Tabla No. V.1 Miembros mas esforzados de cada tramo para el modelo 2 (solución 2) que corresponde a perfiles de sección cajon PTR, en las piernas de la torre.

			AD-III CODE	CHECKING - (A	(ISC)	
	ALL UN	ITS ARE - MTO	N METE (UNL	.ESS OTHERWI	SE NOTED)	
TRAMO	MEMBER	TABLE	RESULT/	CRITICAL COND/	RATIO/	LOADING/
			FX	MY	MZ	LOCATION
			PIERNAS			
1	199	ST TUB 30304	PASS	AISC- H1-1	0.336	9
'	100	01 102 00001	34.82 C	0	0.13	0
2	178	ST TUB 30304	PASS	AISC- H1-1	0.302	9
_		002 0000.	31.15 C	0	0.12	0
3	238	ST TUB 30304	PASS	AISC- H1-1	0.268	9
	200	002 0000.	27.35 C	0	0.13	0
4	266	ST TUB 30303	PASS	AISC- H1-1	0.662	9
·			18.80 C	0	-0.02	2
5	282	ST TUB 30303	PASS	AISC- H1-1	0.154	9
Ŭ			17.48 C	-0.01	-0.01	1
6	276	ST TUB 30303	PASS	AISC- H1-3	0.089	9
-			10.16 C	0.01	0	0
7	308	ST TUB 25253	PASS	AISC- H1-1	0.178	9
			4.66 C	0	0.01	1.53
8	322	ST TUB 25253	PASS	AISC- H1-3	0.055	9
ŭ	-		3.38 C	0.01	0	0
			MONT DIAGONA			
1	532	ST L25 253	PASS	COMPRESSION	0.385	9
•			0.96 C	0	0	0
2	384	ST L25 253	PASS	COMPRESSION	0.215	9
			0.70 C	0	0	0
3	236	ST L25 253	PASS	COMPRESSION	0.285	9
_			1.02 C	0	0	0
4	265	ST L25 253	PASS	AISC- H1-1	0.675	9
			3.14 C	0	0.01	0
5	281	ST L25 253	PASS	COMPRESSION	0.718	9
			1.64 C	0	0	0
6	87	ST L25 253	PASS	COMPRESSION	0.606	9
			1.39 C	0	0	0
7	640	ST L20 202	PASS	COMPRESSION	0.682	9
			0.77 C	0	0	0
8	633	ST L20 202	PASS	COMPRESSION	0.653	9
			0.74 C	0	0	0
		M.	ONT HORIZONT		0.000	_
1	526	ST L25 253	PASS	AISC- H1-3	0.068	9
			0.23 C	0	0 061	1.04
2	381	ST L25 253	PASS	AISC- H1-3	0.061	9
			0.28 C PASS	0 AISC- H1-3	0 041	1.29 9
3	424	ST L25 253		AISC- H1-3	0.041	_
		+	0.06 C PASS	0 AISC- H1-1	0.628	9
4	443	ST L25 253				
		+	1.74 C PASS	0 AISC- H1-3	0 020	1.8 9
5	449	ST L25 253			0.029	
			0.03 C	0	0 05	1.8
6	110	ST L20 202	PASS 0.03.C	AISC- H1-3	0.05	9
			0.02 C	0 AISC- H1-1	0 691	9
7	464	ST L20 202	PASS	AISC- H1-1	0.691	_
			0.68 C	0	0 043	1.8
8	513	ST L20 202	PASS 0.03 C	AISC- H1-3 0	0.043 0	9 1.4

V.- DISEÑO ESTRUCTURAL.

Tabla No. V.2 Miembros mas esforzados de cada tramo para el modelo 3 (solución 3), que corresponde a perfiles de sección tubular en las piernas de la torre.

a perfiles de sección tubular en las piernas de la torre. STAAD-III CODE CHECKING - (AISC)						
	ALL UNITS ARE - MTON METE (UNLESS OTHERWISE NOTED)					
TRAMO	MEMBER	TABLE	RESULT/		RATIO/	LOADING/
IKAWO	IVICIVIDER	IADLE		CRITICAL COND/		
			FX	MY	MZ	LOCATION
	1	ı	PIERNAS	1100 114 4	2 224	
1	199	ST PIP S30	PASS	AISC- H1-1	0.304	9
			29.77 C	0	0.12	0
2	178	ST PIP S30	PASS	AISC- H1-1	0.274	9
			26.67 C	0	0.12	0
3	238	ST PIP S30	PASS	AISC- H1-1	0.244	9
			23.47 C	0	0.12	0
4	266	ST PIP S25	PASS	AISC- H1-1	0.956	9
			15.97 C	0	0.01	2
5	282	ST PIP S25	PASS	AISC- H1-1	0.229	9
			15.32 C	0	0.01	1
6	276	ST PIP S25	PASS	AISC- H1-3	0.136	9
			9.07 C	0	0.01	0
7	308	ST PIP S25	PASS	AISC- H1-3	0.148	9
•		- 1 525	4.24 C	0	0.01	1.53
8	322	ST PIP S25	PASS	AISC- H1-3	0.046	9
0	OZZ	01 111 020	3.09 C	0	0.01	0
			MONT DIAGONA	LES		
1	532	ST L25 253	PASS	COMPRESSION	0.33	9
ı			0.82 C	0	0	0
2	384	ST L25 253	PASS	COMPRESSION	0.176	9
2			0.57 C	0	0	0
3	236	ST L25 253	PASS	COMPRESSION	0.257	9
3			0.91 C	0	0	0
4	265	ST L25 253	PASS	AISC- H1-1	0.633	9
4			2.95 C	0	0.01	0
F	281	ST L25 253	PASS	COMPRESSION	0.61	9
5			1.39 C	0	0	0
0	87	ST L25 253	PASS	COMPRESSION	0.525	9
6			1.20 C	0	0	0
-	640	ST L20 202	PASS	COMPRESSION	0.609	9
7			0.69 C	0	0	0
_	633	ST L20 202	PASS	COMPRESSION	0.588	9
8			0.67 C	0	0	0
	•	N	MONT HORIZONT	ALES		1
			PASS	AISC- H1-3	0.064	9
1	526	ST L25 253	0.22 C	0	0	1.04
			PASS	AISC- H1-3	0.057	9
2	381	ST L25 253	0.26 C	0	0	1.29
			PASS	AISC- H1-3	0.04	9
3	424	ST L25 253	0.04 C	0	0	0
	 		PASS	AISC- H1-1	0.586	9
4	443	ST L25 253	1.64 C	0	0	1.8
	 		PASS	AISC- H1-3	0.023	9
5	449	ST L25 253	0.02 C	0	0	1.8
	 		PASS	AISC- H1-3	0.045	9
6	110	ST L20 202	0.01 C	0	0.045	0
			PASS	AISC- H1-1	0.611	9
7	464	ST L20 202	0.60 C	0 AISC- H1-1	0.611	-
	-		PASS	AISC- H1-3		1.8 9
8	513	ST L20 202			0.038	
			0.03 C	0	0	1.4

V.- DISEÑO ESTRUCTURAL.

La explicación de las tablas se hace a continuación, la columna 1 es el tramo correspondiente de la torre, la columna 2 corresponde a los elementos estructurales mas esforzados de cada tramo piernas, montantes diagonales y montantes horizontales, la columna 3 corresponde a la sección transversal del perfil estructural, la columna 4 presenta el resultado del análisis y la fuerza axial resultante.

La columna 5 hace referencia al manual del AISC, que se refiere a las siguientes expresiones.

$$\frac{f_a}{F_a} + \frac{C_{mx} f_{bx}}{(1 - \frac{f_a}{F_{ex}}) F_{bx}} + \frac{C_{my} f_{by}}{(1 - \frac{f_a}{F_{ex}}) F_{by}} \le 1.0 \quad \text{Si} \quad f_a / F_a > 0.15 ---- \text{ec .(H1-1)}$$

$$\frac{f_a}{0.6Fy} + \frac{f_{bx}}{F_{bx}} + \frac{f_{by}}{F_{by}} \le 1.0$$
 Si $f_a/F_a > 0.15$ -----ec. (HI-2)

$$\frac{f_a}{F_a} + \frac{f_{bx}}{F_{bx}} + \frac{f_{by}}{F_{by}} \le 1.0$$
 Si $f_a/F_a \le 0.15$ -----ec (H1-3)

Mismas que aparecen en manual del Instituto Mexicano De La Construcción en Acero (I.M.C.A).

En donde:

La columna 6 se refiere a la relación de esfuerzos determinada mediante las expresiones del manual del AISC. Y finalmente la columna 7 se refiere a la longitud del elemento estructural en donde se encuentra la sección mas esforzada, y a la combinación de carga mas desfavorable para el elemento estructural, recordemos que la combinación 9 se trata de Peso propio+Carga muerta+ Viento en la dirección X).

Se considera una reducción de las fuerzas actuantes al 75% por tratarse de una combinación de carga accidental, para compararse fácilmente con el 100% permitido.

V.- DISEÑO ESTRUCTURAL.

La tabla siguiente resume los perfiles que resultarón optimos en cada uno de los modelos.

Tabla No. V.3 Resultado final de diseño para los tres casos. Secciones de perfiles estructurales en los miembros de la torre.

Tramo	Elemento	SOL. 1	SOL. 2	SOL. 3
Traino	Liemento	Seccion	Seccion	Seccion
		in x in	in x in	in x in
	Piernas	LI 4 x 7/16	OR 3. x 0.25	OC3.5 x0.216
1	mont diag	LI 2 1/2 x 3/16	LI 2 1/2 x 3/16	LI 2 1/2 x 3/16
'	mont horz int	LI 2 1/2 x 3/16	LI 2 1/2 x 3/16	LI 2 1/2 x 3/16
	mont horz ext	LI 2 1/2 x 3/16	LI 2 1/2 x 3/16	LI 2 1/2 x 3/16
	Piernas	LI 4 x 7/16	OR 3. x 0.25	OC3.5 x0.216
2	mont diag	LI 2 1/2 x 3/16	LI 2 1/2 x 3/16	LI 2 1/2 x 3/16
	mont horz int	LI 2 x 1/8	LI 2 x 1/8	LI 2 x 1/8
	mont horz ext	LI 2 1/2 x 3/16	LI 2 1/2 x 3/16	LI 2 1/2 x 3/16
	Piernas	LI 4 x 7/16	OR 3. x 0.25	OC3.5 x0.216
3	mont diag	LI 2 1/2 x 3/16	LI 2 1/2 x 3/16	LI 2 1/2 x 3/16
	mont horz int	LI 2 x 1/8	LI 2 x 1/8	LI 2 x 1/8
	mont horz ext	LI 2 1/2 x 3/16	LI 2 1/2 x 3/16	LI 2 1/2 x 3/16
	Piernas	LI 4 x 7/16	OR 3. x 0.1875	OC2.875x0.203
4	mont diag	LI 2 1/2 x 3/16	LI 2 1/2 x 3/16	LI 2 1/2 x 3/16
7	mont horz int	LI 2 x 1/8	LI 2 x 1/8	LI 2 x 1/8
	mont horz ext	LI 2 1/2 x 3/16	LI 21/2 x 3/16	LI 2 1/2 x 3/16
	Piernas	LI 4 x 3/8	OR 3 x 0.188	OC2.875x0.203
5	mont diag	LI 2 1/2 x 3/16	LI 2 1/2 x 3/16	LI 2 1/2 x 3/16
	mont horz int			
	mont horz ext	LI 2 1/2 x 3/16	LI 2 1/2 x 3/16	LI 2 1/2 x 3/16
	Piernas	LI 4 x 3/8	OR 3 x 0.188	OC2.875x0.203
6	mont diag	LI 2 1/2 x 3/16	LI 2 1/2 x 3/16	LI 2 1/2 x 3/16
	mont horz int			
	mont horz ext	LI 2 x 1/8	LI 2 x 1/8	LI 2 x 1/8
	Piernas	LI 3 x3/16	OR 2.5 x 0.188	OC2.875x0.203
7	mont diag	LI 2 x1/8	LI 2 x1/8	LI 2 x1/8
,	mont horz int			
	mont horz ext	LI 2 x1/8	LI 2 x1/8	LI 2 x1/8
	Piernas Piernas	LI 3 x3/16	OR 2.5 x 0.188	OC2.875x0.203
8	mont diag	LI 2 x1/8	LI 2 x1/8	LI 2 x1/8
	mont horz int			
	mont horz ext	LI 2 x1/8	LI 2 x1/8	LI 2 x1/8

Los requisitos de servicio están relacionados principalmente con la rigidez de la estructura y de sus miembros

La función de un sistema estructural es la de absorber las solicitaciones de las acciones externas que se derivan del funcionamiento de la misma, la estructura debe soportar estas acciones las cuales le inducen deformaciones, desplazamientos y a veces daños, todos esto representa la respuesta de dicha estructura ante dichas acciones. Para que la estructura cumpla con las funciones para las cuales esta siendo diseñada, es necesario que dicha respuesta se mantenga dentro de ciertos límites admisibles para que no afecten su buen funcionamiento ni su estabilidad. Debe por lo tanto definirse cuales son los limites admisibles de la respuesta, estos por lo regular dependen del tipo de construcción y de su destino y están definidos para las estructuras más comunes en los códigos de diseño.

Se considerará como estado limite de servicio la ocurrencia de desplazamientos, agrietamientos, vibraciones o daños que afecten el correcto funcionamiento de la edificación, pero que no perjudiquen su capacidad para soportar cargas.

VI.1.- Revisión de desplazamientos

El parámetro que debe limitarse en cuanto a torres de telecomunicaciones, es el ángulo de giro en la punta de la torre, dependiendo de la distancia a la que se encuentran las fuentes de las señales que tienen que transmitirse y recibirse, los desplazamientos laterales en este tipo de estructuras están sujetos a restricciones más severas que las planteadas para las estructuras comunes, ya que los movimientos laterales debidos al viento, producen desviaciones angulares en las antenas que pueden dar lugar a perdidas de señal.

Telefónica Móviles México.(TMM) establece que para el correcto funcionamiento de las antenas la deflexión en la punta de la torre debe ser menor a 1°, si nos apoyamos de la figura No. VI, se tiene lo siguiente.

 $D_P = H \text{ Tan }(\theta)$ donde H es la altura total de la torre y θ es la deflexión, si evaluamos esta expresión se tiene los siguiente..

$$D_P = 4000 \text{ x Tan}(1^0) = 69.82 \text{ cm}.$$

Telcel establece que la oscilación máxima debe ser de 0.75⁰ procediendo similarmente y evaluando se tiene.

$$D_P = 4000 \text{ x Tan } (0.75^0) = 52.36 \text{ cm}.$$

De estos dos resultados se tomara $D_P = 52.36$ cm. Por ser la condición más crítica y por ser la más favorable para el correcto funcionamiento de las antenas.

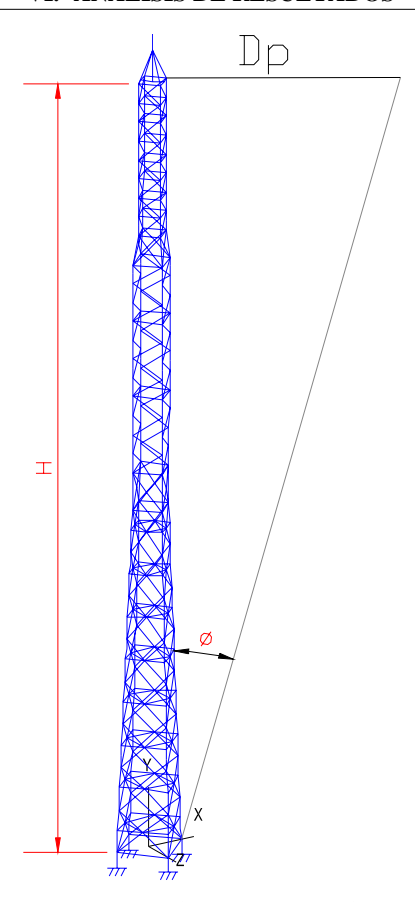


Figura No. VI Obtención de la deflexión permisible.

Del archivo de resultados, se obtiene la tabla No. VI, podemos decir que los tres casos presentan valores razonables, El desplazamiento máximo es de 38.126 cm, 50.60 cm y 50.558 cm en el modelo 1, 2 y 3 respectivamente, debidos a la combinación de carga No. 12 que corresponde a (peso propio + Carga muerta + Viento sobre una esquina) 1.0

Estos valores se encuentran por debajo del límite considerado como criterio de evaluación para no esperar un mal funcionamiento de las antenas, estos resultados también se presentan de manera esquemática en la figura No. VI.1

Tabla No. VI Desplazamientos en el nodo más desfavorable de los tres modelos (de las tres soluciones)

Solución	Combinación	nodo	Desplazamiento
	De carga		cm.
Piernas sección angular	12	199	38.126
Piernas sección cajón	12	199	50.60
Piernas Sección tubular	12	199	50.558

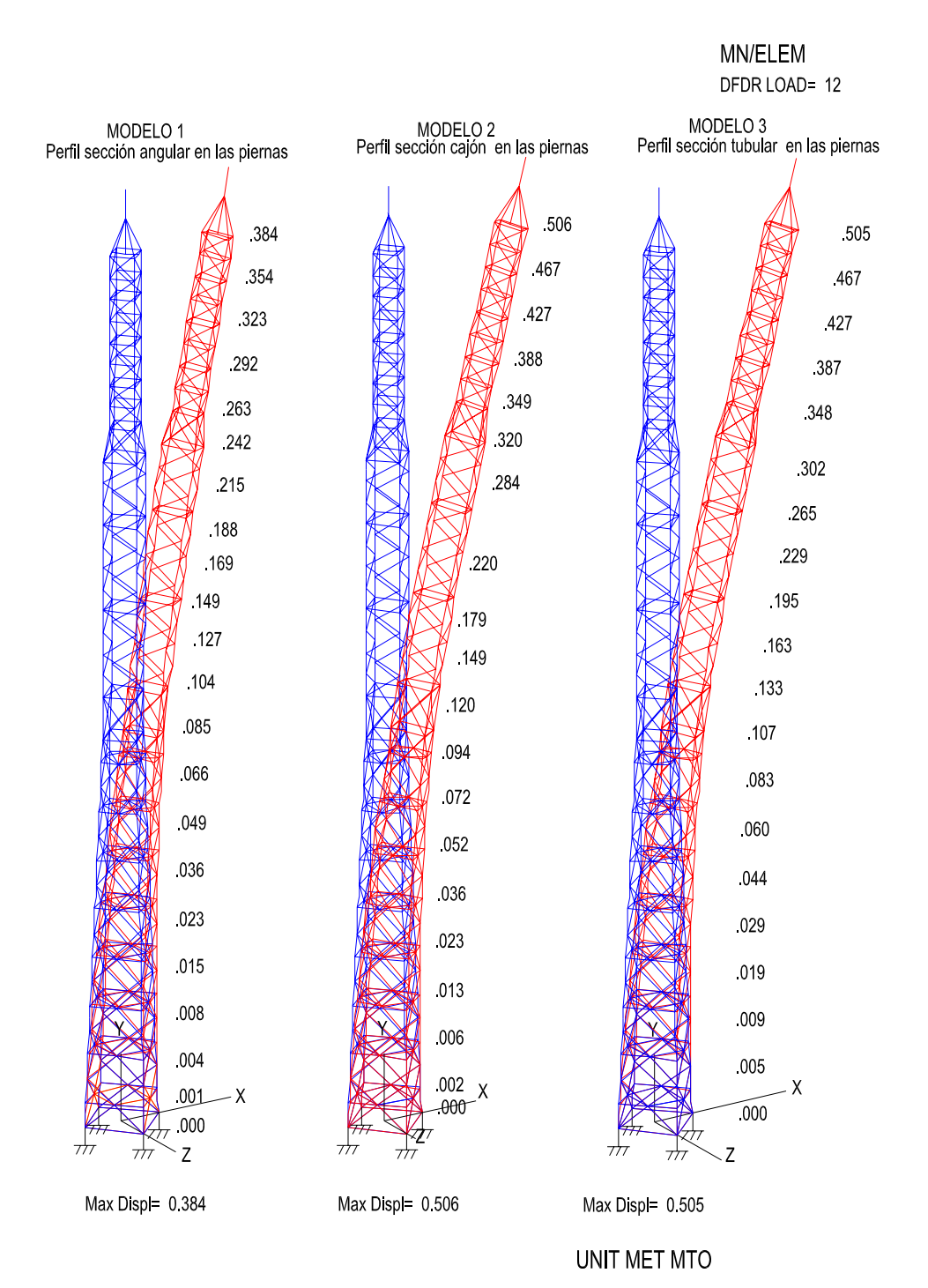


Figura No. VI.1 Desplazamientos máximos para las tres modelos, debido a la condición de carga más desfavorable, combinación de carga No. 12

VI.2.- Revisión de estado de esfuerzos

El criterio de revisión como ya se menciono será el de esfuerzos permisibles, el cual esta basado en la suposición de un comportamiento elástico lineal del material, de modo que los esfuerzos actuantes se determinan con una teoría elástica

Se considerará como estado limite de falla cualquier situación que corresponda al agotamiento de la capacidad de carga de la estructura o de cualesquiera de sus componentes, o al hecho de que ocurran daños irreversibles que afecten significativamente la resistencia ante nuevas aplicaciones de carga.

En los tres casos para determinar la condición de falla en los elementos estructurales se utilizan las ecuaciones de interacción de esfuerzos H1-1, H1-3, mencionadas anteriormente y contenidas en el Manual del AISC.

$$\frac{f_a}{F_a} + \frac{C_{mx} f_{bx}}{(1 - \frac{f_a}{F_{ex}}) F_{bx}} + \frac{C_{my} f_{by}}{(1 - \frac{f_a}{F_{ey}}) F_{by}} \le 1.0$$
 Si $f_a/F_a > 0.15$ -----ec .(H1-1)

$$\frac{f_a}{0.6Fy} + \frac{f_{bx}}{F_{bx}} + \frac{f_{by}}{F_{by}} \le 1.0$$
 Si $f_a/F_a > 0.15$ -----ec. (HI-2)

$$\frac{f_a}{F_a} + \frac{f_{bx}}{F_{bx}} + \frac{f_{by}}{F_{by}} \le 1.0$$
 Si $f_a/F_a \le 0.15$ -----ec (H1-3)

La presente especificación del AISC señala que los miembros sujetos a una combinación de esfuerzos por carga axial de compresión y por flexión (flexocompresión) deben proporcionarse para cumplir con las exigencias de las tres expresiones anteriores

Cuando la relación $f_a/\,F_a\,$ sea mayor que 0.15 entonces se puede cumplir con la ecuación H1-1 y H1-2

Cuando f_a / F_a sea menor igual a 0.15 entonces se puede cumplir con la ecuación H1-3

Cuando la flexión ocurra alrededor de un solo eje entonces debe eliminarse de la formula el correspondiente termino inexistente.

En la expresión H1-1 el termino ($1-f_a/F_e$) es el factor de amplificación cuya finalidad es tomar en cuenta el momento adicional ocasionado por la flexión lateral.

 f_a es el esfuerzo de compresión, igual a la carga axial entre el área. $(f_a=P/A)$ F_a es el esfuerzo de compresión axial permisible, y se obtiene con la formula siguiente.

Donde

k 1/r es la relación de esbeltez.

El AISC considera que el limite superior del pandeo elástico queda definido por un esfuerzo promedio igual al 50% del limite de fluencia (F_y /2). Cuando se iguala este esfuerzo con la expresión de Euler, el valor de la relación de esbeltez, en este límite puede determinarse y se le denomina C_C y es la relación de esbeltez que divide el pandeo elástico del inelástico y se determina como sigue:

Para relaciones de esbeltez menores que C_C se utiliza la formula de tipo parabólico ecuación VI.2, esta representa la resistencia última de un miembro axialmente cargado afectado por un factor de seguridad. En esta expresión k es el factor que multiplica a la longitud libre del miembro para dar su longitud efectiva estimada.

Para valores de la relación de esbeltez mayores que C_C se utiliza la formula de Euler, con un factor de seguridad de (23/12) ecuación (VI.2.1)

El denominador de la ecuación VI.2 es el factor de seguridad y da valores no mayores que los usados por miembros sujetos a tensión, cargados axialmente, a medida que los miembros son más esbeltos, se vuelven más sensibles y el factor de seguridad debe incrementarse hasta en un 15%, se advierte que los miembros de longitud mediana son aquellos en que los esfuerzos residuales y pandeos iniciales resultan importantes. La expresión del factor de seguridad corresponde a un cuarto de onda senoidal, que vale 5/3 cuando kl / r es cero, y llega hasta 23 /12 cuando kl / r es C_c .

 f_b es el esfuerzo de flexión en la dirección x ó y según se a el caso, y se valora como el momento flexionante dividido por el modulo de sección correspondiente al elemento en revisión, (f_b = M/S)

F_b es el esfuerzo de flexión permisible en la dirección x ó y según corresponda.

$$F_e' = \frac{12\pi^2 E}{23(kl/r)^2}$$
 Es el esfuerzo de Euler dividido entre un factor de seguridad en la

Que *l* en la longitud no arriostrada, en el plano de flexión, r es el correspondiente radio de giro y *k es* el factor de longitud efectiva en el plano de flexión, este valor puede incrementarse en 33% cuando se evalué para cargas de viento y sismo.

Para ciertas condiciones dependiendo de la relación de esbeltez k l /r y los valores de la carga axial y del momento flexionante la formula H1-1 resulta conservadora y debe afectarse por un factor C_m de modificación o reducción este factor se aplica al termino de flexión y depende de la curvatura del miembro causada por los momentos aplicados en este y cuyo valor será.

- 1) para miembros en compresión con marcos sujetos a desplazamiento lateral, C_m=0.85
- 2) Para miembros en compresión con extremos restringidos, en marcos arriostrados contra desplazamiento lateral y no sujetos a carga transversal entre sus apoyos en el plano de flexión, $C_m = 0.6 0.4 M_1/M_2$, pero no menor de 0.4.

Al aplicar lo descrito anteriormente con los datos arrojados por la corrida del programa de análisis (elementos mecánicos), se presenta la siguiente tabla comparando los esfuerzos en los tres modelos.

Tabla No. VI.1 Esfuerzos en los elementos más desfavorables de los tres modelos (de las tres soluciones)

		SOLUCIÓN 1	SOLUCIÓN 2	SOLUCIÓN 3	
TRAMO	MEMBER	PIERNAS DE	PIERNAS DE SECCIÓN	PIERNAS DE	
TRAMO		SECCIÓN ANGULAR	CAJÓN	SECCIÓN TUBULAR	
		RATIO/	RATIO/	RATIO/	
		MZ	MZ	MZ	
		PIERNAS			
1	199	0.602	0.336	0.304	
2	178	0.54	0.302	0.274	
3	238	0.485	0.268	0.244	
4	266	0.951	0.662	0.956	
5	282	0.301	0.154	0.229	
6	276	0.177	0.089	0.136	
7	308	0.652	0.178	0.148	
8	322	0.351	0.055	0.046	
	N	IONT DIAGONALE	S		
1	532	0.375	0.385	0.33	
2	384	0.241	0.215	0.176	
3	236	0.232	0.285	0.257	
4	265	0.512	0.675	0.633	
5	281	0.72	0.718	0.61	
6	87	0.608	0.606	0.525	
7	640	0.686	0.682	0.609	
8	633	0.656	0.653	0.588	
MONT HORIZONTALES					
1	526	0.039	0.068	0.064	
2	381	0.037	0.061	0.057	
3	424	0.034	0.041	0.04	
4	443	0.486	0.628	0.586	
5	449	0.027	0.029	0.023	
6	110	0.047	0.05	0.045	
7	464	0.68	0.691	0.611	
8	513	0.052	0.043	0.038	

Para los tres modelos el miembro más esforzado se encuentra en el tramo 4 que corresponde a las piernas con un esfuerzo de trabajo del 95 %, 66% y 95.6% de su capacidad, para el modelo 1, 2 y 3 respectivamente.

Por lo que todos los perfiles se encuentran dentro de los Esfuerzos Permisibles Indicados en la especificación del AISC.

VI.3.- Costos

Los factores que determinan la construcción de una estructura se resumen en: costo de la materia prima y costo de la mano de obra, Un diseño racional en acero se basa en una amplia disponibilidad de perfiles estructurales en el mercado, el proyectista debe siempre procurar abatir los costos de construcción sin reducir la resistencia, algunas ideas que permiten hacerlo son la utilización de elementos idénticos o utilizar secciones estándar (con esto se reduce el costo de fabricación y se cometen menos errores), también haciendo un detallado simple de conexiones y previendo un mantenimiento sencillo.

Una comparación de costo puede hacerse fácilmente, a partir de los pesos obtenidos en los tres modelos en estudio, (en la tabla No. VI.2) Como puede observarse el modelo 1 fue el que resulto más pesado con un peso de 4.78 ton, el modelo 2 con el 9.4% menos que el modelo 1 y el modelo 3 fue el que resulto más ligero con el 13.6% menos que el modelo 1. Por lo tanto el modelo 3 (piernas de sección tubular) sería la solución más económica.

Tabla No.VI.2 Pesos obtenidos para los tres modelos.

solución	Peso
	ton
1	<i>4.78</i>
2	4.33
3	4.13

VII.- CONCLUSIONES

Las conclusiones más importantes que se derivan de este estudio son las siguientes:

- En general el diseño de estructuras de este tipo queda regido por la condición de carga que incluye viento y no por sismo, y son estas las que influyen de manera muy importante en el comportamiento de la estructura.
- Es muy importante definir y estimar las cargas del empuje del viento sobre la estructura, por lo que se debe tener mucho cuidado en la interpretación de los criterios que aparecen en los manuales. Las especificaciones de diseño de estructuras no se han desarrollado para restringir al ingeniero sino para proteger al usuario de estas. No todo se encuentra en los reglamentos así que sin impactar los códigos o especificaciones empleados, la responsabilidad final de la estructura recae en el ingeniero estructurista.
- Respecto a las antenas parabólicas se debe contar con información certificada y completa del proveedor para de esta manera asegurar que se incluirán las cargas de diseño apropiadas.
- Ante la estimación de la magnitud de las fuerzas debidas al flujo del viento que actúan sobre la torre, es de vital importancia contar con información suficiente de las características del lugar donde se construirá la estructura, ya que la falta de información adecuada puede conducir a diseños conservadores o a diseños escasos desde el punto de vista de seguridad estructural.
- En cuanto a los pesos de la estructura se puede observar de la tabla VI.2 que el modelo 3 (piernas de sección tubular) pesa 650 kg menos que el modelo 1(piernas de sección angular), esto se traduce en un ahorro considerable en cuanto al costo de la estructura dado que estas estructuras se producen en serie. Sin embargo tendría que tomarse en cuenta una vez construidas estas estructuras, el mantenimiento respectivo para cada una de ellas, por ejemplo seria mas difícil identificar el ataque de la corrosión en una sección cerrada (casos 2 y 3) al de una abierta (caso 1).
- El comportamiento para el criterio de Estado de servicio (Desplazamientos y deformaciones) obtenida con los perfiles estructurales utilizados en el diseño es satisfactorio para los tres modelos ya que ninguno rebasa el máximo permitido de 52.36 cm. De los desplazamientos reportados en la tabla No. VI se observa que la torre 1 (de perfiles angulares en las piernas) se desplaza mucho menos que los modelos 2 (de perfiles de sección cajón en las piernas) y modelo3 (perfiles de sección tubular en las piernas), esto podría indicarnos que es la mejor solución, sin embargo al revisar su estado de esfuerzos podemos constatar que algunos miembros

VII.- CONCLUSIONES

Están muy cercanos al límite permisible de esfuerzos, lo que llevaría a la torre a una falla por resistencia.

- En cuanto a esfuerzos al analizar las tablas No. VI.1 comparando los miembros más esforzados en cada tramo, en el caso 1 (piernas de perfiles de sección angular) se obtuvo una relación de esfuerzos actuante a esfuerzo permisible que oscila entre el 17 al 95% en los perfiles de las piernas, por lo que esta solución fue la que resulto la mas esforzada, mientras que en el caso 2 y 3 obtenemos esfuerzos de aproximadamente la mitad del caso 1 en los tramos 1 al 3, solo en el tramo 4 los esfuerzos de los casos 1 y 3 son similares, mientras que en el caso 2 el esfuerzo es 43% menor. En los tramos del 5 al 8 los esfuerzos de los casos 2 y 3 son aproximadamente similares y menores que en el caso 1. Esto se debe a que desde el punto de vista esencialmente estructural, es bien sabido que un perfil tubular ya sea rectangular o circular (casos 2 y 3). debido a la forma de su sección transversal y a la favorable distribución del material de la misma se comporta mejor que un perfil abierto (caso 1) cuando se encuentra sometido principalmente a compresión. Esta diferencia notable en cuanto a esfuerzos de trabajo entre los casos 1 y 3, también se debe a que, la superficie de proyección de un perfil de sección circular expuesta al viento en distintos ángulos de incidencia de este, siempre es la misma, mientras que para una sección angular existe variación.
- De acuerdo a los resultados obtenidos se estiman razonables y adecuados los comportamientos de los modelos de las tres soluciones estructurales. Sin embargo el caso 3 (piernas de sección tubular), es más eficiente ya que como se menciono sus miembros resultaron con una baja relación de esfuerzos, a pesar de que se tiene un perfil en las piernas con propiedades mecánicas menores a los perfiles de los casos 1 y 2. Por lo tanto este caso sería el que tendría una mejor respuesta ante las solicitaciones de las acciones externas que se consideraron en ella, el caso 2 (piernas de sección cajón) seguiría en eficiencia, la diferencia muy marcada en cuanto a esfuerzos de trabajo entre los casos 1, 2 y 3 se debe a que el miembro sujeto a compresión más eficiente es aquel que tiene su radio de giro constante con respecto a cualquier eje que pase por su centroide.
- Al encontrar en nuestro entorno torres de telecomunicaciones ya construidas, con las mismas características a la desarrollada en este trabajo con perfiles de sección angular en las piernas, una de ellas se presenta en la tabla No.VII.1, y realizar una comparación con los datos finales de los perfiles estructurales del modelo 1 de la solución 1(tabla No. VII) podemos decir que estás están sobrediseñadas, tal pareciera que el diseño estructural de estás construcciones obedece a otros factores dejando al económico en segundo termino,

VII.- CONCLUSIONES

Podría pensarse que el origen de esto es lo rentable que son estas estructuras y que no importa el costo sino mas bien lo Indispensable que suelen ser los servicios que prestan y que por ende la inversión hecha se recupera rápidamente.

Tabla No. VII Solución del modelo 1 (perfiles de sección angular en las piernas)

Tramo	Flomente	SOL. 1	
Tramo	Elemento	Sección	
		in x in	
	Piernas	LI 4 x 7/16	
1	mont diag	LI 2 1/2 x 3/16	
'	mont horz int	LI 2 1/2 x 3/16	
	mont horz ext	LI 2 1/2 x 3/16	
	Piernas	LI 4 x 7/16	
2	mont diag	LI 2 1/2 x 3/16	
	mont horz int	LI 2 x 1/8	
	mont horz ext	LI 2 1/2 x 3/16	
	Piernas	LI 4 x 7/16	
3	mont diag	LI 2 1/2 x 3/16	
3	mont horz int	LI 2 x 1/8	
	mont horz ext	LI 2 1/2 x 3/16	
	Piernas	LI 4 x 7/16	
4	mont diag	LI 2 1/2 x 3/16	
-	mont horz int	LI 2 x 1/8	
	mont horz ext	LI 2 1/2 x 3/16	
	Piernas	LI 4 x 3/8	
5	mont diag	LI 2 1/2 x 3/16	
J .	mont horz int		
	mont horz ext	LI 2 1/2 x 3/16	
	Piernas	LI 4 x 3/8	
6	mont diag	LI 2 1/2 x 3/16	
ľ	mont horz int		
	mont horz ext	LI 2 x 1/8	
	Piernas	LI 3 x3/16	
7	mont diag	LI 2 x1/8	
,	mont horz int		
	mont horz ext	LI 2 x1/8	
	Piernas	LI 3 x3/16	
8	mont diag	LI 2 x1/8	
ľ	mont horz int		
	mont horz ext	LI 2 x1/8	
Peso total de la estructura 4.78 ton			

Tabla No. VII.1 Perfiles estructurales encontrados en una torre similar a la analizada de perfiles de sección ángular

permes de sección angular				
Tramo	Elemento	Sección		
		in x in		
	Piernas	LI 6 x 7/8		
1	mont diag	LI 3 x 5/16		
'	mont horz int	LI 3 x 5/16		
	mont horz ext	LI 3 x 5/16		
	Piernas	LI 6 x 7/8		
2	mont diag	LI 3 x 5/16		
	mont horz int	LI 2.5 x 5/16		
	mont horz ext	LI 2.5 x 5/16		
	Piernas	LI 6 x 3/4		
3	mont diag	LI 3 x 5/16		
3	mont horz int	LI 2.5 x 5/16		
	mont horz ext	LI 3 x 5/16		
	Piernas	LI 6 x 3/4		
4	mont diag	LI 3 x 5/16		
-	mont horz int	LI 2.5 x 5/16		
	mont horz ext	LI 3 x 5/16		
	Piernas	LI 6 x 5/8		
5	mont diag	LI 3 x 5/16		
	mont horz int			
	mont horz ext	LI 3 x 5/16		
	Piernas	LI 6 x 9/16		
6	mont diag	LI 3 x 5/16		
	mont horz int			
	mont horz ext	LI 3 x 5/16		
	Piernas	LI 4 x 3/8		
7	mont diag	LI 3 x 5/16		
	mont horz int			
	mont horz ext	LI 3 x 5/16		
	Piernas	LI 3 x 5/16		
8	mont diag	LI 3 x 5/16		
	mont horz int			
	mont horz ext	LI 3 x 5/16		
Peso total de la estructura 10.9 ton				

• La economía de la estructura está en manos del diseñador, quien debe poner en práctica todos sus conocimientos de análisis, comportamiento de los materiales y aprovechamiento optimo de los materiales disponibles en el mercado.



Listado de datos para los tres modelos.

El listado del archivo de datos para los modelos 1,2 y 3 es el mismo en cuanto a coordenadas y miembros, los modelos 1 y 2 cambian solo en la asignación de propiedades de las secciones en los miembros estructurales, mientras que el modelo 3 cambia en la asignación de propiedades de la secciones y en las condiciones de carga.

STAAD SPACE DISEÑO ESTRUCTURAL DE TORRE AUTOSOPORTADA **INPUT WIDTH 72** *ALTURA DE 40 M *UNIVERSIDAD NACIONAL AUTONOMA DE MÉXICO. UNIT METER MTON JOINT COORDINATES 1 0. 0. -2.263; 2 0. 0.6 -2.23; 3 0. 1.157 -2.199; 4 0. 2.25 -2.139 5 0. 3.409 -2.075; 6 0. 4.5 -2.015; 7 0. 5.101 -1.982 8 0. 5.661 -1.951; 9 0. 6.75 -1.892; 10 0. 7.913 -1.828 11 0. 9. -1.768; 12 0. 10.166 -1.704; 13 0. 10.7 -1.674 14 0. 11.25 -1.644; 15 0. 12.419 -1.58; 16 0. 13.5 -1.52 17 0. 14.673 -1.456; 18 0. 15.201 -1.427; 19 0. 15.75 -1.397 20 0. 16.927 -1.332; 21 0. 18. -1.273; 22 0. 20. -1.273 23 0. 20.5 -1.273; 24 0. 21. -1.273; 25 0. 22. -1.273; 26 0. 23. -1.273 27 0. 24. -1.273; 28 0. 25. -1.273; 29 0. 26. -1.273; 30 0. 27. -1.273 31 0. 28. -1.273; 32 0. 29. -1.273; 33 0. 30. -1.273; 34 0. 31. -1.273 35 0. 32.5 -0.99; 36 0. 33.5 -0.99; 37 0. 34.5 -0.99; 38 0. 35.5 -0.99 39 0. 36.5 -0.99; 40 0. 37.5 -0.99; 41 0. 38.5 -0.99; 42 0. 39.5 -0.99 43 0. 40.5 -0.99; 44 -2.263 0. 0.; 46 -2.139 2.25 0.; 49 -1.892 6.75 0. 50 -0.914 7.913 -0.914; 51 -0.852 10.166 -0.852; 52 -1.644 11.25 0. 53 -0.79 12.419 -0.79; 55 -1.397 15.75 0.; 56 -0.666 16.927 -0.666 57 -0.636 19. -0.636; 58 -1.273 20. 0.; 59 -1.273 18. 0. 61 -1.52 13.5 0.; 62 -1.768 9. 0.; 63 -0.975 5.661 -0.976 64 -2.015 4.5 0.; 65 -1.037 3.409 -1.038; 67 -1.273 21. 0. 68 -1.273 23. 0.; 69 -1.273 25. 0.; 70 -1.273 27. 0.; 71 -1.273 29. 0. 72 -1.273 31. 0.; 73 -0.99 32.5 0.; 74 -0.99 34.5 0.; 75 -0.99 36.5 0. 76 -0.99 38.5 0.; 77 -0.99 40.5 0.; 78 -0.99 39.5 0.; 79 -0.99 37.5 0. 80 -0.99 35.5 0.; 81 -0.99 33.5 0.; 82 -1.273 28. 0.; 83 -1.273 24. 0. 84 -2.199 1.157 0.; 85 -2.075 3.409 0.; 86 -1.951 5.661 0. 87 -1.828 7.913 0.; 88 -1.704 10.166 0.; 89 -1.58 12.419 0. 90 -0.728 14.673 -0.728; 91 -1.456 14.673 0.; 92 -1.332 16.927 0. 93 -0.557 31.844 -0.557; 94 -2.23 0.6 0.; 95 -1.674 10.7 0. 96 -1.427 15.201 0.; 97 -1.273 20.5 0.; 98 -1.273 22. 0. 99 -1.273 26. 0.; 100 -1.273 30. 0.; 101 0. 20. 1.273 102 0. 20.5 1.273; 103 1.273 21. 0.; 104 1.273 20. 0. 105 1.273 20.5 0.; 106 0. 6.75 1.892; 107 0. 7.913 1.828 108 0.914 7.913 0.914; 109 1.892 6.75 0.; 110 1.828 7.913 0. 111 0. 1.157 2.199; 112 0. 2.25 2.139; 113 2.139 2.25 0. 116 2.199 1.157 0.; 117 0. 0. 2.263; 118 0. 0.6 2.23; 119 2.263 0. 0. 120 2.23 0.6 0.; 121 0. 3.409 2.075; 122 0. 4.5 2.015 123 1.038 3.409 1.037; 125 2.015 4.5 0.; 126 2.075 3.409 0. 127 0. 5.661 1.951; 128 0.976 5.661 0.975; 130 1.951 5.661 0. 131 1.982 5.101 0.; 132 0. 13.5 1.52; 133 0. 14.673 1.456 135 1.52 13.5 0.; 137 1.456 14.673 0.; 138 0. 10.7 1.674 139 0. 11.25 1.644; 140 1.644 11.25 0.; 141 0.852 10.166 0.852 142 1.674 10.7 0.; 143 0. 9. 1.768; 144 0. 10.166 1.704 145 1.768 9. 0.; 146 1.704 10.166 0.; 147 0. 12.419 1.58

```
148 0.79 12.419 0.79; 149 1.58 12.419 0.; 150 0. 16.927 1.332
151 0. 18. 1.273; 152 0.666 16.927 0.666; 153 1.273 18. 0.
154 1.332 16.927 0.; 155 0. 15.201 1.427; 156 0. 15.75 1.397
157 1.397 15.75 0.; 158 1.427 15.201 0.; 160 0.636 19. 0.636
161 0. 32.5 0.99; 162 0. 33.5 0.99; 163 0.99 32.5 0.; 164 0.99 33.5 0.
165 0. 26. 1.273; 166 0. 27. 1.273; 167 1.273 27. 0.; 168 1.273 26. 0.
169 0. 23. 1.273; 170 0. 24. 1.273; 171 1.273 23. 0.; 172 1.273 24. 0.
173 0. 21. 1.273; 174 0. 22. 1.273; 175 1.273 22. 0.; 176 0. 25. 1.273
177 1.273 25. 0.; 178 0. 29. 1.273; 179 0. 30. 1.273; 180 1.273 29. 0.
181 1.273 30. 0.; 182 0. 28. 1.273; 183 1.273 28. 0.; 184 0. 31. 1.273
185 0.557 31.844 0.557; 186 1.273 31. 0.; 187 0. 38.5 0.99
188 0. 39.5 0.99; 189 0.99 38.5 0.; 190 0.99 39.5 0.; 191 0. 35.5 0.99
192 0. 36.5 0.99; 193 0.99 36.5 0.; 194 0.99 35.5 0.; 195 0. 34.5 0.99
196 0.99 34.5 0.; 197 0. 37.5 0.99; 198 0.99 37.5 0.; 199 0. 40.5 0.99
200 0.99 40.5 0.; 201 -1.1 1.157 1.1; 202 -1.038 3.409 1.038
203 1.1 1.157 -1.1; 204 1.038 3.409 -1.038; 205 -0.976 5.661 0.976
206 0.976 5.661 -0.976; 207 -0.914 7.901 0.914; 208 0.914 7.913 -0.914
209 0.852 10.166 -0.852; 210 -0.852 10.166 0.852; 211 -0.79 12.419 0.79
212 0.79 12.419 -0.79; 213 -0.728 14.673 0.728; 214 0.728 14.673 -0.728
215 -0.666 16.927 0.666; 216 0.666 16.927 -0.666; 217 0.636 19. -0.636
218 -0.636 19. 0.636; 219 -0.557 31.844 0.557; 220 0.557 31.844 -0.557
221 -1.099 1.157 -1.099; 222 1.099 1.157 1.099; 223 0.728 14.673 0.728
224 -1.983 5.101 0.; 225 0. 5.101 1.983; 226 -1.273 25.5 0.
227 0. 25.5 -1.273; 228 1.273 25.5 0.; 229 0. 25.5 1.273
230 0. 30.5 1.273; 231 -1.273 30.5 0.; 232 0. 30.5 -1.273
233 1.273 30.5 0.; 238 -0.99 33. 0.; 239 0. 33. -0.99; 240 0.99 33. 0.
241 0. 33. 0.99; 242 -0.495 40.5 -0.49; 243 0.495 40.5 0.495
244 0. 40.5 0.; 245 0. 42.2 0.; 246 0. 43.5 0.
MEMBER INCIDENCES
1 1 2; 2 2 3; 3 3 4; 4 4 5; 5 5 6; 6 6 7; 7 7 8; 8 8 9; 9 9 10
10 10 11; 11 11 12; 12 12 13; 13 13 14; 14 14 15; 15 15 16; 16 16 17
17 17 18; 18 18 19; 19 19 20; 20 20 21; 21 21 22; 22 22 23; 23 23 24
24 24 25; 25 25 26; 26 26 27; 27 27 28; 28 28 227; 29 29 30; 30 30 31
31 31 32; 32 32 33; 33 33 232; 34 34 35; 35 35 239; 36 36 37; 37 37 38
38 38 39; 39 39 40; 40 40 41; 41 41 42; 42 42 43; 43 1 44; 50 49 50
51 50 11; 52 11 51; 53 51 52; 54 52 53; 55 53 16; 58 55 56; 59 56 21
60 21 57; 61 57 58; 62 22 57; 63 57 59; 64 59 56; 65 56 19; 68 61 53
69 53 14; 70 14 51; 71 51 62; 72 62 50; 73 50 9; 80 22 58; 81 22 67
82 67 25; 83 25 68; 84 68 27; 85 27 69; 86 69 29; 87 29 70; 88 70 31
89 31 71; 90 71 33; 91 33 72; 100 43 242; 101 42 78; 102 41 76
103 40 79; 104 39 75; 105 38 80; 106 37 74; 107 36 81; 108 35 73
109 34 72; 110 31 82; 111 27 83; 114 5 65; 115 65 85; 116 8 63
117 63 86; 118 10 50; 119 50 87; 120 12 51; 121 51 88; 122 15 53
123 53 89; 124 17 90; 125 90 91; 126 20 56; 127 56 92; 128 21 59
129 93 34; 130 72 93; 131 44 94; 132 94 84; 133 84 46; 134 46 85
135 85 64; 136 64 224; 137 86 49; 138 49 87; 139 87 62; 140 62 88
141 88 95; 142 95 52; 143 52 89; 144 89 61; 145 61 91; 146 91 96
147 96 55; 148 55 92; 149 92 59; 150 59 58; 151 58 97; 152 97 67
153 67 98; 154 98 68; 155 68 83; 156 83 69; 157 69 226; 158 99 70
159 70 82; 160 82 71; 161 71 100; 162 100 231; 163 72 73; 164 73 238
165 81 74; 166 74 80; 167 80 75; 168 75 79; 169 79 76; 170 76 78
171 78 77; 172 101 102; 173 101 103; 174 104 105; 175 106 107
176 108 109; 177 106 108; 178 109 110; 179 111 112; 182 116 113
183 117 118; 186 119 120; 187 119 117; 188 118 111; 191 120 116
192 121 122; 195 126 125; 196 112 121; 199 113 126; 200 123 121
201 126 123; 202 127 106; 205 130 109; 206 122 225; 209 131 130
210 125 131; 211 128 127; 212 130 128; 213 132 133; 216 135 137
```

547 63 49; 548 6 63; 549 63 9; 550 122 128; 551 128 106; 552 125 128 553 128 109; 554 221 203; 555 203 222; 556 222 201; 557 201 221 558 65 204; 559 204 123; 560 123 202; 561 202 65; 562 63 206 563 206 128; 564 128 205; 565 205 63; 566 50 208; 567 208 108 568 108 207; 569 207 50; 570 51 209; 571 209 141; 572 141 210 573 210 51; 574 211 53; 575 53 212; 576 212 148; 577 148 211 578 133 223; 579 223 137; 580 61 90; 581 90 55; 582 16 90; 583 90 19 584 132 223; 585 223 156; 586 135 223; 587 223 157; 588 90 214 589 214 223; 590 223 213; 591 213 90; 592 56 216; 593 216 152 594 152 215; 595 215 56; 596 193 39; 597 224 86; 598 225 127 599 226 99; 600 227 29; 601 228 168; 602 229 165; 603 230 184 604 231 72; 605 232 34; 606 233 186; 619 238 81; 620 239 36 621 240 164; 622 241 162; 624 73 162; 625 162 74; 626 74 191 627 191 75; 628 75 197; 629 197 76; 630 76 188; 631 188 77; 632 161 164 633 164 195; 634 195 194; 635 194 192; 636 192 198; 637 198 187 638 187 190; 639 190 199; 640 163 36; 641 36 196; 642 196 38 643 38 193; 644 193 40; 645 40 189; 646 189 42; 647 42 200; 648 35 81 649 81 37; 650 37 80; 651 80 39; 652 39 79; 653 79 41; 654 41 78 655 78 43; 656 242 77; 657 243 200; 658 242 244; 659 244 243 660 244 245; 661 245 246; 662 200 245; 663 245 199; 664 77 245 665 245 43

PARA EL MODELO 1

MEMBER PROPERTY AMERICAN

- *** TRAMO 1 ***
- ** PIERNAS
- 1 TO 6 131 TO 136 179 182 183 186 188 191 192 195 196 199 206 -
- 210 TABLE ST L40407
- ***MONT DIAG.
- 345 TO 354 359 360 365 TO 372 530 TO 546 548 550 552 TABLE ST L25253
- **MONT HORIZ. EXT.
- 43 114 115 187 200 201 343 344 355 TO 358 361 TO 364 526 TO 528 -
- 529 TABLE ST L25253
- **MONT HORIZ. INT.
- 554 TO 561 TABLE ST L25253
- *** TRAMO 2 ***
- ** PIERNAS
- 7 TO 12 137 TO 141 175 178 202 205 209 221 224 225 228 231 234 597 -
- 598 TABLE ST L40407
- ** CELOSIA
- 50 TO 53 70 TO 73 176 177 218 219 222 223 226 227 377 TO 380 -
- 383 TO 386 389 TO 396 401 404 405 408 547 549 551 553 TABLE ST L25253
- ** DIAFRAGMA EXTERIOR
- 116 TO 121 211 212 229 230 232 233 373 TO 376 381 382 387 388 -
- $397~\mathrm{TO}~400~\mathrm{TABLE}~\mathrm{ST}~\mathrm{L25253}$
- ** DIAFRAGMA INTERIOR
- 562 TO 573 TABLE ST L25253
- *** TRAMO 3 ***
- ** PIERNAS
- 13 TO 17 142 TO 146 213 216 217 220 235 238 239 242 253 -
- 254 TABLE ST L40407
- **CELOSIA
- 54 55 68 69 236 237 240 241 402 403 406 407 413 TO 420 425 426 429 -
- 430 580 TO 587 TABLE ST L25253
- ** DIAFRAGMA EXTERIOR
- 122 TO 125 243 244 409 TO 412 421 TO 424 578 579 TABLE ST L25253
- ** DIAFRAGMA INTERIOR

```
574 TO 577 588 TO 591 TABLE ST L25253
*** TRAMO 4***
** PIERNAS
18 TO 22 147 TO 151 172 174 245 248 249 252 257 260 263 -
266 TABLE ST L40407
** CELOSIA
58 TO 65 81 173 246 247 258 259 264 265 268 269 427 428 431 432 -
439 TO 442 445 TO 448 453 468 483 TO 486 TABLE ST L25253
** DIAFRAGMA EXTERIOR
80 126 TO 128 261 262 267 270 433 TO 438 443 444 TABLE ST L25253
** DIAFRAGMA INTERIOR
592 TO 595 TABLE ST L25253
*** TRAMO 5 ***
** PIERNAS
23 TO 28 152 TO 157 277 279 280 282 TO 285 287 288 290 292 -
294 TABLE ST L40406
** MONT DIAG.
82 TO 86 278 281 286 289 293 454 TO 458 469 TO 473 TABLE ST L25253
** MONT HORIZ, EXT.
111 291 449 450 TABLE ST L25253
*** TRAMO 6 ***
** PIERNAS
29 TO 33 158 TO 162 274 276 295 297 298 300 301 303 309 311 -
599 TO 602 TABLE ST L40406
** MONT DIAG.
87 TO 91 275 296 299 302 310 459 TO 463 474 TO 478 TABLE ST L25253
**MONT HORIZ EXT.
110 304 451 452 TABLE ST L20202
*** TRAMO 7 ***
** PIERNAS
34 35 163 164 271 273 305 308 603 TO 606 TABLE ST L30303
** MONT DIAG.
129 130 306 307 465 467 480 482 487 TO 494 624 632 640 -
648 TABLE ST L20202
** DIAFRAGMA
108 109 312 313 464 466 479 481 TABLE ST L20202
*** TRAMO 8
** PIERNAS
36 TO 42 165 TO 171 314 316 317 319 320 322 324 326 329 331 332 334 -
338 340 619 TO 622 TABLE ST L30303
** MONT DIAG.
625 TO 631 633 TO 639 641 TO 647 649 TO 655 TABLE ST L20202
**MONT HORZ. EXT.
100 TO 107 323 327 328 335 TO 337 341 342 TABLE ST L20202
511 TO 525 596 656 657 TABLE ST L20202
** PARARRAYOS
658 659 662 TO 665 TABLE ST L20202
660 661 TABLE ST PIPS20
```

PARA EL MODELO 2

MEMBER PROPERTY AMERICAN

*** TRAMO 1 ***

** PIERNAS

1 TO 6 131 TO 136 179 182 183 186 188 191 192 195 196 199 206 -

210 TABLE ST TUB30304

```
***MONT DIAG.
345 TO 354 359 360 365 TO 372 530 TO 546 548 550 552 TABLE ST L25253
**MONT HORIZ, EXT.
43 114 115 187 200 201 343 344 355 TO 358 361 TO 364 526 TO 528 -
529 TABLE ST L25253
**MONT HORIZ. INT.
554 TO 561 TABLE ST L25253
*** TRAMO 2 ***
** PIERNAS
7 TO 12 137 TO 141 175 178 202 205 209 221 224 225 228 231 234 597 -
598 TABLE ST TUB30304
** CELOSIA
50 TO 53 70 TO 73 176 177 218 219 222 223 226 227 377 TO 380 -
383 TO 386 389 TO 396 401 404 405 408 547 549 551 553 TABLE ST L25253
** DIAFRAGMA EXTERIOR
116 TO 121 211 212 229 230 232 233 373 TO 376 381 382 387 388 -
397 TO 400 TABLE ST L25253
** DIAFRAGMA INTERIOR
562 TO 573 TABLE ST L25253
*** TRAMO 3 ***
** PIERNAS
13 TO 17 142 TO 146 213 216 217 220 235 238 239 242 253 -
254 TABLE ST TUB30304
**CELOSIA
54 55 68 69 236 237 240 241 402 403 406 407 413 TO 420 425 426 429 -
430 580 TO 587 TABLE ST L25253
** DIAFRAGMA EXTERIOR
122 TO 125 243 244 409 TO 412 421 TO 424 578 579 TABLE ST L25253
** DIAFRAGMA INTERIOR
574 TO 577 588 TO 591 TABLE ST L25253
*** TRAMO 4***
** PIERNAS
18 TO 22 147 TO 151 172 174 245 248 249 252 257 260 263 -
266 TABLE ST TUB30303
** CELOSIA
58 TO 65 81 173 246 247 258 259 264 265 268 269 427 428 431 432 -
439 TO 442 445 TO 448 453 468 483 TO 486 TABLE ST L25253
** DIAFRAGMA EXTERIOR
80 126 TO 128 261 262 267 270 433 TO 438 443 444 TABLE ST L25253
** DIAFRAGMA INTERIOR
592 TO 595 TABLE ST L25253
*** TRAMO 5 ***
** PIERNAS
23 TO 28 152 TO 157 277 279 280 282 TO 285 287 288 290 292 -
294 TABLE ST TUB30303
** MONT DIAG.
82 TO 86 278 281 286 289 293 454 TO 458 469 TO 473 TABLE ST L25253
** MONT HORIZ. EXT.
111 291 449 450 TABLE ST L25253
*** TRAMO 6 ***
** PIERNAS
29 TO 33 158 TO 162 274 276 295 297 298 300 301 303 309 311 -
599 TO 602 TABLE ST TUB30303
** MONT DIAG.
87 TO 91 275 296 299 302 310 459 TO 463 474 TO 478 TABLE ST L25253
**MONT HORIZ EXT.
110 304 451 452 TABLE ST L20202
```

```
*** TRAMO 7 ***
** PIERNAS
34 35 163 164 271 273 305 308 603 TO 606 TABLE ST TUB25253
** MONT DIAG.
129 130 306 307 465 467 480 482 487 TO 494 624 632 640 -
648 TABLE ST L20202
** DIAFRAGMA
108 109 312 313 464 466 479 481 TABLE ST L20202
*** TRAMO 8
** PIERNAS
36 TO 42 165 TO 171 314 316 317 319 320 322 324 326 329 331 332 334 -
338 340 619 TO 622 TABLE ST TUB25253
** MONT DIAG.
625 TO 631 633 TO 639 641 TO 647 649 TO 655 TABLE ST L20202
**MONT HORZ. EXT.
100 TO 107 323 327 328 335 TO 337 341 342 TABLE ST L20202
511 TO 525 596 656 657 TABLE ST L20202
** PARARRAYOS
658 659 662 TO 665 TABLE ST L20202
660 661 TABLE ST PIPS20
******
CONSTANT
E STEEL ALL
DENSITY STEEL ALL
POISSON STEEL ALL
BETA 270. MEMB 21 TO 33 35 TO 42 600 605 620
SUPPORT
1 44 117 119 FIXED
********
MEMBER TRUSS
50 TO 55 59 64 65 68 TO 73 81 TO 91 173 176 177 218 219 222 223 226 -
227 236 237 240 241 246 247 258 259 275 278 281 286 289 293 296 299 -
302 310 345 TO 354 359 360 365 TO 372 377 TO 380 383 TO 386 -
389 TO 396 401 TO 408 413 TO 420 426 427 429 TO 432 439 TO 442 -
453 TO 463 468 TO 478 530 TO 553 580 582 TO 587 624 TO 655
LOAD 1 FRECUENCIA NATURAL
*PESO PROPIO
SELFWEIGHT X 1.
*CARGA MUERTA
JOINT LOAD
******TRAMO 8*****
*ESCALERA + CGO
77 79 81 162 197 199 FX 0.038
*ANTENAS PARABOLICAS 0.6M DIAMETRO H= 40M
43 77 199 200 FX 0.038
*ANTENAS CELULARES H= 39M
41 42 76 78 187 TO 190 FX 0.045
*PLATAFORMA DE TRABAJO H=38.5M
41 76 187 189 FX 0.086
*PLATAFORMA DE TRABAJO H=33.5M
36 81 162 164 FX 0.086
*****TRAMO 7*****
*ESCALERA + CGO
72 184 FX 0.038
*ANTENAS PARABOLICAS 0.9M DIAMETRO H= 30M
```

33 100 179 181 FX 0.053

******TRAMO 6***** *ESCALERA + CGO 82 182 FX 0.075 ******TRAMO 5***** *ESCALERA + CGO 83 170 FX 0.075 *PLATAFORMA DE DESCANSO H=24M 27 83 170 172 FX 0.086 ******TRAMO 4***** *ESCALERA + CGO 58 101 FX 0.08 *PLATAFORMA DE DESCANCO H=16.9M 20 92 150 154 FX 0.086 ******TRAMO 3***** *ESCALERA + CGO 89 147 FX 0.068 ******TRAMO 2***** *ESCALERA + CGO 86 127 FX 0.084 *PLATAFORMA DE DESCANSO H= 7.90M 10 87 107 110 FX 0.086 ******TRAMO 1****** *ESCALERA + CGO 84 111 FX 0.075 CALCULATE NATURAL FREQUENCY LOAD 2 PESO PROPIO PP SELFWEIGHT Y -1. LOAD 3 CARGA MUERTA C.M JOINT LOAD ******TRAMO 8***** *ESCALERA + CGO 77 79 81 162 197 199 FY -0.038 *ANTENAS PARABOLICAS 0.6M DIAMETRO H= 40M 43 77 199 200 FY -0.038 *ANTENAS CELULARES H= 39M 41 42 76 78 187 TO 190 FY -0.045 *PLATAFORMA DE TRABAJO H=38.5M 41 76 187 189 FY -0.086 *PLATAFORMA DE TRABAJO H=33.5M 36 81 162 164 FY -0.086 *****TRAMO 7***** *ESCALERA + CGO 72 184 FY -0.038 *ANTENAS PARABOLICAS 0.9M DIAMETRO H= 30M 33 100 179 181 FY -0.053 ******TRAMO 6***** *ESCALERA + CGO 82 182 FY -0.075 ******TRAMO 5***** *ESCALERA + CGO 83 170 FY -0.075 *PLATAFORMA DE DESCANSO H=24M 27 83 170 172 FY -0.086 ******TRAMO 4***** *ESCALERA + CGO 58 101 FY -0.08 *PLATAFORMA DE DESCANCO H=16.9M

20 92 150 154 FY -0.086 *****TRAMO 3***** *ESCALERA + CGO89 147 FY -0.068 ******TRAMO 2***** *ESCALERA + CGO 86 127 FY -0.084 *PLATAFORMA DE DESCANSO H= 7.90M 10 87 107 110 FY -0.086 *****TRAMO 1***** *ESCALERA + CGO 84 111 FY -0.075 LOAD 4 CARGA VIVA CV JOINT LOAD *PLATAFORMA DE TRABAJO H=38.5M 41 76 187 189 FY -0.498 *PLATAFORMA DE TRABAJO H=33.5M 36 81 162 164 FY -0.498 *****VIENTO SOBRE UNA ESQUINA******* LOAD 5 VIENTO X VX JOINT LOAD ****TRAMO 8 36 TO 43 74 TO 81 162 164 187 TO 200 FX 0.065 *ANTENAS MICROONDAS H=40M 43 77 199 200 FX 0.038 FZ -0.01 43 77 199 200 MX 0.012 *ANTENAS CELULARES H=39M 41 42 76 78 187 TO 190 FX 0.024 ****TRAMO 7 34 35 72 73 161 163 184 186 FX 0.084 *ANTENAS MICROONDAS H=30M 32 33 71 100 178 TO 181 FX 0.038 FZ -0.01 32 33 71 100 178 TO 181 MX 0.012 ****TRAMO 6 29 TO 33 70 71 82 99 100 165 TO 168 178 TO 183 FX 0.064 ****TRAMO 5 24 TO 28 67 TO 69 83 98 103 169 TO 177 FX 0.038 ****TRAMO 4 19 TO 22 55 58 59 92 101 104 150 151 153 154 156 157 FX 0.072 ****TRAMO 3 14 TO 17 52 61 89 91 132 133 135 137 139 140 147 149 FX 0.054 ***TRAMO 2 8 TO 12 49 62 86 TO 88 106 107 109 110 127 130 143 TO 146 FX 0.064 ***TRAMO 1 3 TO 6 46 64 84 85 111 TO 113 116 121 122 125 126 FX 0.047 *******VIENTO SOB RE UNA CARA************ LOAD 6 VIENTO XZ JOINT LOAD ****TRAMO 8 36 TO 43 74 TO 81 162 164 187 TO 200 FX 0.024 FZ 0.024 *ANTENAS MICROONDAS H=40M 43 77 199 200 FX 0.038 FZ -0.01 43 77 199 200 MX 0.012 *ANTENAS CELULARES H=39M 41 42 76 78 187 TO 190 FX 0.024 ****TRAMO 7 34 35 72 73 161 163 184 186 FX 0.034 FZ 0.034

*ANTENAS MICROONDAS H=30M 32 33 71 100 178 TO 181 FX 0.038 FZ -0.01 32 33 71 100 178 TO 181 MX 0.012 ****TRAMO 6 29 TO 33 70 71 82 99 100 165 TO 168 178 TO 183 FX 0.034 29 TO 33 70 71 82 99 100 165 TO 168 178 TO 183 FZ 0.034 24 TO 28 67 TO 69 83 98 103 169 TO 177 FX 0.021 FZ 0.021 ****TRAMO 4 19 TO 22 55 58 59 92 101 104 150 151 153 154 156 157 FX 0.032 19 TO 22 55 58 59 92 101 104 150 151 153 154 156 157 FZ 0.032 14 TO 17 52 61 89 91 132 133 135 137 139 140 147 149 FX 0.025 14 TO 17 52 61 89 91 132 133 135 137 139 140 147 149 FZ 0.025 ***TRAMO 2 8 TO 12 49 62 86 TO 88 106 107 109 110 127 130 143 TO 146 FX 0.031 8 TO 12 49 62 86 TO 88 106 107 109 110 127 130 143 TO 146 FZ 0.031 ***TRAMO 1 3 TO 6 46 64 84 85 111 TO 113 116 121 122 125 126 FX 0.023 FZ 0.023 ***SISMO 100%XX*** ***SISMO 30%ZZ*** LOAD 7 SISMO JOINT LOAD ****TRAMO 8 36 TO 43 74 TO 81 162 164 187 TO 200 FX 0.053 FZ -0.016 ****TRAMO 7 34 35 72 73 161 163 184 186 FX 0.050 FZ -0.015 ****TRAMO 6 29 TO 33 70 71 82 99 100 165 TO 168 FX 0.033 FZ -0.01 178 TO 183 FX 0.033 FZ -0.01 ****TRAMO 5 24 TO 28 67 TO 69 83 98 103 169 TO 177 FX 0.032 FZ -0.0096 ****TRAMO 4 19 TO 22 55 58 59 92 101 104 150 FX 0.046 FZ -0.0138 151 153 154 156 157 FX 0.046 FZ -0.0138 ****TRAMO 3 14 TO 17 52 61 89 91 132 133 135 FX 0.027 FZ -0.0072 137 139 140 147 149 FX 0.027 FZ -0.008 ***TRAMO 2 8 TO 12 49 62 86 TO 88 106 107 FX 0.024 FZ -0.007 109 110 127 130 143 TO 146 FX 0.022 FZ -0.007 ***TRAMO 1 3 TO 6 46 64 84 85 111 TO 113 FX 0.009 FZ -0.003 116 121 122 125 126 FX 0.009 FZ -0.003 LOAD COMB 8 (PP+CM+CV) 1.0 2 1. 3 1. 4 1. LOAD COMB 9 (PP+CM+VIENTO X) 0.75 2 0.75 3 0.75 5 0.75 LOAD COMB 10 (PP+CM+VIENTO XZ)0.75 2 0.75 3 0.75 6 0.75 LOAD COMB 11 (PP+CM+SISMO) 0.75 2 0.75 3 0.75 7 0.75 PERFORM ANALYSIS PARAMETER CODE AISC RATIO 1. ALL BEAM 1. ALL

FYLD 3.515E7 ALL LOAD LIST 8 TO 11 CHECK CODE ALL STEEL TAKE OFF PRINT ANALYSIS RESULTS FINISH

LISTADO DE DATOS PARA EL MODELO 3

```
MEMBER PROPERTY AMERICAN
*** TRAMO 1 ***
** PIERNAS
1 TO 6 131 TO 136 179 182 183 186 188 191 192 195 196 199 206 -
210 TABLE ST PIPS30
***MONT DIAG.
345 TO 354 359 360 365 TO 372 530 TO 546 548 550 552 TABLE ST L25253
**MONT HORIZ. EXT.
43 114 115 187 200 201 343 344 355 TO 358 361 TO 364 526 TO 528 -
529 TABLE ST L25253
**MONT HORIZ. INT.
554 TO 561 TABLE ST L25253
*** TRAMO 2 ***
** PIERNAS
7 TO 12 137 TO 141 175 178 202 205 209 221 224 225 228 231 234 597 -
598 TABLE ST PIPS30
** CELOSIA
50 TO 53 70 TO 73 176 177 218 219 222 223 226 227 377 TO 380 -
383 TO 386 389 TO 396 401 404 405 408 547 549 551 553 TABLE ST L25253
** DIAFRAGMA EXTERIOR
116 TO 121 211 212 229 230 232 233 373 TO 376 381 382 387 388 -
397 TO 400 TABLE ST L25253
** DIAFRAGMA INTERIOR
562 TO 573 TABLE ST L25253
*** TRAMO 3 ***
** PIERNAS
13 TO 17 142 TO 146 213 216 217 220 235 238 239 242 253 -
254 TABLE ST PIPS30
**CELOSIA
54 55 68 69 236 237 240 241 402 403 406 407 413 TO 420 425 426 429 -
430 580 TO 587 TABLE ST L25253
** DIAFRAGMA EXTERIOR
122 TO 125 243 244 409 TO 412 421 TO 424 578 579 TABLE ST L25253
** DIAFRAGMA INTERIOR
574 TO 577 588 TO 591 TABLE ST L25253
*** TRAMO 4***
** PIERNAS
18 TO 22 147 TO 151 172 174 245 248 249 252 257 260 263 -
266 TABLE ST PIPS25
** CELOSIA
58 TO 65 81 173 246 247 258 259 264 265 268 269 427 428 431 432 -
439 TO 442 445 TO 448 453 468 483 TO 486 TABLE ST L25253
** DIAFRAGMA EXTERIOR
80 126 TO 128 261 262 267 270 433 TO 438 443 444 TABLE ST L25253
```

** DIAFRAGMA INTERIOR

```
** PIERNAS
23 TO 28 152 TO 157 277 279 280 282 TO 285 287 288 290 292 -
294 TABLE ST PIPS25
** MONT DIAG.
82 TO 86 278 281 286 289 293 454 TO 458 469 TO 473 TABLE ST L25253
** MONT HORIZ. EXT.
111 291 449 450 TABLE ST L25253
*** TRAMO 6 ***
** PIERNAS
29 TO 33 158 TO 162 274 276 295 297 298 300 301 303 309 311 -
599 TO 602 TABLE ST PIPS25
** MONT DIAG.
87 TO 91 275 296 299 302 310 459 TO 463 474 TO 478 TABLE ST L25253
**MONT HORIZ EXT.
110 304 451 452 TABLE ST L20202
*** TRAMO 7 ***
** PIERNAS
34 35 163 164 271 273 305 308 603 TO 606 TABLE ST PIPS25
** MONT DIAG.
129 130 306 307 465 467 480 482 487 TO 494 624 632 640 -
648 TABLE ST L20202
** DIAFRAGMA
108 109 312 313 464 466 479 481 TABLE ST L20202
*** TRAMO 8
** PIERNAS
36 TO 42 165 TO 171 314 316 317 319 320 322 324 326 329 331 332 334 -
338 340 619 TO 622 TABLE ST PIPS25
** MONT DIAG.
625 TO 631 633 TO 639 641 TO 647 649 TO 655 TABLE ST L20202
**MONT HORZ. EXT.
100 TO 107 323 327 328 335 TO 337 341 342 TABLE ST L20202
511 TO 525 596 656 657 TABLE ST L20202
** PARARRAYOS
658 659 662 TO 665 TABLE ST L20202
660 661 TABLE ST PIPS20
******
CONSTANT
E STEEL ALL
DENSITY STEEL ALL
POISSON STEEL ALL
BETA 270. MEMB 21 TO 33 35 TO 42 600 605 620
SUPPORT
1 44 117 119 FIXED
*********
MEMBER TRUSS
50 TO 55 59 64 65 68 TO 73 81 TO 91 173 176 177 218 219 222 223 226 -
227 236 237 240 241 246 247 258 259 275 278 281 286 289 293 296 299 -
302 310 345 TO 354 359 360 365 TO 372 377 TO 380 383 TO 386 -
389 TO 396 401 TO 408 413 TO 420 426 427 429 TO 432 439 TO 442 -
453 TO 463 468 TO 478 530 TO 553 580 582 TO 587 624 TO 655
*PESO PROPIO
SELFWEIGHT X 1.
*CARGA MUERTA
JOINT LOAD
```

592 TO 595 TABLE ST L25253

*** TRAMO 5 ***

126

******TRAMO 8*****

```
*ESCALERA + CGO
77 79 81 162 197 199 FX 0.038
*ANTENAS PARABOLICAS 0.6M DIAMETRO H= 40M
43 77 199 200 FX 0.038
*ANTENAS CELULARES H= 39M
41 42 76 78 187 TO 190 FX 0.045
*PLATAFORMA DE TRABAJO H=38.5M
41 76 187 189 FX 0.086
*PLATAFORMA DE TRABAJO H=33.5M
36 81 162 164 FX 0.086
*****TRAMO 7*****
*ESCALERA + CGO
72 184 FX 0.038
*ANTENAS PARABOLICAS 0.9M DIAMETRO H= 30M
33 100 179 181 FX 0.053
******TRAMO 6*****
*ESCALERA + CGO
82 182 FX 0.075
******TRAMO 5*****
*ESCALERA + CGO
83 170 FX 0.075
*PLATAFORMA DE DESCANSO H=24M
27 83 170 172 FX 0.086
*****TRAMO 4*****
*ESCALERA + CGO
58 101 FX 0.08
*PLATAFORMA DE DESCANCO H=16.9M
20 92 150 154 FX 0.019
******TRAMO 3*****
*ESCALERA + CGO
89 147 FX 0.068
******TRAMO 2*****
*ESCALERA + CGO
86 127 FX 0.084
*PLATAFORMA DE DESCANSO H= 7.90M
10 87 107 110 FX 0.086
*****TRAMO 1******
*ESCALERA + CGO
84 111 FX 0.075
CALCULATE NATURAL FREQUENCY
LOAD 2 PESO PROPIO PP
SELFWEIGHT Y -1.
LOAD 3 CARGA MUERTA C.M
JOINT LOAD
******TRAMO 8*****
*ESCALERA + CGO
77 79 81 162 197 199 FY -0.038
*ANTENAS PARABOLICAS 0.6M DIAMETRO H= 40M
43 77 199 200 FY -0.038
*ANTENAS CELULARES H= 39M
41 42 76 78 187 TO 190 FY -0.045
*PLATAFORMA DE TRABAJO H=38.5M
41 76 187 189 FY -0.086
*PLATAFORMA DE TRABAJO H=33.5M
36 81 162 164 FY -0.086
```

*****TRAMO 7*****

*ESCALERA + CGO 72 184 FY -0.038 *ANTENAS PARABOLICAS 0.9M DIAMETRO H= 30M 33 100 179 181 FY -0.053 ******TRAMO 6***** *ESCALERA + CGO 82 182 FY -0.075 ******TRAMO 5***** *ESCALERA + CGO 83 170 FY -0.075 *PLATAFORMA DE DESCANSO H=24M 27 83 170 172 FY -0.086 ******TRAMO 4***** *ESCALERA + CGO 58 101 FY -0.08 *PLATAFORMA DE DESCANCO H=16.9M 20 92 150 154 FY -0.086 ******TRAMO 3***** *ESCALERA + CGO 89 147 FY -0.068 ******TRAMO 2***** *ESCALERA + CGO 86 127 FY -0.084 *PLATAFORMA DE DESCANSO H= 7.90M 10 87 107 110 FY -0.086 *****TRAMO 1****** *ESCALERA + CGO84 111 FY -0.075 LOAD 4 CARGA VIVA CV JOINT LOAD *PLATAFORMA DE TRABAJO H=38.5M 41 76 187 189 FY -0.498 *PLATAFORMA DE TRABAJO H=33.5M 36 81 162 164 FY -0.498 *****VIENTO SOBRE UNA ESQUINA******* LOAD 5 VIENTO X VX JOINT LOAD ****TRAMO 8 36 TO 43 74 TO 81 162 164 187 TO 200 FX 0.057 *ANTENAS MICROONDAS H=40M 43 77 199 200 FX 0.038 FZ -0.01 43 77 199 200 MX 0.012 *ANTENAS CELULARES H=39M 41 42 76 78 187 TO 190 FX 0.024 ****TRAMO 7 34 35 72 73 161 163 184 186 FX 0.072 *ANTENAS MICROONDAS H=30M 32 33 71 100 178 TO 181 FX 0.038 FZ -0.01 32 33 71 100 178 TO 181 MX 0.012 ****TRAMO 6 29 TO 33 70 71 82 99 100 165 TO 168 178 TO 183 FX 0.048 ****TRAMO 5 24 TO 28 67 TO 69 83 98 103 169 TO 177 FX 0.029 ****TRAMO 4 19 TO 22 55 58 59 92 101 104 150 151 153 154 156 157 FX 0.06 ****TRAMO 3

```
14 TO 17 52 61 89 91 132 133 135 137 139 140 147 149 FX 0.045
***TRAMO 2
8 TO 12 49 62 86 TO 88 106 107 109 110 127 130 143 TO 146 FX 0.055
***TRAMO 1
3 TO 6 46 64 84 85 111 TO 113 116 121 122 125 126 FX 0.039
*******VIENTO SOBRE UNA CARA*************
LOAD 6 VIENTO XZ
JOINT LOAD
****TRAMO 8
36 TO 43 74 TO 81 162 164 187 TO 200 FX 0.023 FZ 0.023
*ANTENAS MICROONDAS H=40M
43 77 199 200 FX 0.038 FZ -0.01
43 77 199 200 MX 0.012
*ANTENAS CELULARES H=39M
41 42 76 78 187 TO 190 FX 0.024
****TRAMO 7
34 35 72 73 161 163 184 186 FX 0.031 FZ 0.031
*ANTENAS MICROONDAS H=30M
32 33 71 100 178 TO 181 FX 0.038 FZ -0.01
32 33 71 100 178 TO 181 MX 0.012
****TRAMO 6
29 TO 33 70 71 82 99 100 165 TO 168 178 TO 183 FX 0.028
29 TO 33 70 71 82 99 100 165 TO 168 178 TO 183 FZ 0.028
****TRAMO 5
24 TO 28 67 TO 69 83 98 103 169 TO 177 FX 0.017 FZ 0.017
****TRAMO 4
19 TO 22 55 58 59 92 101 104 150 151 153 154 156 157 FX 0.028
19 TO 22 55 58 59 92 101 104 150 151 153 154 156 157 FZ 0.028
****TRAMO 3
14 TO 17 52 61 89 91 132 133 135 137 139 140 147 149 FX 0.022
14 TO 17 52 61 89 91 132 133 135 137 139 140 147 149 FZ 0.022
***TRAMO 2
8 TO 12 49 62 86 TO 88 106 107 109 110 127 130 143 TO 146 FX 0.027
8 TO 12 49 62 86 TO 88 106 107 109 110 127 130 143 TO 146 FZ 0.027
***TRAMO 1
3 TO 6 46 64 84 85 111 TO 113 116 121 122 125 126 FX 0.02 FZ 0.02
***SISMO 100%XX***
***SISMO 30%ZZ***
LOAD 7 SISMO
JOINT LOAD
****TRAMO 8
36 TO 43 74 TO 81 162 164 187 TO 200 FX 0.041 FZ -0.012
****TRAMO 7
34 35 72 73 161 163 184 186 FX 0.051 FZ -0.015
****TRAMO 6
29 TO 33 70 71 82 99 100 165 TO 168 FX 0.033 FZ -0.01
178 TO 183 FX 0.033 FZ -0.01
****TRAMO 5
24 TO 28 67 TO 69 83 98 103 169 TO 177 FX 0.031 FZ -0.009
****TRAMO 4
19 TO 22 55 58 59 92 101 104 150 FX 0.041 FZ -0.012
151 153 154 156 157 FX 0.041 FZ -0.012
****TRAMO 3
14 TO 17 52 61 89 91 132 133 135 FX 0.027 FZ -0.008
137 139 140 147 149 FX 0.027 FZ -0.008
***TRAMO 2
8 TO 12 49 62 86 TO 88 106 107 FX 0.022 FZ -0.007
```

109 110 127 130 143 TO 146 FX 0.022 FZ -0.007 ***TRAMO 1 3 TO 6 46 64 84 85 111 TO 113 FX 0.009 FZ -0.003 116 121 122 125 126 FX 0.009 FZ -0.003 LOAD COMB 8 (PP+CM+CV) 1.0 2 1. 3 1. 4 1. LOAD COMB 9 (PP+CM+VIENTO X) 0.75 2 0.75 3 0.75 5 0.75 LOAD COMB 10 (PP+CM+VIENTO XZ)0.75 2 0.75 3 0.75 6 0.75 LOAD COMB 11 (PP+CM+SISMO) 0.75 2 0.75 3 0.75 7 0.75 PERFORM ANALYSIS **PARAMETER** CODE AISC RATIO 1. ALL BEAM 1. ALL FYLD 3.515E7 ALL LOAD LIST 8 TO 11 CHECK CODE ALL STEEL TAKE OFF PRINT ANALYSIS RESULTS **FINISH**

BIBLIOGRAFIA

1

- Manual de Diseño de Obras Civiles: Diseño por Viento Comisión Federal de Electricidad – Instituto de Investigaciones Eléctricas 1993 - México.
- Manual de Diseño de Obras Civiles: Diseño por Sismo Comisión Federal de Electricidad – Instituto de Investigaciones Eléctricas - México.1993
- Manual del Instituto Mexicano De La Construcción en Acero. Vol. 1 Diseño por esfuerzos permisibles.
 México 1997 ED. Limusa.
- Manual Of Steel Construction Allowable Stress Design American Institute Of Steel Construction, Chicago Illinois 1993. Ninth Edition.
- Bulletin Andrew 1015D Andrew Antenna Company Ltd. 1983
- Catalogo No. 38 Andrew Antena Company Ltd.
- Diseño Estructural: Meli Piralla Roberto México 1993 ED. Limusa.
- Estructura de Acero Comportamiento y Diseño: De Buen López de Heredia, Oscar ED. Limusa. México 1990.
- Structural Standard for Steel Antenna Towers and Antenna Supporting Structures.
 RS-222-c Engineering Department.
 Electronic Industries Association, 1976.
- Apuntes de Fabricacion y Montaje De Estructuras De Acero División De Estudios De Posgrado F.I UNAM.
 Soto Rodríguez Héctor y Bianchi Villaseñor Vicente. México 1995.
- Automatización en el diseño de torres: Salvador Merino Cordoba y Manuel Ojeda Aciego -Dpto.de Matematica Aplicada Universidad de Malaga.
- Diseño de Estructuras Metalicas Mccormac Jack C. Ed. Alfaomega, 1999.

BIBLIOGRAFIA

- CD De Torres y Estructuras Para Telecomunicaciones.
 WWW.Construaprende .com Ingenieria Civil Y Arquitectura.
- Normas Telcel para Diseño y Construcción de Estructuras de Acero (NTDCEA) 1
- Normas y Criterios Telcel para el Analisis y Diseño De Torres.
- Normas tecnicas complemetarias sobre criterios y acciones para el diseño estructural de las edificaciones.
 - Tomo II 2004 Gaceta Oficial del D.F